

1-168  
НЧ, 3

Азэрбајҹан ССР  
Елмләр Академијасы  
Академия наук  
Азербайджанской ССР

ISSN 0002—3078

# МӘРУЗЭЛЭР ДОКЛАДЫ

ЧИЛД

XLIV

ТОМ



1988

28116

ДАН Азерб. ССР публикует краткие сообщения об оригинальных, нигде не печатанных ранее, результатах научных исследований, представленные академиками АН Азерб. ССР, которые тем самым берут на себя ответственность за научные достоинства представляемой статьи.

В «Докладах» не публикуются крупные статьи, механически разделенные на ряд отдельных сообщений, статьи полемического характера, без новых фактических сообщений, статьи полемического характера, без новых фактических данных, статьи с описанием промежуточных опытов, без определенных выводов и обобщений, чисто методические статьи, если предлагаемый метод не является принципиально новым, а также статьи по систематике растений и животных (за исключением описания особо интересных для науки находок).

Будучи органом срочной информации, журнал «ДАН Азерб. ССР» принимает и отбирает к печати статьи, объем которых допускает их публикацию в установленные решение Президиума АН Азерб. ССР сроки.

В связи со всеми перечисленными ограничениями отклонение статьи редакцией «Доклады АН Азерб. ССР» означает только, что она не согласуется с требованиями и возможностями этого журнала и не исключает ее публикации в других изданиях.

#### ПРАВИЛА ДЛЯ АВТОРОВ

Редакция журнала «Доклады АН Азерб. ССР» просит авторов руководствоваться приведенными правилами и надеется, что авторы ознакомятся с ними прежде, чем пришлют статью в редакцию.

Статьи, присланые без соблюдения этих правил, к рассмотрению не прини-

1988 Доклады  
N3 11 Азерб ССР

мать представление члена АН  
дается (см. выше).  
ление редакцией не принимаются.  
Единственным поводом для вне-  
ажность сообщения и соображе-  
решение редколлегии.

зленные статьи на рецензию.  
дного автора в год. Это правило  
Академии наук Азерб. ССР.

едует поместить статью, а  
классификации (УДК). К  
в двух экземплярах, пред-  
зов ВИНТИ.

чреждения, в котором вы-  
полненный почтовый адрес и  
ра.

лицо, с которым редакция

значает, что статья принята  
пись вновь рассматривается  
вместе с первоначальным  
Датой поступления счита-

юле  $\frac{1}{4}$  авторского листа  
бланки, библиография (не  
может превышать четырех,  
чи на мелованной бумаге,  
увеличения. Штрихови-  
ся, а даются на кальке.  
экземплярах. Повторение  
опустимо. Рисунки долж-  
ясность передачи всех  
е. Подписи к рисункам  
интервала на отдельной  
ваются фамилии авторов,

(Фото: ОЛОДОЖСКИ)

# МЭРҮЗЭЛЭР ДОКЛАДЫ

## ТОМ XLIV ЧИЛД

№ 3

«ЕЛМ» НЭШРИЙГТЫ—ИЗДАТЕЛЬСТВО „ЕЛМ“  
БАКЫ — 1988 — БАКУ



## РЕДАКЦИОННАЯ КОЛЛЕГИЯ:

Э. Ю. Салаев (главный редактор), Г. Б. Абдуллаев, М. Т. Абасов,  
 В. С. Алиев, Г. А. Алиев, Дж. А. Алиев, И. Г. Алиев, Дж. Б. Гулиев,  
 Н. А. Гулиев, М. З. Джафаров, Ф. Г. Максудов, А. А. Надиров,  
 Ю. М. Сенцов (зам. главного редактора), М. А. Усейнов,  
 Г. Г. Зейналов (ответств. секретарь).

© Издательство «Элм», 1988 г.

Адрес: г. Баку, Коммунистическая, 10. Редакция «Докладов Академии наук  
 Азербайджанской ССР»

К. Я. ЛЕОНОВ, Ф. Д. МУГАНЛИНСКИЙ

О НЕЛИНЕЙНЫХ НАЧАЛЬНО-КРАЕВЫХ ЗАДАЧАХ ДЛЯ  
 СИСТЕМ УРАВНЕНИЙ ТЕРМОУПРУГОСТИ И  
 ТЕРМОВЯЗКОУПРУГОСТИ

(Представлено академиком АН Азербайджанской ССР Ф. Г. Максудовым)

1. Для описания продольных колебаний упругого стержня и его термодинамики используем систему уравнений

$$\begin{cases} U_{tt} - \alpha U_{xx} + \alpha T_x + f(x, t), \\ C_l T T_t + \alpha T U_{xt} = \kappa T_{xx}. \end{cases} \quad (1)$$

(2)

Выписанная система уравнений соответствует тому случаю, когда плотность энтропии стержня имеет вид  $S(T, U_x) = C_l T + \alpha U_{xt} + \text{const}$  [1].

Замечание 1. Математические методы исследования подобных систем уравнений неразвиты, поэтому, как правило, уравнение, описывающее термодинамику тела «упрощают». Такое «упрощение» математически выражается в том, что множитель  $T(x, t)$  в первом и во втором членах левой части уравнения (2) начинают считать постоянным числом, чем, в частности, игнорируется естественное нелинейное взаимодействие температурного поля с полем деформаций рассматриваемого тела.

Рассмотрим поведение теплоизолированного стержня  $[0, l] \equiv \Omega$  с закрепленными концами. Границные условия в этом случае имеют следующий вид:

$$U(0, t) = U(l, t) = 0, \quad T_x(0, t) = T_x(l, t) = 0 \quad (3)$$

Зададим начальные условия

$$U(x, 0) = U_0(x), \quad U_t(x, 0) = U_1(x), \quad T(x, 0) = T_0(x) > T_1 > 0 \quad (4)$$

Доказана следующая теорема

Теорема 1. Пусть числовые параметры, входящие в уравнения (1), (2) удовлетворяют условиям  $\alpha > 0, C_l > 0, \kappa > 0$ , а начальные данные и свободный член уравнения (1) принадлежат следующим пространствам

$$U_0(x) \in W_2^2(\Omega) \cap \dot{W}_2^1(\Omega), \quad U_1(x) \in \dot{W}_2^1(\Omega), \quad T_0(x) \in W_2^1(\Omega), \\ f(x, t) \in L^2(0, t; W_2^1(\Omega)).$$

Тогда задача (1)–(4) разрешима на любом промежутке времени, а функция  $T(x, t)$  на этом промежутке времени будет ограничена снизу положительным числом.

Доказательство сформулированной теоремы проведено методом продолжения локального решения. Доказано существование локального решения задачи и получены глобальные априорные оценки решений, дающие возможность для продолжения локального решения на любой промежуток времени.

Рассмотрен вопрос о характере повышения гладкости решений задачи (1)–(4) с повышением гладкости входных данных задачи.

Получена следующая теорема.

**Теорема 2.** Пусть начальные данные задачи (1)–(4) принадлежат следующим пространствам:  $U_0(x) \in W_2^3(\Omega) \cap \dot{W}_2^1(\Omega)$ ,  $U_1(x) \in W_2^2(\Omega) \cap \dot{W}_2^1(\Omega)$ ,  $T_0(x) \in W_2^2(\Omega)$ , а функция  $f(x, t) \in L^2(0, T; W_2^2(\Omega))$ . Тогда для решений задачи (1)–(4) справедливы следующие включения  $U(x, t) \in L^\infty(0, t; W_2^3(\Omega) \cap \dot{W}_2^1(\Omega))$ ,  $U_1(x, t) \in L^\infty(0, t; W_2^2(\Omega) \cap \dot{W}_2^1(\Omega))$ ,  $T(x, t) \in L^\infty(0, t; W_2^2(\Omega) \cap L^2(0, t; W_2^3(\Omega)))$ ,  $T_1(x, t) \in L^2(0, t; W_2^1(\Omega))$  при ч.м. соответствующие нормы решений задачи оказываются равномерно ограниченными на всей положительной полуоси времени.

В доказательстве этой теоремы существенно использовались, найденные авторами, интегральные тождества,

$$\int_{\Omega} \frac{T_{xx}^2}{T} dx = 4 \int_{\Omega} ((T^{1/2})_{xx})^2 dx + \frac{5}{12} \int_{\Omega} \frac{T^4}{T^3} dx,$$

$$\int_{\Omega} \frac{T_{xxx}^2}{T} dx = 4 \int_{\Omega} ((T^{1/2})_{xxx})^2 dx + \frac{21}{4} \int_{\Omega} \frac{T_{xx}^2 T_x^2}{T^3} dx - \frac{3}{2} \int_{\Omega} \frac{T_{xx}^3}{T^2} dx -$$

$$-\frac{199}{80} \int_{\Omega} \frac{T_x^6}{T^5} dx,$$

которые справедливы для функций, удовлетворяющих граничному условию (3).

2. Рассмотрена начально-краевая задача для системы уравнений термовязкоупругости, с учетом зависимости коэффициента теплопроводности от температуры и градиента температуры

$$\left\{ U_{tt} - aU_{xx} + \alpha T_x - \mu U_{xxt} = f, \quad (5) \right.$$

$$\left. C_l T T_t + \alpha T U_{xt} = \frac{\partial}{\partial x} (\kappa(T, |T_x|) T_x) + \mu U_{xt}^2. \quad (6) \right.$$

Границные и начальные условия примем такие же, как в (3) и (4).

Следует отметить, что учет вязких свойств материала стержня в замкнутой системе уравнений термовязкоупругости не дает «даром» дополнительных априорных оценок решений задачи, как это имеет место при рассмотрении динамики упругого тела без учета его термодинамики. Методика получения априорных оценок решений задачи (5), (6), (3), (4) отличается от методики получения оценок решений задачи (1)–(4).

Доказана следующая теорема.

**Теорема 3.** Пусть числовые параметры и известные функции, входящие в уравнения (5), (6) удовлетворяют следующим условиям:

$$a > 0, C_l > 0, \mu > 0, \kappa(\xi, \eta) > 0, \kappa(\xi, \eta) + \kappa_\eta(\xi, \eta) \eta \geq \kappa_1 > 0.$$

Предположим, что  $b(\xi, \eta) - \xi b_\xi(\xi, \eta) \geq 0$ , где  $b(\xi, \eta)$  является частным решением уравнения Эйлера  $\mathcal{Z}u(\xi, \eta) + \eta u_\eta(\xi, \eta) = \kappa_\xi(\xi, \eta)$ , не содержащим решений соответствующего однородного уравнения.

Пусть начальные данные принадлежат следующим пространствам

$$U_0(x) \in W_2^2(\Omega) \cap \dot{W}_2^1(\Omega), U_1(x) \in \dot{W}_2^1(\Omega), T_0(x) \in W_2^1(\Omega).$$

Тогда задача (5), (6), (3), (4) разрешима на любом промежутке времени, а функция  $T(x, t)$  на этом промежутке времени будет ограничена снизу положительными числами.

**Замечание 2.** Условие неотрицательности величины  $b(\xi, \eta) - \xi b_\xi(\xi, \eta)$ , где  $b(\xi, \eta)$ —решение уравнения Эйлера  $\mathcal{Z}u(\xi, \eta) + \eta u_\eta(\xi, \eta) = K_\xi(\xi, \eta)$ , насколько известно авторам, ранее не появлялось в литературе и поэтому могут возникнуть сомнения в содержательности этого условия. Легко проверить, что при  $\kappa(T, |T_x|) = \kappa_0 + T^m |T_x|^n$ , где  $m \leq 2$ ,  $n \geq 0$  требуемое условие выполняется (с учетом положительности величины  $T$ ) в том случае, когда функция  $\kappa(T, |T_x|)$  не зависит от  $T$ , указанное выше условие выполняется тривиальным образом.

#### Литература

Седов Л. И. Механика сплошной среды, т. 2.—М.: Наука, 1984.

Институт математики и  
механики АН АзССР

Поступило 22. V 1987

К. Я. Леонов, Ф. Д. Муганлиевски

#### ТЕРМОЕЛАСТИКЛЫК ВӘ ТЕРМОӨЗЛҮҮЛҮЧЕЛАСТИКЛЫК СИСТЕМ ТӘНЛИКЛЭРИ ҮЧҮН ГЕЙРИ-ХЭТТИ БАШЛАНГЫЧ-СӘРІӘД МӘСӘЛӘСИ

Мәгәләдә термоеластиклик вә термоөзлүүлүчеластиклики систем тәнликләри үчүн геирі-хэтти башлангыч-сәріәд мәсәләсийни глобал һәлишии варлығы вә һамарлығы өйткәнлилір.

K. Ya. Leonov, F. D. Muganlinski  
ON NONLINEAR INITIAL BOUNDARY VALUE PROBLEMS FOR THE SYSTEMS OF EQUATIONS OF THERMOELASTICITY AND THERMOVISCOELASTICITY

In the article the results of investigations of global decision problems and smoothness of nonlinear initial boundary value problems solutions for the systems of equations of thermoelasticity and thermoviscoelasticity are reduced.

Г. И. ИБРАГИМОВ

БАЗИСЫ ИЗ ЭКСПОНЕНТ В ПРОСТРАНСТВЕ  
 $E^2(D^n)$  НА ПОЛИМНОГОУГОЛЬНИКЕ И СВОЙСТВА  
 КОЭФФИЦИЕНТОВ РАЗЛОЖЕНИЙ

(Представлено академиком АН Азербайджанской ССР Ф. Г. Максудовым)

Следуя работе [1], введем ряд обозначений и определений. Пусть  $D \subset \mathbb{C}$ —замкнутый выпуклый многоугольник с вершинами в точках  $a_1, \dots, a_n$ . Через  $S_D$  обозначим класс целых функций  $L(\lambda)$  экспоненциального типа таких, что вне звезды

$$D_K = \bigcup_{j=1}^n \Pi_j(K), \quad \Pi_j(K) = \{\lambda : \operatorname{Re} \lambda e^{-i\theta_j} > 0, |\operatorname{Im} \lambda e^{-i\theta_j}| < K\},$$

где  $K = \text{const}$ ,  $\theta_j$ —угол наклона внешней нормали к стороне  $[a_j, a_{j+1}]$ , комплексно сопряженной стороне  $[a_j, a_{j+1}]$  ( $a_{n+1} \stackrel{\text{def}}{=} a_1$ ), выполняются неравенства

$$0 < c < |L(\lambda)| \exp(-|\lambda| h(\arg \lambda)) < C < \infty, \quad c, C = \text{const},$$

где  $h(\varphi)$ —опорная функция области  $D^*$ , симметричной  $D$  относительно действительной оси. Через  $\{\lambda_m\}_{m=1}^\infty$  обозначим множество нулей функции  $L(\lambda)$ , занумерованных в порядке возрастания модулей и всюду далее будем предполагать, что они все простые и не сближаются, т. е.  $\inf_{m \neq n} |\lambda_m - \lambda_n| > 0$ .

В [1] доказано, что система  $\{e^{-H(\lambda_n)} e^{\lambda_n z}\}_{n=1}^\infty$ , где  $H(\lambda) = |\lambda| h(\arg \lambda)$ , образует базис Рисса в пространстве  $E^2(D)$ , т. е. любая функция  $f \in E^2(D)$  разлагается в ряд

$$f(z) = \sum_{n=1}^{\infty} \alpha_n e^{-H(\lambda_n)} e^{\lambda_n z},$$

сходящийся в пространстве  $E^2(D)$  и  $\|f\|_{E^2(D)} \asymp \|\{\alpha_n\}\|_{l^2}$ , где

$$\alpha_n = \int_D f(t) \psi_n(t) dt,$$

$\psi_n(t)$ —пробразование Лапласа функции  $e^{H(\lambda_n)} L(\lambda) | L'(\lambda_n) (\lambda - \lambda_n)$ :

$$\psi_n(t) = l \cdot i \cdot m \int_{-\infty}^{\lambda e^{i\theta_j}} \frac{L(\lambda) e^{H(\lambda_n)}}{L'(\lambda_n) (\lambda - \lambda_n)} e^{-it} d\lambda, \quad t \in [a_j; a_{j+1}],$$

$\psi_n(t)$  аналитична вне  $D$  и интегрируема с квадратом модуля на  $\partial D$ —границе области  $D$ .

Пусть  $D^n \subset \mathbb{C}^n$ —полимногоугольник, т. е.  $D^n = D_1 \times \dots \times D_n$ , где  $D_j$ —выпуклый многоугольник в  $\mathbb{C}$  с вершинами в точках  $\gamma_{j,v}$ ,  $v = 1, \dots, N_j$ . Будем говорить, что функция  $\varphi(z)$  аналитическая в  $D^n$ , принадлежит пространству  $E^2(D^n)$ , если существуют последовательности замкнутых спрямляемых контуров  $C_{k_j}^{(j)} \subset D_j$ ,  $j = 1, \dots, n$ ;  $\mu = 1, 2, \dots$ , сходящихся к границам  $\partial D_j$  областей  $D_j$  и таких, что

$$\sup_k \left\{ \int_{C_k} |\varphi(z)|^2 |dz_1| \cdots |dz_n| \right\} < \infty,$$

где  $k = (k_1, \dots, k_n)$ ,  $C_k = C_{k_1}^{(1)} \times \dots \times C_{k_n}^{(n)}$ . Можно показать, что каждая функция  $\varphi(z)$  имеет почти всюду на оставе  $\Gamma = \partial D_1 \times \dots \times \partial D_n$  полиобласти  $D^n$  угловые предельные значения, определяющие интегрируемую с квадратом модуля на  $\Gamma$  функцию, которую обозначим опять через  $\varphi(z)$  (см., например, [2, с. 47]). Вводя в пространстве  $E^2(D^n)$  норму по фор-

$$\|\varphi\|_{E^2(D^n)} = \left\{ \int_{\Gamma} |\varphi(z)|^2 |dz_1| \cdots |dz_n| \right\}^{1/2},$$

получаем гильбертово пространство. Положим  $H_j(\lambda) = |\lambda| h_j(\arg \lambda)$ , где  $h_j(\varphi)$ —опорная функция области  $\bar{D}_j^*$ , симметричной  $\bar{D}_j$  относительно действительной оси.

Теорема 1. Пусть функция  $L_j(\lambda) \in S_{D_j}$ ,  $j = 1, \dots, n$  и  $\{\lambda_m^{(j)}\}_{m=1}^\infty$ —множество нулей  $L_j(\lambda)$ , занумерованных по возрастанию модулей, причем нули простые и не сближаются. Тогда система

$$\left\{ \exp \left[ - \sum_{j=1}^n H_j(\lambda_m^{(j)}) \right] e^{-\lambda_m^{(j)} z} \right\}_{m \in \mathbb{N}^n},$$

где  $\lambda_m = (\lambda_m^{(1)}, \dots, \lambda_m^{(n)})$ ,  $\langle \lambda_m, z \rangle = \lambda_m^{(1)} z_1 + \dots + \lambda_m^{(n)} z_n$ , является базисом Рисса в пространстве  $E^2(D^n)$ , т. е. любая функция  $f \in E^2(D^n)$  разлагается в ряд

$$f(z) = \sum_{m \in \mathbb{N}^n} \alpha_m \exp \left\{ - \sum_{j=1}^n H_j(\lambda_m^{(j)}) \right\} e^{-\lambda_m^{(j)} z}, \quad (1)$$

сходящийся по норме пространства  $E^2(D^n)$  и

$$\|f\|_{E^2(D^n)} \asymp \|\{\alpha_m\}\|_{l^2}.$$

Коэффициенты  $\alpha_m$  ряда (1) определяются по формуле

$$\alpha_m = \int_{\Gamma} f(t) \left( \prod_{j=1}^n \psi_{j,m_j}(t_j) \right) dt_1 \dots dt_n,$$

где  $\psi_{j,v}(t_j)$ —преобразование Лапласа функции  $\exp(H_j(\lambda_v^{(j)}) L_j(\lambda) / L_j(\lambda_v^{(j)}) (\lambda - \lambda_v^{(j)})$ ,  $v = 1, 2, \dots$ ;  $j = 1, \dots, n$ .

Теорема 2. Пусть  $f \in E^2(D^n)$ . Тогда для того, чтобы при некотором  $\kappa = (\kappa_1, \dots, \kappa_n)$  коэффициенты  $\alpha_m$  разложения (1) имели вид

$$\alpha_m = \beta_m \left/ \prod_{j=1}^n (\lambda_m^{(j)})^{\kappa_j} \right., \quad \{\beta_m\}_{m \in \mathbb{N}^n} \in l^2 \quad (2)$$

необходимо и достаточно, чтобы  $\partial^{\kappa} f / \partial z_1^{n_1} \cdots \partial z_n^{n_n} \in E^2(D^n)$  ( $|\kappa| = n_1 + \cdots + n_n$ ) и выполнялись условия

$$\int_{D_j} e^{a^{(j)} u} \frac{\partial}{\partial u} \left\{ \frac{\partial z^p}{\partial z^j} f(z) \right\}_{z_j=0} e^{-a^{(j)} u} \psi_{a^{(j)}}(u) du = 0; \\ p = 0, 1, \dots, n_j - 1; \quad j = 1, \dots, n, \quad (2)$$

где  $a^{(j)}$  — фиксированный нуль  $L_j(\lambda)$ , а функция  $\psi_{a^{(j)}}(u)$  определяется предельными значениями преобразования Бореля функции  $L_j(\lambda)(\lambda - a^{(j)})$ , так что

$$L_j(\lambda) = (\lambda - a^{(j)}) \int_{D_j} e^{a^{(j)} u} \psi_{a^{(j)}}(u) du.$$

Если  $\lambda^{(j)} = 0$ , то в (2)  $m = 2, 3, \dots$ .

Введем, следуя [1, с. 691],  $Q_j$  — расширение многоугольника  $D_j$ , где  $Q_j = (q_1^{(j)}, \dots, q_{N_j}^{(j)})$ ,  $0 < q_j^{(j)} < 1$ ;  $j = 1, \dots, n$ . Именно, пусть  $[y_{l,j+1}; y_{l,j}]$  — сторона многоугольника  $D_j$  и  $d_{l,j}$  — ее длина. Проведем прямую  $L_{l,j}$ , параллельную стороне  $[y_{l,j+1}; y_{l,j}]$ , находящуюся на расстоянии  $\frac{d_{l,j}}{2\pi} \ln \frac{1}{q_j^{(j)}}$  от нее, такую, что между  $L_{l,j}$  и  $[y_{l,j+1}; y_{l,j}]$  не содержится точек многоугольника  $D_j$ . Прямая  $L_{l,j}$  разбивает комплексную плоскость на две полуплоскости. Ту из них, которая содержит многоугольник  $D_j$ , обозначим  $P_{l,j}$ .  $Q$  — расширением полимногоугольника  $D^n$  назовем декар-

того произведение  $D_1(Q_1) \times \cdots \times D_n(Q_n)$ , где  $D_j(Q_j) = \bigcap_{l=1}^{N_j} P_{l,j}$ .

Множество корней  $\{\lambda_{m_j}^{(j)}\}$ , следуя [1, с. 691], разобьем на  $N_j$  групп  $\{\lambda_{m_j}^{(j)}\}$ ,  $m_j = 1, \dots, N_j$ ;  $j = 1, \dots, n$ . Именно, к  $m_j$  группе отнесем все корни  $\lambda_{m_j}^{(j)}$ , попавшие в полуокружность  $\Gamma_{m_j}^{(j)}(R)$  (здесь верхний индекс означает номер многоугольника  $D_j$ ),  $m_j = 1, \dots, N_j$ . Коэффициент ряда (1), стоящий при члене  $\exp \left\{ - \sum_{j=1}^n H_j(\lambda_{m_j}^{(j)}) \right\} \exp \left\{ \sum_{j=1}^n \lambda_{m_j}^{(j)} z_j \right\}$  обозначим через  $a_{m_1, m_2, \dots, m_n}$ .

**Теорема 3.** Для того, чтобы коэффициенты  $a_{m_1, m_2, \dots, m_n}$  разложения функции  $f \in E^2(D^n)$  в ряд экспонент вида (1) удовлетворяли условию

$$|z_{m_1, m_2, \dots, m_n}| \leq C \prod_{j=1}^n (\tilde{q}_j^{(j)})^{m_j}, \quad \tilde{q}_j^{(j)} < \tilde{q}_j^{(j)} < 1,$$

где  $1 \leq j \leq N_j$ ;  $C = C(\tilde{q}_1^{(1)}, \dots, \tilde{q}_n^{(n)}) = \text{const}$ , необходимо и достаточно, чтобы  $f(z)$  аналитически продолжалась по переменной  $z_j$  в  $Q_j$  — расширение многоугольника  $D_j$ ;  $j = 1, \dots, n$  и выполнялись соотношения

$$\int_{D_j} e^{a^{(j)} u} \frac{\partial}{\partial u} |f(z_1, \dots, z_{j-1}, u + z_j, z_{j+1}, \dots, z_n)| e^{-a^{(j)} u} |\psi_{a^{(j)}}(u)| du = 0; \\ j = 1, \dots, n,$$

где  $a^{(j)}$  и  $\psi_{a^{(j)}}(u)$  имеют тот же смысл, что и в теореме 2, а  $\psi$  выбрано так, что  $u + \psi$  принадлежит  $Q_j$  — расширению многоугольника  $D_j$ .

Теоремы 1—3 обобщают соответственно теоремы 3.1—3.3 из работы [1] на случай многих переменных. При доказательстве теорем 1—3 существенно используется результаты и методы работы [1].

Простым следствием теоремы 1, 2 является следующее утверждение.

**Теорема 4.** Пусть в условиях теоремы 2  $k = (1, \dots, 1)$ , т. е. предположим, что  $\partial^k f / \partial z_1 \cdots \partial z_n \in E^2(\bar{D}^n)$  и выполняются условия 2;

$$\int_{D_j} e^{a^{(j)} u} \frac{\partial}{\partial u} |f(z)|_{z_j} e^{-a^{(j)} u} |\psi_{a^{(j)}}(u)| du = 0; \quad j = 1, \dots, n.$$

Тогда ряд (1) сходится абсолютно (и равномерно) на  $\bar{D}^n$ .

#### Литература

- Левин В. Я., Любарский Ю. И. Интерполяция целыми функциями специальных классов и связанные с ней разложения в ряды экспонент. — Изв. АН СССР, серия Матем., 1975, т. 39, № 3, с. 657—701.
- Рудин У. Теория функций в поликруге. — М.: Мир, 1974.

АПИ им. В. И. Ленина

Поступило 18. XI 1987

Б. Н. Ибраимов

#### ПОЛИЧОХБУЧАГЫ ҮЗӨРНІДӘ $E^2(D^n)$ ФАЗАСЫНДА РИСС БАЗИСЛӘРІ ВО АЙРЫЛЫШ ӘМСАЛЛАРЫНЫҢ ХАССӘЛӘРІ

Многогранник  $D_j \subset \mathbb{C}$  габариты хохбучагы однограда  $D^n = D_1 \times \cdots \times D_n$  поличохбучагының үзөрнідә  $E^2(D^n)$  фазасында экспоненттерден дүзәндилмеш  $\left\{ \exp \left[ - \sum_{j=1}^n H_j(\lambda_{m_j}^{(j)}) \right] \exp \left[ \sum_{j=1}^n \lambda_{m_j}^{(j)} z_j \right] \right\}_{m \in \mathbb{N}^n} \times (\lambda_{m_j}^{(j)}) \right\}_{m \in \mathbb{N}^n}$  системинин Рисс базиси олмасын һағында қағи шарт көтирилір жаңылапши әмсалларының гүйнөт, яхуд экспонент сүр'етілә азалмастырылуы ғана шарттар көстөрілір.

Б. Н. Ибраимов

#### BASES OF EXPONENTS IN THE SPACE $E^2(D^n)$ ON MULTIPOLYGON AND SINGULARITIES OF EXPANSION COEFFICIENTS

Conditions, at realization of which the exponent system of the form  $\left\{ \exp \left[ - \sum_{j=1}^n H_j(\lambda_{m_j}^{(j)}) \right] e^{i \lambda_{m_j}^{(j)} z_j} \right\}_{m \in \mathbb{N}^n}$  is Ries base in the space  $E^2(D^n)$ , where  $D^n = D_1 \times \cdots \times D_n$ ;  $D_j \subset \mathbb{C}$  — convex polygon, are reduced. Necessary and sufficient conditions, ensuring degree and exponential speed of decrease of expansion coefficients, are shown.

З. Ф. СЕИДОВ

## СЖИМАЕМЫЕ ЯДРА РАМЗЕЕВСКИХ ПЛАНЕТ.

(Представлено академиком АН Азербайджанской ССР Г. Ф. Султановым)

1. Первая модель планеты с фазовым переходом, рассмотренная Рамзеем [1], состоит из двух фаз несжимаемой жидкости с плотностью  $\rho = \rho_1 = \text{const}$  в оболочке и плотностью  $\rho_2 = q \rho_1 > \rho_1$  в ядре, причем на межфазной границе давление постоянно,  $P = P_0$ . Эта модель была использована для описания Земли, у которой на глубине  $\approx 3000$  км имеет место скачок плотности с  $q \approx 2$ . Модель допускает полное аналитическое решение вопросов равновесия, устойчивости и малых адабатических пульсаций [1-4]. Основное свойство модели—она устойчива при  $q \leq 1,5$  при любых размерах ядра, тогда как при  $q > 1,5$  имеет место неустойчивость относительно радиальных возмущений при малых размерах ядра новой фазы и устойчивость при больших размерах ядра.

Величина  $s = (r/R)_{\text{крит.}}$  ( $r$ —радиус ядра,  $R$ —полный радиус) определяется уравнением:

$$(q-1)^2 s^4 - 4(q-1)s + 3 - 2q = 0, \quad q \geq 1,5. \quad (1)$$

Функция  $s(q)$  при  $q = 4 + \sqrt{8}$  имеет максимум  $S_{\max} = \sqrt{2}-1$ , следовательно, если  $r/R > S_{\max}$ , рамзееевская планета устойчива всегда, при произвольно большом  $q$ . У Земли, напомним, величина  $r/R$  больше  $S_{\max}$ .

В данном сообщении мы рассмотрим влияние сжимаемости вещества ядра с политропным уравнением состояния на свойства рамзееевых планет с несжимаемой оболочкой. Получены общие уравнения для параметров равновесных моделей и исследована устойчивость этих моделей. При значениях  $q$ , слегка превышающих 1,5, выведены аналитические выражения для  $s(q)$  при произвольных значениях политропного индекса  $n$ . Для произвольных  $q$  функция  $s(q)$  получена численно для значений  $n$  от 1 до 100.

2. Пусть в оболочке сферически-симметричной невращающейся планеты плотность вещества постоянна и равна  $\rho_1$ , а в ядре вещество подчиняется политропному уравнению  $P = K \rho^{1+1/n}$ ,  $K$  и  $n$ —постоянные,  $P$  и  $\rho$ —давление и плотность вещества. При  $P = P_0$  имеет место фазовый переход I рода: плотность вещества ядра на его границе равна  $\rho_2 = q \rho_1$  и  $P_0 = K \rho_2^{1+1/n}$ . Из решений уравнений гидростатического равновесия получим следующие уравнения для параметров модели:

$$P_c = P_0 \theta_n^{-n-1}, \quad \rho_c = \rho_2 \theta_n^{-n}; \quad (2a)$$

$$x = \frac{r}{R_0} = \left( \frac{n+1}{2q^2} \right)^{1/2} \eta^{\theta_n^{-1}/2}; \quad (2b)$$

$$\bar{q} = \frac{\bar{\rho}}{\rho_1} = - \frac{3q}{\eta \theta_n^n} \frac{d\theta_n}{d\eta}; \quad (2c)$$

$$y \equiv R/R_0, \quad y^3 + [(2\bar{q} - 3)x^2 - 1]y + 2(1 - \bar{q})x^3 = 0; \quad | (2g)$$

$$z \equiv M/M_0, \quad z = y^3 + (\bar{q} - 1)x^3. \quad (2d)$$

В этих формулах  $P_c$  и  $\rho_c$ —давление и плотность в центре модели,  $M$ —масса модели,  $R_0$  и  $M_0$ —радиус и масса конфигурации, у которой  $P_c = P_0$  и  $r = 0$ ;  $\bar{\rho}$ —средняя плотность вещества ядра;  $\theta_n(\eta)$ —функция Лена-Эмдена, являющаяся решением уравнения:

$$\frac{d}{d\eta} \left( \eta^2 \frac{d\theta_n}{d\eta} \right) = -\eta^2 \theta_n^n \quad (3)$$

с граничным условием:

$$\theta_n(0) = 1, \quad \left. \frac{d\theta_n}{d\eta} \right|_{\eta=0} = 0. \quad (4)$$

Выпишем известные аналитические выражения для  $\theta_n(\eta)$ :

$$\theta_0 = 1 - \frac{1}{6} \eta^2, \quad \theta_1 = \frac{\sin \eta}{\eta}, \quad \theta_5 = \left( 1 + \frac{1}{3} \eta^2 \right)^{-1/2}. \quad (5)$$

Соотношения (2a)—(2d), (3)—(5) полностью определяют задачу равновесия и устойчивости рамзееевых планет с сжимаемыми политропными ядрами. Заметим, что  $P_c$  монотонно растет с ростом  $\eta$  для всех значений  $n$ —это обусловлено монотонным уменьшением функции  $\theta_n(\eta)$  с ростом  $\eta$  при произвольном  $n$ . Поэтому для анализа устойчивости достаточно исследовать функцию  $z(\eta)$ . При этом, согласно статическому критерию устойчивости, ветви с положительной производной  $dz/d\eta$  соответствуют устойчивым равновесным состояниям, ветви с  $dz/d\eta < 0$  соответствуют неустойчивым состояниям, а точки с  $dz/d\eta = 0$  определяют критические состояния, определяющие переход от устойчивости к неустойчивости или наоборот.

При значениях  $q$ , ненамного превышающих 1,5, из (2)—(4) можно получить следующую зависимость критического значения относительного размера ядра от величины  $\Delta = q - 1,5 \ll 1$

$$\begin{aligned} S &= (r/R)_{\text{крит.}} = \Delta (1 + L\Delta + M\Delta^2 + N\Delta^3), \\ L &= \frac{7n-20}{10(n+1)}, \quad M = \frac{(41n-40)(4n-5)}{50(n+1)^2}, \\ N &= \frac{1577n^3 - 3417n^2 + 25155n - 10675}{1400(n+1)^3}. \end{aligned} \quad (6)$$

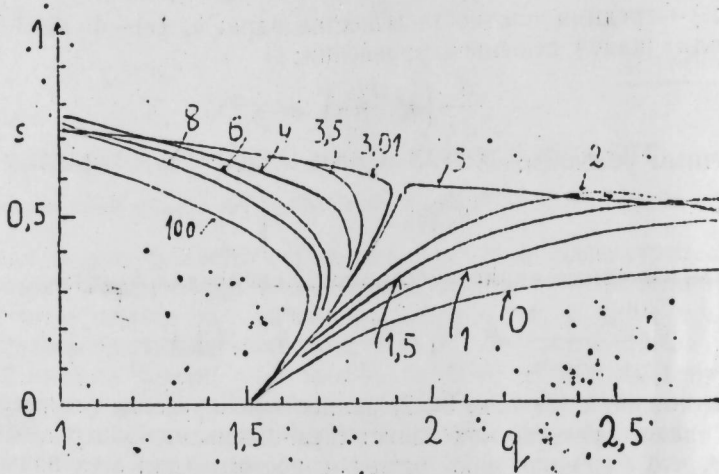
В общем виде зависимость  $S(q)$  получена численным решением уравнений (2)—(5), вместе с условием  $dz/d\eta = 0$  и представлена на рисунке.

3. Из аналитического разложения (6) создается впечатление, что критической величиной показателя политропии вещества ядра  $n$ , определяющей характер кривой  $S(q)$ , является величина 20/7—при этом  $L = 0$ , а  $M$  и  $N$ —положительны. Однако численные расчеты показывают, что это не так и следует различать два случая  $n \leq 3$  и  $n > 3$ .

a)  $n \leq 3$  (малая сжимаемость вещества ядра). При  $q > 1,5$  модели устойчивы при больших размерах ядра и неустойчивы при малых размерах ядра; другими словами, ситуация сходна с явлением неустойчивости малых ядер, описанным Рамзеем [1]. При  $q < 1,5$  модели устойчивы всегда, при любом размере ядра новой фазы. При каждом значении  $n$  существует максимальная величина относительного размера ядра  $S_{\max}$ , так

что при  $r/R > S_{\max}$  модель с данным индексом политропии вещества ядра устойчива при любом скачке плотности вещества из-за фазового перехода.

б) При  $n > 3$  (большая сжимаемость вещества ядра) кривая  $S(q)$  радикально отличается от случая  $n \leq 3$ .



Во-первых, при каждом значении  $n$  существует максимальная величина скачка плотности при фазовом переходе  $q_{\max}$ , так что при  $q > q_{\max} > 1,5$  модель с данным значением  $n$  неустойчива при любом размере ядра—сравни с существованием величины  $S_{\max}$  при  $n \leq 3$ .

Во-вторых, при  $1,5 < q < q_{\max}$  конфигурация с фазовым переходом неустойчива при малых и больших размерах ядра и устойчива при промежуточных размерах ядра.

В-третьих, при  $1 < q < 1,5$  имеет место устойчивость при малых ядрах и неустойчивость при больших—ситуация, противоположная случаю  $q > 1,5$  и  $n \leq 3$ .

Наконец, замечательной особенностью моделей с большой сжимаемостью вещества ядра является неустойчивость при фазовом переходе второго рода без скачка плотности вещества  $q=1$ . Критическая величина размера ядра  $s$  при этом не является монотонной функцией индекса политропии вещества ядра  $n$ .

#### Литература

1. Ramsey W. H. MNRAS, 1950, 110, 325. 2. Гринфельд М. А.—ДАН СССР, 1982, 262, 1342. 3. Верносова Е. А., Гринфельд М. А. Препринт.—Пущино, 1983. 4. Сейдов З. Ф.—Препринт ИКИ АН СССР, 1984, № 889.

ИПО космических исследований

Поступило 28. I 1987

З. Ф. Сейдов

#### РАМЗЕЙ ТИПЛИ ПЛАНЕТЛЭРИН СЫХЫЛАН НУВЭЛЭРИ

Мэглэдэ сыхылмаян тэбэгэ вэ политропик нүвэлэн ибарэг олан, фаза кечидинэ малик планетлэрии таразлыг вэ дајаныглыг мэсэлэлэринэ бахылыр.

Z. F. Seidov

#### COMPRESSIBLE NUCLEI OF RAMSEY'S TYPE PLANETS

We consider the equilibrium and the stability of the self-gravitating celestial bodies with the phase transition between the incompressible envelope and the polytropic nucleus.

АЗЭРБАЙЧАН ССР ЕЛМЛЭР АКАДЕМИЈАСЫНЫН МЭРҮЗЭЛЭРИ

ДОКЛАДЫ АКАДЕМИИ НАУК АЗЕРБАЙДЖАНСКОЙ ССР

ТОМ XLIV ЧИЛД

№ 3

1988

УДК 548.74

#### ФИЗИКА ПОЛУПРОВОДНИКОВ

А. Г. АБДУЛЛАЕВ, М. Г. КЯЗУМОВ, Г. С. МЕХДИЕВ, Д. А. ГУСЕИНОВ

#### ИССЛЕДОВАНИЕ КРИСТАЛЛИЧЕСКОЙ СТРУКТУРЫ CdAlInS<sub>4</sub> ЭЛЕКТРОНОГРАФИЧЕСКИМ МЕТОДОМ

(Представлено академиком АН Азербайджанской ССР Г. Б. Абдуллаевым)

Электронограммы вращения получены от монокристаллов CdAlInS<sub>4</sub> и текстурированной пленки. Определены периоды элементарной ячейки  $a_0 = 3,87 \text{ \AA}$ ,  $c = 37,01$  и установлена пространственная группа  $R_{3m}$ . Установлена сверхструктурная фаза с периодом  $a = a_0 \sqrt{3}$ .

Кристаллы были выращены методом химической транспортной реакции. Водная суспензия, полученная легким растворением образцов кристалла в нескольких каплях воды с последующим разбавлением, диспергировалась под воздействием ультразвука. При естественном отстаивании суспензии в верхней части остаются наиболее высокодисперсные фракции. Этую фракцию переносили на целлулоидную пленку. Электронограммы от такого объекта показывают наличие текстурированного поликристалла (рис. 1, а).

Электронографический экспериментальный материал получен на высоковольтном электронографе ( $V = 350 \text{ kV}$ ;  $2L\lambda = 33,15 \text{ \AA mm}$ ).

Для исследования структуры кристалла использованы снимки от текстурированного кристалла (рис. 1, б), а для

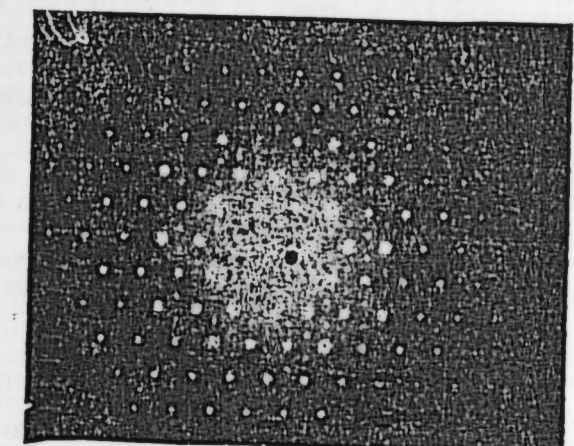
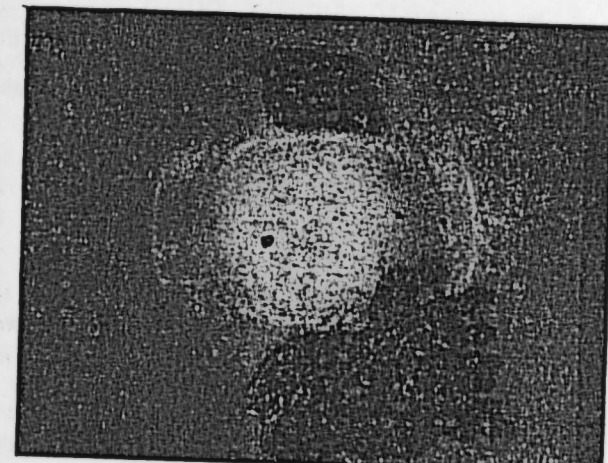


Рис. 1. Электронограммы от текстурированной (а) и монокристаллической пленки (б)

выявления тонких эффектов (сверхструктурных рефлексов) исследовались монокристаллические пленки (рис. 1, б), полученные методом отслаивания липкой лентой.

На основе анализа снимков косой текстуры были определены параметры решетки и проведена индукция рефлексов. Все исследованные кристаллы относились к  $3R$  модификации.

На рис. 2 приведены схемы расположения рефлексов на первом  $10\bar{1}l$  и втором  $\bar{1}\bar{1}2l$  эллипсах в прямой текстуре и визуально оцененные интенсивности рефлексов. Основываясь на имеющихся данных о кристалли-

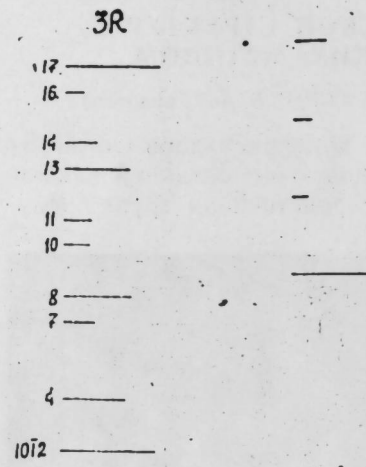


Рис. 2. Схемы расположения рефлексов на первом  $10\bar{1}l$  и втором  $\bar{1}\bar{1}2l$  эллипсах в прямой текстуре и визуально оцененные интенсивности рефлексов

ческой структуре соединения  $CdInGaS_4$  [1], при построении моделей структур полигонов в качестве исходной модели пакетов взят пакет, состоящий из четырех плотно упакованных слоев атомов  $S$ , в котором к вершинам октаэдров  $Cd$ , образующих непрерывную двумерную сетку, с двух сторон примыкают тетраэдры  $In$ ,  $Al$ . Сравнение экспериментальных значений  $\Sigma F^2$  для рефлексов  $10\bar{1}l$ ,  $\bar{1}\bar{1}2l$  и вычисленных для различных моделей  $CdAlInS_4$  показало, что структура  $CdAlInS_4$  характеризуется последовательностью атомов  $ACPAEAECAECPAC$  и относится к пространственной группе  $R_{3m}$ . В табл. 1 приведены вычисленные значения  $\Sigma F$  для рефлексов  $10\bar{1}l$  и  $\bar{1}\bar{1}2l$ , а в табл. 2 координаты атомов кристалла  $CdAlInS_4$ . В электронограммах от монокристалла диагностирована ромбодирическая

Таблица 1

$hkl$	$\Sigma F_{\text{эксп.}}^2$	$\Sigma F_{\text{теор.}}$	$hkl$	$\Sigma F_{\text{эксп.}}^2$	$\Sigma F_{\text{теор.}}$
-111	—	52,8	-120	70	97,3
012	36	63,3	-123	—	11,7
-114	18	64	—	—	—
015	—	3,0	-126	—	8,5
-117	8	52,4	-129	18	41,98
018	18	79,3	-1212	1	0,2
-110	5	22,3	-1215	1	10,2
0111	5	22,4	-1218	2	15,4
-1113	18	49,3	1221	5	34,3
0114	8	29,8	—	—	—
-1116	2	16,2	—	—	—
0117	36	84,6	—	—	—

структур. На этих снимках выявились сверхструктурные рефлексы, аналогичные электронограммам от  $CdInGaS_4$  [2] и показывающие на увеличение в  $\sqrt{3}$  раза параметра.

Таблица 2

1	2	3	4
$S_1$	0	0	0,0417
$S_2$	1/3	3/3	0,125
$S_3$	2/3	1/3	0,2083
$S_4$	0	0	0,2917
$(In+Al)/2$	1/3	2/3	0,0694
$Cd$	0	0	0,167
$(In+Al)/2$	2/3	1/3	0,270

Авторы считают своим приятным долгом выразить благодарность доктору физ.-матем. наук Р. Б. Шафизаде за активное участие при обсуждении результатов работы.

#### Литература

1. Кязумов М. Г., Амирзяланов И. Р.—ДАН АзССР, 1983, т. XXXIX, № 2, с. 19. 2. Abdullaev A. G., Kyazumov M. G. Thin Solid Films, 1983, v. 100, p. 175. Институт физики АН АзССР

Поступило 26. V 1987

А. Г. Абдуллаев, М. Г. Казымов, Г. С. Мекитиев, Ч. А. Гусейнов  
КРИСТАЛЛИК  $CdAlInS_4$ , СТРУКТУРУНУН ЕЛЕКТРОНОГРАФИЯ  
МЕТОДУ ИЛЭ ТӘДГИГИ

$CdAlInS_4$  монокристаллик нә текстур назик тәбәгәләриннен электронограммы алынышдыры. Елементар гәфәсни периодлары тә'жү едилмиш ( $a_0 = 3,87 \text{ \AA}$ ,  $c_0 = 37,01 \text{ \AA}$ ) вә фәза группу мүәјҗән олумышдур. Мә'лүм олумышдур ки, йүкәк структурлу фазанын периоду  $a = \sqrt{3} a_0$  кимидир.

A. G. Abdullaev, M. G. Kyazumov, G. S. Mekhtiev, D. A. Guseinov  
THE INVESTIGATION ON CRYSTALLIC STRUCTURE OF  $CdAlInS_4$   
BY THE ELECTRONOGRAPHIC METHOD

The electronograms on  $CdAlInS_4$  monocrystals and textured films are obtained. The elementary net period constants are defined to be equal to  $a_0 = 3.87 \text{ \AA}$ ,  $c = 37.01 \text{ \AA}$ , space group is  $R_{3m}$ .

Г. И. КОЛЬЦОВ, Е. А. ЛАДЫГИН, С. Ю. ЮРЧУК, Ф. А. ЗАИТОВ,  
И. Д. АНИСИМОВА, А. З. АБАСОВА, О. Б. ШИШМОЛКИНА

### ЭЛЕКТРОФИЗИЧЕСКИЕ ХАРАКТЕРИСТИКИ $p-n$ - ПЕРЕХОДОВ, СОЗДАННЫХ ИОННОЙ ИМПЛАНТАЦИЕЙ $Be^+$ в GaP и $GaAs_{1-x}P_x$ ( $x = 0,4$ )

(Представлено академиком АН Азербайджанской ССР М. И. Алиевым)

При использовании материалов GaP и  $GaAs_{1-x}P_x$  ( $x = 0,4$ ) в оптоэлектронных устройствах, работающих в видимой области спектра, требуется создание  $p-n$ -переходов с малой глубиной залегания [1].

Наиболее предпочтительным методом создания неглубоких, до 1 мкм, переходов является ионная имплантация [2]. В качестве исходных материалов использовали эпитаксиальные  $n-n^+$ -структуры GaP и  $GaAs_{1-x}P_x$  ( $x = 0,4$ ) с концентрацией электронов в  $n$ -слоях  $2 \div 3 \cdot 10^{16} \text{ см}^{-3}$ , которые легировали ионами бериллия.

Ионы бериллия с энергией 50–150 кэВ для мезаструктур и 50–100 кэВ для диодных структур, изготовленных по планарной технологии, имплантировали дозами  $5 \cdot 10^{13} \div 10^{15} \text{ см}^{-2}$  на установке HVE-350. Послеимплантационный отжиг, необходимый для удаления радиационных дефектов и активации имплантированной примеси осуществляли в атмосфере аргона.

Был испробован ряд материалов и сплавов для контактов к имплантированным слоям GaP и  $GaAs_{1-x}P_x$   $p$ -типа. Контакты после напыления вжигали в атмосфере аргона. Линейность вольт-амперных характеристик и величина переходного сопротивления изготовленных контактов контролировались.

### ЭКСПЕРИМЕНТАЛЬНЫЕ РЕЗУЛЬТАТЫ

В процессе изготовления фоточувствительных структур варьировали дозу и энергию имплантированных ионов, управляя глубиной залегания перехода и степенью легирования  $p$ -области.

При исследовании структур с  $p-n$ -переходом, оказалось, что существенную роль играет выбор материала для омического контакта к имплантированной области. Структуры из фосфида галлия, у которых в качестве омического контакта применяли сплав AuGe имели токи  $10^{-4} \text{ A}$  при прямых напряжениях  $\sim 4 \text{ V}$ . При повышении температуры вжигания те же токи  $10^{-4} \text{ A}$  получали уже при прямом смещении 2,75 В.

Прямое падение напряжения диода при использовании сплава InN; Zn больше, чем при сплаве AuGe с оптимальными режимами вжигания. Для меза-структур с контактом AuGe последовательное сопротивление контакта начинает сказываться при токах  $5 \cdot 10^{-4} \text{ A}$ , в то время как для

контакта на основе In, это влияние проявляется уже при токах  $5 \cdot 10^{-6} \text{ A}$ . Добавка Zn непосредственно во время напыления контакта снижает величину переходного сопротивления, которое начинает играть заметную роль только при токах более  $5 \cdot 10^{-3} \text{ A}$ .

На вид прямых ветвей ВАХ структур влияет и последовательное сопротивление, обусловленное наличием нарушенного слоя при неполном отжиге ионноимплантированного слоя. Повышение температуры отжига диодов, легированных  $Be^+$  приводит к уменьшению прямого падения напряжения для тока  $10^{-3} \text{ A}$  с 2,9 В, до 2,25 В. Коэффициент неидеальности для образцов с хорошими омическими контактами при оптимальных режимах вжигания составляет  $n > 2$  для данных режимов отжига. У меза-структур, полученных имплантацией ионов  $Be^+$  с энергиями 50 и 80 кэВ с контактом AuZn наблюдается резкое снижение значений прямых токов. Замечено, что это связано с наличием  $p$ -слоя высокого сопротивления и эффектом оттеснения тока к металлическому контакту, а также возрастанием роли поверхностной рекомбинации при уменьшении глубины залегания перехода (рис. 1). В планарных структурах наблюдалась та же тенденция. При ис-

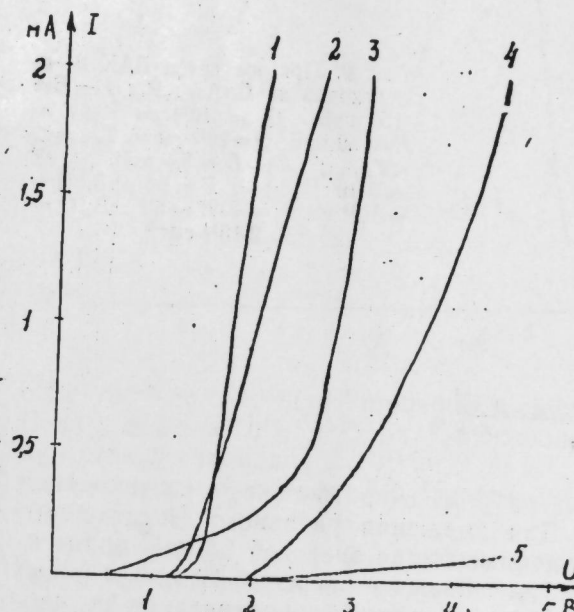


Рис. 1. Прямые ветви ВАХ  $p-n$ -переходов на GaP, изготовленных ионной имплантацией: 1 —  $E = 80 \text{ кэВ}, Q = 3 \cdot 10^{14} \text{ см}^{-2}$ ; 2 —  $E = 30 \text{ кэВ}, Q = 10^{14} \text{ см}^{-2}$ ; 3 —  $E = 150 \text{ кэВ}, Q = 5 \cdot 10^{14} \text{ см}^{-2}, T_{\text{отж.}} < T_{\text{отк.}}$ , контакт InNiZn; 4 —  $E = 150 \text{ кэВ}, Q = 6 \cdot 10^{14} \text{ см}^{-2}$ , контакт AuGe; 5 —  $E = 50 \text{ кэВ}, Q = 2 \cdot 10^{14} \text{ см}^{-2}$

пользовании в качестве контакта AuZn для диодов, полученных имплантацией  $Be^+$  с энергией 50 кэВ (доза  $2 \cdot 10^{14} \text{ см}^{-2}$ ), при смещении 1 В прямые тока  $5 \cdot 10^{-4} \div 2 \cdot 10^{-3} \text{ A}$ , а при имплантации с энергией 100 кэВ (доза  $10^{15} \text{ см}^{-2}$ )  $10^{-2} \text{ A}$  при том же смещении. Диоды с меза-структурой изготавливали также на основе  $GaAs_{1-x}P_x$  имплантацией  $Be^+$  с энергией 150, 80 и 50 кэВ. Первая партия была получена при внедрении ионов энергией 150 кэВ и с дозой  $10^{15} \text{ см}^{-2}$ . Для тех структур, у которых перед нанесением контакта проводили травление, с целью приближения максимума распределения ионов к поверхности, последовательное сопротивление контакта InNiZn значительно меньше. Так как при заданных температурах вжигания глубина диффузии Zn невелика, можно

считать, что сопротивление контакта определяется поверхностной концентрацией активированных ионов бериллия.

Концентрация дырок в  $p$ -слое при дозе  $10^{15} \text{ см}^{-2}$  и  $E=150 \text{ кэВ}$  выше, чем при  $2 \cdot 10^{14} \text{ см}^{-2}$  и энергиях 50 и 80 кэВ, поэтому прямые характеристики при легировании дозой  $10^{15} \text{ см}^{-2}$  должны быть лучше. Действительно, большая часть образцов этой серии не имеет участка, характерного для последовательного сопротивления, вплоть до токов  $5 \cdot 10^{-2} \text{ А}$ , а коэффициент неидеальности составляет  $1,8 \div 2$ .

Для образцов, полученных имплантацией с энергией 80 и 50 кэВ (рис. 2), коэффициент неидеальности составляет  $2 \div 2,7$ . Так же, как и

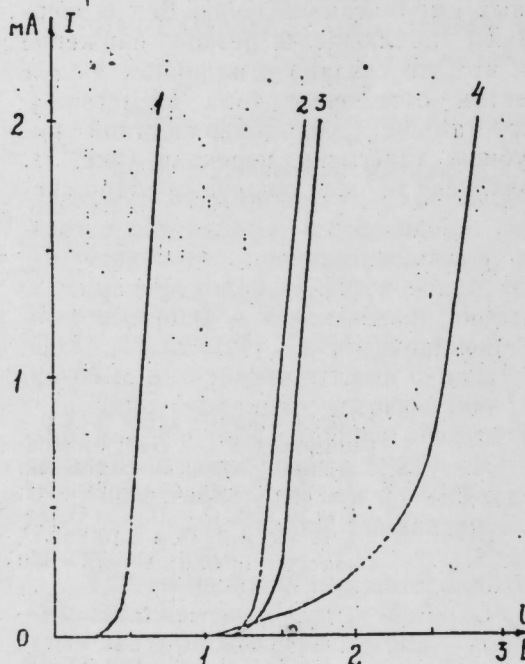


Рис. 2. Прямые ветви ВАХ  $p$ - $n$ -переходов на  $\text{GaAs}_{1-x}\text{P}_x$ : 1 —  $E = 150 \text{ кэВ}, Q = 10^{15} \text{ см}^{-2}$ ; 2 —  $E = 150 \text{ кэВ}, Q = 10^{15} \text{ см}^{-2}, T_{\text{отж}} < T_{\text{отж}2}$ ; 3 —  $E = 8 \text{ кэВ}, Q = 3 \cdot 10^{-14} \text{ см}^{-2}$ ; 4 —  $E = 50 \text{ кэВ}, Q = 2 \cdot 10^{-14} \text{ см}^{-2}$

в случае структур из GaP заметна роль сопротивления растекания и поверхностной рекомбинации. Для снижения удельного переходного сопротивления образцы, легированные  $\text{Be}^+$  с энергией 80 кэВ подлегировались дополнительно теми же ионами с энергией 30 кэВ и дозой  $10^{14} \text{ см}^{-2}$ . Действительно, влияние контактного сопротивления не наблюдается, вплоть до токов  $10^{-3} \text{ А}$ , в то время как без подлегирования, при энергии 50 кэВ, это влияние проявляется при токах  $10^{-5} \text{ А}$ .

Величины обратных токов и их зависимость от напряжения определялись дозой легирования. При этом основной составляющей обратного тока является генерационно-рекомбинационная. Для всех конструкций диодных структур, как планарной так и меза, величины обратного тока значительно превышают рассчитанные значения, это свидетельствует о наличии поверхностных токов утечки и генерации носителей через глубокие центры, появившиеся в результате радиационных нарушений [3]. В пользу последнего говорит тот факт, что при одинаковой температуре отжига, уменьшение дозы легирования с  $10^{15} \text{ см}^{-2}$  до  $2 \cdot 10^{14} \text{ см}^{-2}$  в планарных диодах GaP приводит к снижению токов при

обратном смещении в 1В с  $10^{-6} \text{ А}$  до  $10^{-9} \text{ А}$  и меньше. На меза-структурах на основе GaP при дозе легирования  $2 \cdot 10^{14} \text{ см}^{-2}$  ( $E = 50 \text{ кэВ}$ ) токи утечки  $10^{-9} \text{ А}$  имеют место при обратных смещениях 4  $\div$  5 В. Увеличение температуры отжига при дозе легирования  $5 \cdot 10^{14} \text{ см}^{-2}$  снижает обратные токи с  $3,5 \cdot 10^{-6} \text{ А}$  при смещении 1В до  $1,2 \cdot 10^{-9} \text{ А}$  (рис. 3).

Те же тенденции характерны для меза-структур на основе  $\text{GaAs}_{1-x}\text{P}_x$ . При одинаковой температуре отжига уменьшение дозы легирования

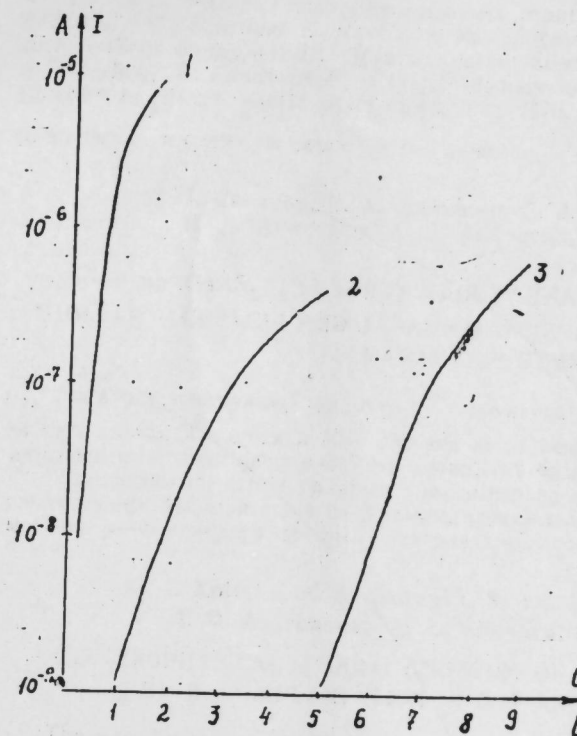


Рис. 3. Обратные ветви ВАХ  $p$ - $n$ -переходов на GaP: 1 —  $E = 150 \text{ кэВ}, Q = 5 \cdot 10^{14} \text{ см}^{-2}$ ; 2 —  $E = 150 \text{ кэВ}, Q = 5 \cdot 10^{14} \text{ см}^{-2}, T_{\text{отж}1} < T_{\text{отж}2}$ ; 3 —  $E = 50 \text{ кэВ}, Q = 2 \cdot 10^{14} \text{ см}^{-2}$

с  $10^{15} \text{ см}^{-2}$  до  $2 \cdot 10^{14} \text{ см}^{-2}$  приводит к снижению обратных токов (рис. 4). Если для дозы  $10^{15} \text{ см}^{-2}$  при напряжении 1В обратные токи  $10^{-9} \text{ А}$ , то при дозе легирования  $2 \cdot 10^{14} \text{ см}^{-2}$  те же токи  $10^{-9} \text{ А}$  протекают при обратных смещениях более 5В. Пробивные напряжения для GaP 25  $\div$  30В и для  $\text{GaAs}_{1-x}\text{P}_x$  30  $\div$  35В.

С помощью вольт-фарадных характеристик установлено, что для структур, полученных на основе  $\text{GaAs}_{1-x}\text{P}_x$  экспериментальные значения емкости мало отличаются от рассчитанных теоретически 250—300 пФ, а изменение емкости от напряжения соответствует резкому  $p$ - $n$ -переходу. Вычисленная из ВФХ контактная разность потенциалов составляет величину  $1,9 \div 1,95 \text{ эВ}$ , что согласуется с шириной запрещенной зоны для  $\text{GaAs}_{1-x}\text{P}_x$  ( $X=0,4$ ). Оценка с помощью ВФХ концентрации примеси в базовой  $n$ -области дает заниженное значение по сравнению с электрофизическими измерениями пластин. Можно предположить, что это связано с наличием промежуточного сильно компенсированного слоя.

В структурах на основе GaP измеренные значения емкости (120  $\div$  160 пФ) несколько меньше теоретических (200 пФ), а характер вольт-фарадной зависимости указывает на наличие линейного распределения

примеси в переходе. Такое поведение вольт-фарадных характеристик для структур из GaP и  $\text{GaAs}_{1-x}\text{P}_x$ , вероятно, связано с различием в образовании и отжиге дефектов в этих соединениях.

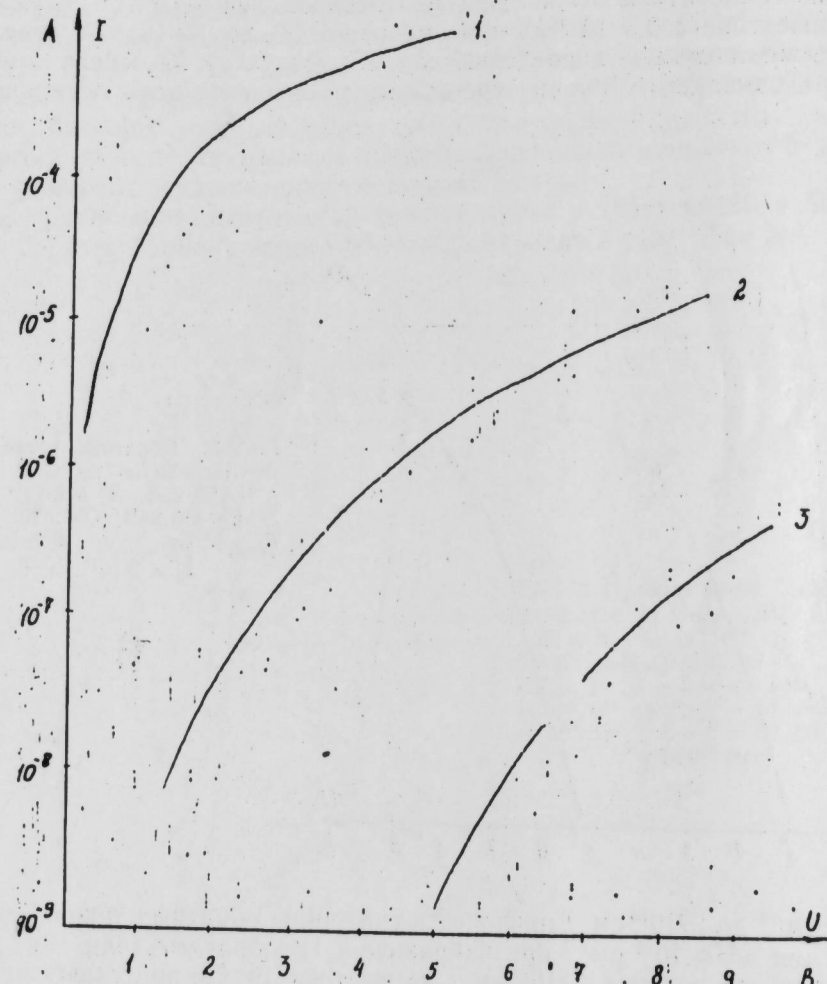


Рис. 4. Обратные ветви ВАХ  $p-n$ -переходов на  $\text{GaAs}_{1-x}\text{P}_x$ : 1 —  $Q = 10^{16} \text{ см}^{-2}$ ; 2 —  $Q = 10^{15} \text{ см}^{-2}$ ,  $T_{\text{отж}} > T_{\text{отж2}}$ ; 3 —  $Q = 2 \cdot 10^{14} \text{ см}^{-2}$

#### Выводы

Исследован ряд сплавов для омических контактов к имплантированным слоям  $p$ -типа в полупроводниковых соединениях GaP и  $\text{GaAs}_{1-x}\text{P}_x$ . Отработаны режимы вжигания этих контактных сплавов.

Для  $p-n$ -переходов, полученных при энергии имплантации 150 кэВ с дозой  $10^{16} \text{ см}^{-2}$ , при токе  $10^{-3} \text{ A}$  прямые смещения  $1,4 \div 1,8 \text{ В}$  для структур на основе GaP и  $0,6 \div 1,3 \text{ В}$  для структур на основе  $\text{GaAs}_{1-x}\text{P}_x$ .

При имплантации ионов  $\text{Be}^+$  с энергией 50 кэВ и дозой  $2 \cdot 10^{14} \text{ см}^{-2}$  для диодных структур на GaP при напряжении 5 В значения обратных токов составили  $10^{-9} \text{ A}$ , а для структур на  $\text{GaAs}_{1-x}\text{P}_x$  токи  $10^{-9} \text{ A}$  протекают при обратных смещениях  $6 \div 8 \text{ В}$ .

Пробивные напряжения переходов  $25 \div 30 \text{ В}$  для GaP и  $30 \div 35 \text{ В}$  — для  $\text{GaAs}_{1-x}\text{P}_x$ .

В структурах на основе GaP измеренные значения емкости  $120 \div 160 \text{ пФ}$ , характер вольт-фарадной зависимости указывает на наличие линейного перехода с большими градиентами концентрации. Емкость структур, изготовленных на  $\text{GaAs}_{1-x}\text{P}_x$   $250 \div 300 \text{ пФ}$  и зависимость емкости от напряжения указывает на наличие резкого перехода.

#### Литература

1. Зи С. Физика полупроводниковых приборов, ч. 2.—М.: Мир, 1984, 1860.
2. Loh K. W., Schröder D. K., Clark R. C., Rehagt A., Edrige G. W. Low leakage current GaAs diodes.—IEEE Transactions on Electron devices, 1981, v. ED-28, № 7, p. 796—800.
3. Zandveld P. Crystal damage and the properties of implanted  $p-n$  junction in silicon.—Solid State Electronics, 1978, vol. 21, p. 721—727.

Московский институт стали и сплавов

Поступило 25. XI 1986

Г. И. Колтсов, Е. А. Ладыгин, С. Ю. Юрчук, Ф. А. Зайтов,  
И. Д. Анисимов, А. З. Аббасова, О. Б. Шишмоловина

#### GaP ۋ $\text{GaAs}_{1-x}$ ( $x = 0,4$ ) КРИСТАЛЛАРЫНА $\text{Be}^+$ ИОНЛАРЫНЫН ИМИЛАНТАСИЯСЫ ИЛЭ ЖАРАНМЫШ КЕЧИДЛЭРИНИН ЕЛЕКРОФИЗИКИ ХАРАКТЕРИСТИКАСЫ

Мәгаләдә көстәрилир ки,  $p-n^+$  структурлу GaP ۋ  $\text{GaAs}_{1-x}\text{P}_x$  жарымкечиричиләрди өсасында енержиси  $50 \div 150$  кэВ вә дозасы  $2 \cdot 10^{14} \div 10^{15} \text{ см}^{-2}$  олан  $\text{Be}^+$  ионларынын имилантасијасы илэ  $p$ -п кечидләри назырламышды. Һазырламыш структурларын волт-ампер ۋ вольт-фарад характеристикасы тәдгиг едишлишdir. Имилантасија ۋ йаптырма режимләриниң, контакт материалынын сечилмәсшиллүү  $p-n$  структурларынын электрик хассасларина тәсиринэ баҳылмалышды.

G. I. Koltsov, E. A. Ladygin, S. Yu. Yurchuk, F. A. Zaitov,  
I. D. Anisimova, A. Z. Abasova, O. B. Shishmolkina

#### ELECTROPHYSICAL CHARACTERISTICS OF $p-n$ -JUNCTIONS, RECEIVED BY $\text{Be}^+$ IMPLANTATION IN GAP AND $\text{GaAs}_{1-x}\text{P}_x$ ( $x = 0,4$ )

The  $p-n$ -junctions on semiconductor materials GaP and  $\text{GaAs}_{1-x}\text{P}_x$  were received by ion implantation of beryllium with energies  $50 \div 150$  keV and doses  $2 \cdot 10^{14} \div 10^{15} \text{ cm}^{-2}$ . The mesa- and planar process of  $p-n$ -structures received was worked out. The series of materials and alloys for contacts to  $p$ -type implanted layers GaP and  $\text{GaAs}_{1-x}\text{P}_x$  was tested. The influence of implantation and anneal regimes and contacts on electrical properties of  $p-n$ -structures was examined.

УДК 538.114

## ФИЗИКА ПОЛУПРОВОДНИКОВ

Х. Б. ГЕЗАЛОВ, Э. А. САМЕДОВ, Р. Д. КАСУМОВ

ШИРИНА ЛИНИИ ЭПР В ПОЛУМАГНИТНЫХ  
ПОЛУПРОВОДНИКАХ  $Cd_{1-x}Mn_xTe$ 

(Представлено академиком АН Азербайджанской ССР М. И. Алиевым)

Кристаллы  $Cd_{1-x}Mn_xTe$  являются типичными представителями полумагнитных полупроводников. Эта система образует твердые растворы замещения со структурой сфалерита, в широкой области концентраций  $x: 0 < x \leq 0,7$  [1]. Присутствующие в кристаллической решетке парамагнитные ионы  $Mn^{++}$  с половиной заполненной  $3d^5$  оболочкой, образуют сильно локализованные магнитные моменты, которые взаимодействуют с зонными электронами посредством спинового обменного взаимодействия и таким образом становятся причиной необычных магнитно-оптических свойств этих материалов. К примеру, в них наблюдается «гигантское» фарадеевское вращение света около фундаментального края поглощения [2], сильное стоковое смещение при комбинационном рассеянии света с переворотом спина [3] и др. Помимо магнитно-оптических свойств, которые могут найти широкое практическое применение, немалый интерес представляют также и магнитные свойства полумагнитных полупроводников. К одним из таких свойств можно отнести уширение линии электронного парамагнитного резонанса (ЭПР) в полумагнитных полупроводниках при низких температурах.

Исследование ЭПР в  $Cd_{1-x}Mn_xTe$  было посвящено несколько работ [4, 5, 6]. В работах [4, 5] температурная зависимость ширины линии ЭПР выше температуры Нееля анализировалась теорией, разработанной для антиферромагнетиков [7]. В [6] температурная зависимость ширины линии хорошо описывалась эмпирической формулой, предложенной для металлических спиновых стекол в случае низких температур [8].

Качественно новый подход для объяснения уширения линии ЭПР в полумагнитных полупроводниках при низких температурах предложен в работе [9], в которой было получено хорошее согласие теории, развитой для магнитных примесей в металлах [10] с результатами, полученными для  $Hg_{1-x}Mn_xSe$ .

Согласно [9], свободные носители в полумагнитных полупроводниках находятся в режиме так называемого «электронного узкого горла», т. е. возможны связанные колебания спиновых намагниченостей  $Mn^{++}$  и электронов проводимости, если связь последних с решеткой слабее, чем с парамагнитными центрами. Таким образом, парамагнитные центры, имеющие различные локальные прецессионные частоты, оказываются связанными кросс-релаксацией посредством электронов. Так как скорость кросс-релаксации в основном определяется релаксацией Корпинга, пропорциональной температуре, то при высоких температурах,

когда кросс-релаксация играет существенную роль, следует ожидать сужение линии ЭПР. В случае же низких температур будет иметь место уширение линии ЭПР за счет разброса локальных полей.

В настоящей работе проведено исследование ЭПР в кристаллах  $Cd_{1-x}Mn_xTe$  и сопоставление экспериментальных результатов температурной зависимости ширины линии с вышеупомянутой теорией.

Монокристаллы  $Cd_{1-x}Mn_xTe$  были выращены методом Бриджмена с концентрацией марганца  $x: 0,4; 0,5; 0,6; 0,7$ . Спектры ЭПР снимались на радиоспектрометре РЭ-1306 с рабочей частотой 9,4 ГГц в интервале температур 77—300 К.

Для всех образцов спектры ЭПР представляют собой симметричную синглетную линию (рис. 1) с  $g$ -фактором 2,008. С увеличением концентрации марганца ширина линии растет вследствие спин-спинового взаимодействия одиночных ионов и кластеров. На рис. 2 приведена зависи-

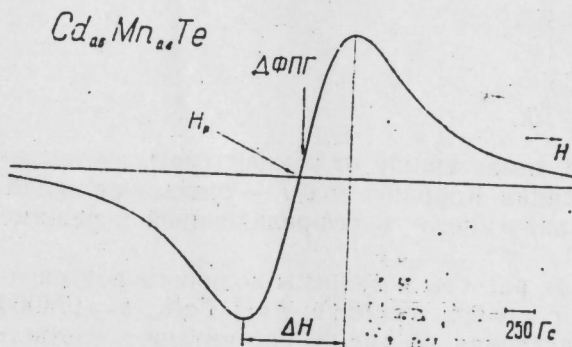


Рис. 1. Типичный спектр ЭПР, наблюдаемый в полумагнитных полупроводниках  $Cd_{1-x}Mn_xTe$  ( $x = 0,4; T = 300$  К)

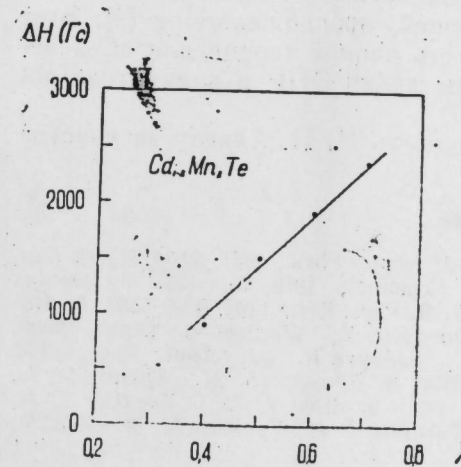


Рис. 2. Зависимость ширины линии ЭПР в  $Cd_{1-x}Mn_xTe$  от концентрации  $x$  при комнатной температуре

мость ширины линии ЭПР от концентрации при комнатной температуре. Следует отметить, что эта зависимость представляет собой линейную функцию с наклоном около 30 Гц/% Mn.

На рис. 3 приводится зависимость ширины линии от температуры для образца  $Cd_{0,6}Mn_{0,4}Te$ . Как видно, при уменьшении температуры от комнатной до температуры жидкого азота ширина линии растет примерно в три раза.

Согласно [9], температурная зависимость ширины линии ЭПР в полумагнитных полупроводниках при температурах выше 40 К может аппроксимироваться простой формулой:

$$\Delta H(T) = a + bT + c/T, \quad (1)$$

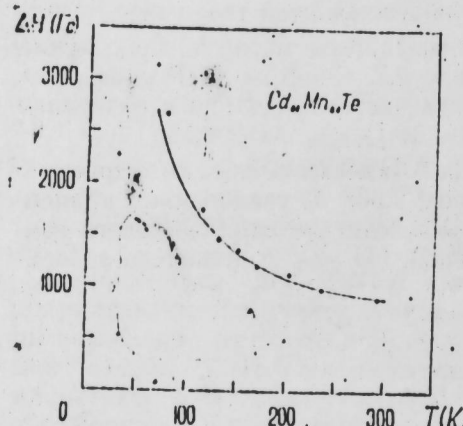


Рис. 3. Зависимость ширины линии ЭПР в  $\text{Cd}_{0.6}\text{Mn}_{0.4}\text{Te}$  от температуры (сплошная кривая—расчетана в соответствии с (1), точки—экспериментальные данные).

где  $a$ —остаток ширины линии, независящий от температуры,  $b$ —температурный коэффициент релаксации Корнига и  $c/T$ —описывает вклад неоднородного уширения, ограниченного кросс-релаксацией в режиме «электронного узкого горла».

Нами проведены численные расчеты и найдены величины подгоночных параметров для образца с  $x=0.4$ ;  $a=16$  Гц;  $b=1$  Гц/К;  $c=174000$  Гц·К. Сплошная кривая, приведенная на рис. 3, рассчитана в соответствии с формулой (1). Как видно, экспериментальные точки с достаточной точностью описываются теорией, предложенной в [9]. Этот факт еще раз подтверждает приемлемость данной теории для объяснения температурной зависимости ширины линии ЭПР в полумагнитных полупроводниках.

Авторы выражают свою признательность М. Н. Алиеву за участие в обсуждении работы.

#### Литература

1. Bottka V., Stankiewicz J., Girtat W.—J. Appl. Phys., 1981, 52, 4189.
2. Gaj A. K.—J. Appl. Phys., 1982, 53, 11.
3. Ramdas A., Chan B. W., Brun del Re R., Donofrio T., Wooley.—J. Appl. Phys., 1982, 53, 8934.
4. Oseroff S. B.—Phys. Rev., 1982, B 25, 6584.
5. Moynihan A., Chan B. W., Brun del Re R., Donofrio T., Wooley.—J. Appl. Phys., 1982, 53, 8934.
6. Webb D. J., Bhagat S. M., Furduna K.—J. Appl. Phys., 1984, 55, 6.
7. Huber D. L.—Phys. Rev., 1972, B6, 3180.
8. Bhagat S. M., Spano M. L., Lloyd J. N.—Solid State Commun., 1981, 38, 261.
9. Aliev M. N., Tagirov L. R.—Physica Status Solidi (b), 1985, 127, K61.
10. Тагиров Л. Р., Трутнев К. Ф.—ЖЭТФ, 1984, т. 86, вып. 3.

Сектор радиационных исследований АН АзССР

Поступило 25. IX 1986

Н. Б. Гезалов, Е. А. Сәмәдов, Р. Ч. Гасымов.

#### $\text{Cd}_{1-x}\text{Mn}_x\text{Te}$ ІАРЫММАГНИТ ІАРЫМКЕЧИРИЧІЛӘРДӘ ЕПР ХӘТТИШІ ЕНИ

Мөғаләә  $\text{Cd}_{1-x}\text{Mn}_x\text{Te}$  Іарыммагнит Іарымкечирічіләрдә электрон парамагнит резонансының (ЕПР) Mn атомларының концентрасиясында ( $0.4 < x < 0.7$ ) по темпе-

ратурдан ( $77 < T < 300$  К) асылылығы тәдгиг олумушшур.  $\text{Cd}_{0.6}\text{Mn}_{0.4}\text{Te}$  нұмұна-синада ЕПР хәтти енини тәчрубы температур асылылығының Іарыммагнит Іарымкечирічіләрдә учын верилмиш індерілгенде иле там уғуулугу ашқар едилмиш, уғуулуг эмсал-ларының әләди гијматләре тәжін олумушшур.

Н. Б. Gezalov, E. A. Samedov, R. D. Kasymov

#### EPR LINE WIDTH IN SEMIMAGNETIC SEMICONDUCTORS $\text{Cd}_{1-x}\text{Mn}_x\text{Te}$

EPR linewidth is studied in semimagnetic semiconductors  $\text{Cd}_{1-x}\text{Mn}_x\text{Te}$  in the region of temperature  $77 < T < 300$  K and Mn concentration  $0.4 < x < 0.7$ . Good agreement of temperature dependence of EPR linewidth for  $\text{Cd}_{0.6}\text{Mn}_{0.4}\text{Te}$  with the theory offered for semimagnetic semiconductors is found, fitting parameters are presented.

Акад. Т. Н. ШАХТАХТИНСКИЙ, А. Н. ГУЛИЕВА, А. Г. АГАЗАДЕ,  
С. А. АЛИЕВА, А. Д. ЭФЕНДИЕВ

### МЕХАНИЗМ ГЕТЕРОГЕННО-КАТАЛИТИЧЕСКОГО ОКИСЛЕНИЯ ХЛОРПРЕНА В ХЛОРМАЛЕИНОВЫЙ АНГИДРИД

Проблема получения углеводородов, содержащих несколько функциональных групп, представляет собой большую научную значимость. Одностадийное превращение хлорсодержащих олефинов в такие реакционноспособные соединения, как хлормалеиновая кислота и ее производные, позволяет получать на их основе различные соединения, обладающие специальным комплексом свойств: ненасыщенные полиэфирные смолы, лаки, фунгициды, гербициды и т. д.

Проблема представляет интерес как для практического применения, так и для теоретического исследования. Актуальным является изучение процесса и оптимизация условий, обеспечивающих селективное окисление олефинов с сохранением в молекуле атома хлора и реакционноспособной двойной связи.

В статье приведены результаты изучения процесса получения хлормалеинового ангидрида окислением хлорпрена [1], его кинетики и механизма протекания.

#### ЭКСПЕРИМЕНТАЛЬНАЯ ЧАСТЬ

Сырьем для окисления служил хлорпрен  $\text{CH}_2=\text{CH}-\text{ClC}=\text{CH}_2$ :  $d_4^{20} = 0,9533$ ,  $M=88,53$ , т. кип —  $59,4^\circ\text{C}$ .

Окисление хлорпрена (ХП) проводилось кислородом воздуха в присутствии различных катализаторов, наиболее активным из которых оказался контакт из окислов ванадия и фосфора.

Реакция окисления ХП осуществлялась в реакторе со взвешенным слоем V—P—O катализатора [2].

Катализатор зернением 0,2—0,4 мм загружался в стеклянный реактор с электрообогревом и двумя термопарами для измерения температуры в «кипящем» слое катализатора и в верхней части реактора.

Катализатор нагревался до температуры опыта в небольшом токе воздуха. После достижения заданной температуры, подачу воздуха увеличивали до необходимого по условию опыта и начинали подачу ХП механическим шприцем-дозатором. ХП с заданной скоростью проходил испаритель и смешивался с нагретым воздухом в смесителе и дальше поступал в реакционную зону, где и происходило его окисление. Степень окисления, а следовательно, состав и выходы продуктов реакции характеризуются главным образом тремя переменными факторами: температурой реакционной зоны, продолжительностью контактирования и соотношением хлорпрена и кислорода в сырьевой смеси. Образовав-

шиеся продукты реакции с температурой не ниже  $200^\circ\text{C}$  поступали в четыре поглотительные склянки, далее в змеевик-улавливатель, погруженный в сухой лед. Из змеевика несконденсированные газы выбрасывались в атмосферу.

Часть продуктов реакции, получаемых в процессе окисления ХП, отличалась хорошей растворимостью в горячей воде, и содержала хлормалеиновую кислоту (ХМК), а также частично и альдегиды [3].

Такие продукты окисления хлорпрена, как растворившиеся в воде ХМК, уксусная и другие кислоты, определяли титрометрическим методом.

Для количественного определения  $\text{CO}_2$ , газы после опыта пропускали через 30%-ный раствор KOH.

Нерастворившиеся в воде продукты реакции окисления хлорпрена (альдегиды и т. п.) анализировали на хроматографе «Цвет» при температуре колонки  $100^\circ\text{C}$ . Разделяющей фазой служил полиэтиленгликоль-адипинат — (ПЭГА): газ-носитель — гелий подавали со скоростью 7,0 л/ч. Анализируемая проба содержала муравьиный, уксусный и пропионовый альдегиды.

Для хроматографического разделения  $\text{CO}_2$ ,  $\text{O}_2$ , и  $\text{N}_2$  использовали колонку, заполненную молекулярными ситами 13X(NaX) или активированным углем СХТ. Полученный целевой продукт исследовали различными методами физико-химического анализа: ИК-, ЯМР- и масс-спектроскопией.

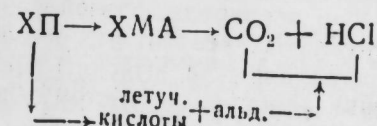
#### РЕЗУЛЬТАТЫ И ОБСУЖДЕНИЯ

Реакцию проводили при  $400$ ,  $450$ ,  $470^\circ\text{C}$ , временах контакта  $0,32$ — $1,08$  с, молярном соотношении ХП:  $\text{O}_2 = 1:30$ . Во всех случаях образовалась гамма продуктов: хлормалеиновый ангидрид, который при растворении в воде переходит в ХМК, уксусная, муравьиная, соляная, хлоракриловая кислота, формальдегид,  $\text{H}_2\text{O}$ ,  $\text{CO}_2$ .

Результаты исследования влияния температуры показаны на рисунке, а. Из этого рисунка видно, что повышение температуры приводит к увеличению выхода основного целевого продукта — ХМА, при этом выход  $\text{CO}_2$  также растет, а образование летучих кислот уменьшается.

Как видно из результатов изучения времени контакта (рисунок, б), максимальный выход целевого продукта достигается при времени контакта  $t=0,81$  с. Затем выход ХМА и соответственно селективность по нему убывают. Аналогичные зависимости наблюдаются для летучих кислот и альдегидов. Выход же  $\text{CO}_2$  после  $t=0,81$  с возрастает.

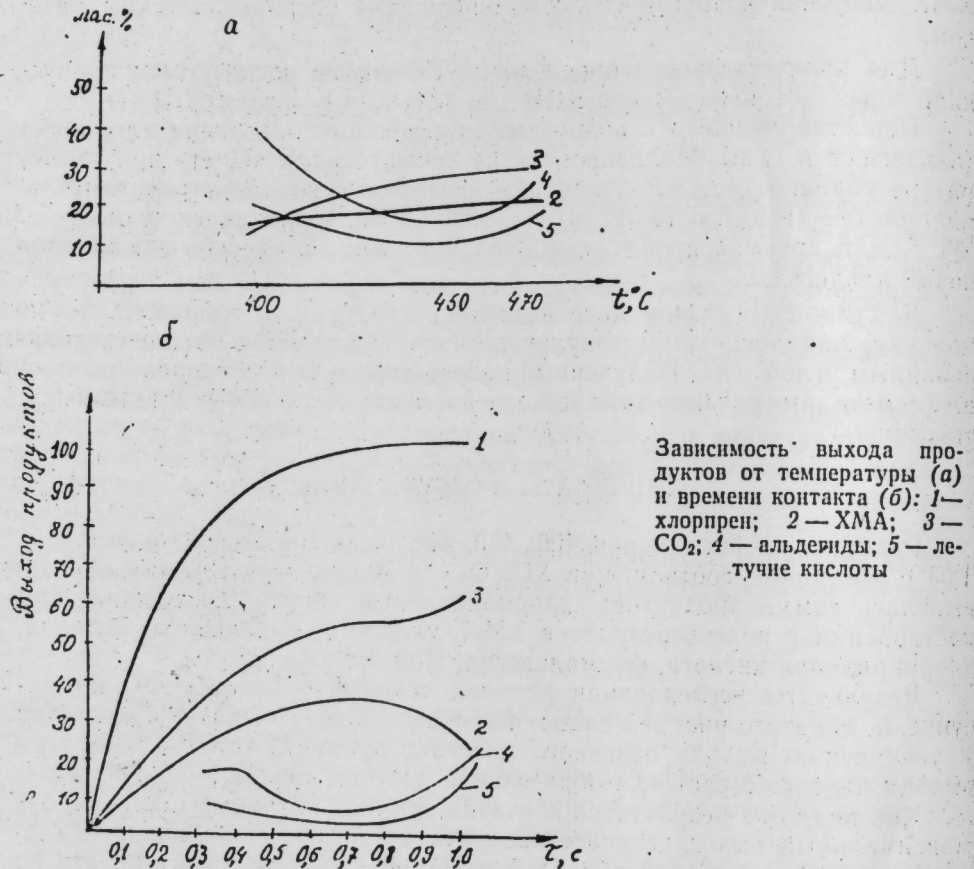
Такой характер поведения кривых позволяет нам предположить последовательно-параллельный механизм протекания реакции окисления хлорпрена.



Стабильность выхода  $\text{CO}_2$  при временах контакта  $0,5$ — $0,8$  с (см. рисунок, б) можно объяснить «защитным» действием ХМА на активные центры [4]. При увеличении времени контакта выше  $0,81$  с, происходит «дожигание» ХМА и других побочных продуктов до  $\text{CO}_2$ .

Механизм гетерогенно-катализитического окисления непредельных хлорсодержащих углеводородов пока еще остается слабоосвещенным и противоречивым.

В работе [5] показано, что целевой продукт реакции не претерпевает глубокого окисления и константу скорости этой стадии приравнивают к нулю. Ряд авторов утверждает, что глубокое окисление исходного углеводорода происходит при адсорбции его на окисленном центре за счет кислорода газовой фазы. Так же существуют мнения [6], что селек-



тивное окисление исходного углеводорода происходит при адсорбции его на окисленном центре в виде фуранового кольца с последующим образованием маленинового ангидрида. Глубокое же окисление относится к случаю адсорбции исходного углеводорода по двойной связи на неокисленном центре за счет кислорода газовой фазы.

На базе экспериментальных результатов и анализа литературных данных нами была сделана попытка выяснить механизм гетерогенно-катализитического окисления хлорпрена с учетом образования и расходования промежуточных веществ.

В основу механизма положен принцип модифицирования активных центров катализатора продуктами реакции, который с удовлетворительными результатами был применен в работе [4].

В основу создания модели окисления ХП были положены следующие положения:

- а) процесс квазистационарный;
  - б) все центры катализатора окислены;
  - в) адсорбция исходного продукта на центрах прочная.
- При этом постадийная схема механизма окисления ХП будет иметь вид:

1.  $KO_y + A \xrightarrow{\kappa_1} KO_yA$
2.  $KO_yA + a_1 O_2 \xrightarrow{\kappa_2} F + KO_yB$
3.  $KO_yB + a_2 O_2 \xrightarrow{\kappa_3} 2C + P + KO_y$
4.  $KO_yA + a_3 O_2 \xrightarrow{\kappa_4} KO_yS + T$
5.  $KO_yS + a_4 O_2 \xrightarrow{\kappa_5} N + 2C + P + KO_y$
6.  $KO_yS \xrightarrow{\kappa_6} KO_y + S$
7.  $KO_y + D \xrightarrow{\kappa_7} KO_yD$
8.  $KO_yD + A \xrightarrow{\kappa_8} KO_yDA$
9.  $KO_yDA + a_5 O_2 \xrightarrow{\kappa_9} 2D + KO_yR + R$
10.  $KO_y + R \xrightleftharpoons[\kappa_{-10}]{\kappa_{10}} KO_yR$
11.  $KO_yR + A \xrightarrow{\kappa_{11}} KO_yRA$
12.  $KO_yRA + a_6 O_2 \xrightarrow{\kappa_{12}} KO_yR + D + 2R$ ,
13.  $KO_yD + a_7 O_2 \xrightarrow{\kappa_{13}} 4C + P$ ,

где  $KO_y$  — окисленный активный центр;  $A$  — хлорпрен;  $D$  — XMA;  $F$  — уксусная кислота;  $T$  — формальдегид;  $P$  — соляная кислота;  $R$  — вода;  $C$  — углеводороды;  $S$  — хлоракрелин;  $N$  — муравьиная кислота;  $B$  — хлорпропионовая кислота;  $a_i$  — стехиометрический коэффициент при кислороде.

На базе представленного механизма была составлена модель процесса и рассчитаны ее параметры.

Таким образом, в результате проведенного исследования, нами предлагается постадийная схема механизма окисления хлорпрена в хлормалениновый ангидрид.

#### Литература

1. Алиева С. А., Шахтахтинский Т. Н., Садыхова Х. И. Способ получения хлормалениновой кислоты. — А. С. ССР 405865, Б. И., 1973, № 45.
2. Алиева С. А. Получение полифункциональных органических соединений окислением и окислительным аммониолизом некоторых алифатических хлорсодержащих углеводородов. Дис.. канд. хим. наук. — Баку: ИНХП, 1973, с. 29.
3. Эфендиев А. Д., Шахтахтинский Т. Н., Садыхова Х. И., Алиева С. А., Азадзе А. Г. Получение производных маленинового ангидрида катализитическим окислением галоидбутадиенов. — Нефтехимия, 1981, № 3, с. 435.
4. Азадзе А. Г., Розовский А. Я., Эфендиев А. Д., Шахтахтинский Т. Н. О механизме катализитического окисления непредельных хлорсодержащих углеводородов. С. Тез. докл. 4-ой Всесоюзн. конф. по механизмам катализитических реакций. — М., 1986, с. 104.
5. Varma R. L., Saraf D. N. Oxidation of butene to maleic anhydride. I. Kinetics and mechanism. — J. Catal., 1978, v. 55, № 3, p. 361—372.
6. Akimoto Masamichi, Echigoya Etsturo. Mechanism for incorporation of oxygen in vapour-phase selective oxidation of isobutene, butadiene and furan over various bismuth catalysts. — J. Chem. Soc. Faraday Trans., 1979, pt 1, v. 75, № 7, p. 1757—1768.

Институт теоретических проблем химической технологии АН АзССР

Поступило 29. VI 1987

Т. Н. Шахтахтински, А. Н. Гулијева, А. І. Ағазадә,  
С. Э. Элијева, А. Ч. Эфендиев

**ХЛОРПРЕНИН ХЛОРМАЛЕИН АНЬИДРИДИНӘ  
ОКСИДЛӘШМӘСИ ҮЕТЕРОКЕН-КАТАЛИТИК  
ПРОСЕССИНİN МЕХАНИЗМИ**

Мәгаләдә хлорпренин хлормалеин аньидридинә оксидләшмәси үетерокен-каталитик процессиниң тәклиф етдијимиз чөврилмә механизми верилир.

Іәмини механизмниң схеми актив модификацијаланыш мәркәзләр үзәриндә тәсвир едилир.

Бу механизм эсасында процесси кинетик модели гурулмуш вә реаксијаның параметрләри несаблашимышдыр.

T. N. Shakhtakhtinsky, A. N. Gulieva, A. G. Agazade,  
S. A. Alieva, A. D. Efendiev

**THE MECHANISM OF HETEROGENIC CATALYTIC OXIDATION OF  
CHLOROPRENE INTO CLOROMALEINIC ANHYDRIDE**

The results of research of catalytic oxidation of chloroprene into chloromaleinic anhydride are given. On the basis of experimental results and published data the mechanism of this reaction is proposed.

The main idea of the proposed mechanism consists in the fact that the active centres of catalysis are modified by the reaction products.

The kinetic model composed on the basis of this mechanism is solved with satisfactory errors.

АЗЭРБАЙЧАН ССР ЕЛМЛӘР АҚАДЕМИЈАСЫНЫН МӘРУЗӘЛӘРИ

ДОКЛАДЫ АКАДЕМИИ НАУК АЗЕРБАЙДЖАНСКОЙ ССР

ТОМ XLIV ЧИЛД

№ 3

1988

УДК 547.537.547.3

**ОРГАНИЧЕСКАЯ ХИМИЯ**

М. И. МАГЕРРАМОВ, А. Г. ЛЮТФАЛИЕВ, Р. А. ХАЛИЛОВА, Э. Ф. ГОДЖАЕВ

**АЛКИЛИРОВАНИЕ БЕНЗОЛА ВЫСШИМИ ОЛЕФИНАМИ  
НА ТВЕРДЫХ ПРОТОННЫХ КАТАЛИЗАТОРАХ**

(Представлено академиком АН Азербайджанской ССР Т. Н. Шахтахтинским)

Высшие алкилбензолы находят широкое практическое применение в различных отраслях народного хозяйства. Вместе с тем получение этих алкилароматических углеводородов в настоящее время базируется главным образом на реакции алкилирования бензола высшими олефинами в присутствии  $\text{AlCl}_3$ ,  $\text{H}_2\text{SO}_4$ , HF др. кислотных катализаторов [1—6]. Однако эти катализаторы не могут регенерироваться, вызывают коррозию аппаратуры, а полученный при этом алкилат следует отделить от катализатора промывкой водой, что приводит к потери части целевого продукта и образованию вредных сточных вод. В этой связи применение для реакции алкилирования катализаторов, лишенных указанных недостатков, представляет значительный научный и практический интерес.

В отечественной литературе практически не встречаются работы, посвященные алкилированию ароматических углеводородов высшими олефинами на твердых протонных катализаторах. Исключение составляет работа [7], в которой изучено алкилирование бензола высшими олефинами в присутствии синтетических алюмосиликатов в проточной системе при 300—500°C. Однако в этих условиях образуется смесь алкилбензолов, в том числе алкилбензолов с разветвленной структурой алкильного радикала, которые, как известно, не могут использоваться для получения качественных моющих средств из-за низкой моющей способности и плохой биоразлагаемости [8].

Ранее для алкилирования нафтилина высшими олефинами были применены шариковые алюмосиликатцеолитсодержащие катализаторы ЦЕОКАР-2 и АШНЦ-3. Установлено, что при относительно мягких условиях (атмосферное давление и температура 170—200°C) алкилирование протекает достаточно гладко и позволяет получить алкинафталины с высокими выходами [9]. В настоящем сообщении приводятся результаты опытов по алкилированию бензола алкенами-1  $C_6$ — $C_{20}$  в присутствии шарикового аморфного алюмосиликатного и алюмосиликатцеолитсодержащего (ЦЕОКАР-2) катализаторов.

**ЭКСПЕРИМЕНТАЛЬНАЯ ЧАСТЬ**

В реакции использованы предварительно высущенные и свежеперегнанные алкены-1  $C_6$ — $C_{20}$ . Гексен-1 был взят в виде готового препарата, а алкены-1  $C_8$ — $C_{20}$  выделены из продуктов олигомеризации этилена путем ректификации. Физико-химические константы использован-

ных алканов-1 близко совпадали с литературными [10]. Изучение их ИК-спектров показало, что алканы-1  $C_{12}$  и выше содержат примеси соответствующих изомерных олефинов с винилиденовой структурой ( $-C=C-$   
 $CH_2$ ).

Следует отметить, что в качестве катализатора использованы предварительно обезвоженные в токе воздуха при 600—650°C аморфный алюмосиликатный и алюмосиликатцеолитсодержащий (ЦЕОКАР-2) катализаторы.

Алкилирование проводилось в кипящем автоклаве под парциальным давлением реагирующих компонентов и продуктов реакции. Подробно изучено влияние различных факторов на ход реакции алкилирования бензола эйкозеном-1 в присутствии катализатора ЦЕОКАР-2. Установлено, что уже при 130 °C и мольном соотношении бензола к эйкозену-1 8:1 реакция протекает достаточно гладко и выход эйкозилбензола составляет 50%, а с повышением температуры до 160°C достигает 75%. Установлено, что для достижения лучшего результата достаточно использовать катализатор в количестве 40% от массы взятого эйкозена-1 при времени контакта 4 ч. При этих условиях выход продуктов моноалкилирования бензола олефинами-1  $C_6-C_{20}$  составляет 72,2—84,0%. Практически аналогичные результаты были получены при проведении реакции в присутствии аморфного алюмосиликатного катализатора (таблица).

Алкилирование бензола алканами-1  $C_6-C_{20}$  в присутствии аморфного алюмосиликатного и алюмосиликатцеолитсодержащего (ЦЕОКАР-2) катализаторов (т-ра 160 °C, мольное соотношение бензола к алкану-1—8:1, время контакта — 4 ч)

Алканы-1	Выход моноалкилбензолов, %	Селективность реакции, %
Гексен-1	72,2	90,7
Октен-1	75,7	88,9
Десятиен-1	84,0	92,4
Додецен-1	80,0	89,2
Тетрадециен-1	72,2	89,2
Гексадециен-1	76,5 (77,5*)	88,7 (86,7)*
Октацадециен-1	76,4	89,4
Эйкозен-1	75,0	90,0

\* Выход продукта алкилирования и селективность реакции в присутствии аморфного алюмосиликатного катализатора.

Значительный интерес представляло изучение изменения активности катализаторов в процессе алкилирования. С этой целью проводились серии опытов по алкилированию бензола октадециеном-1 в присутствии одной и той же порции катализаторов. Опыты проводились при 160°C, мольном соотношении бензола к октадециену-1 8:1, количество катализатора 40% от массы взятого октадециена-1 и времени контакта 4 ч. Установлено, что при повторном использовании активность катализаторов практически не снижается, однако при последующем применении их катализическая активность по выходу продуктов моноалкилирования падает от 76,4 до 58,2% (катализатор ЦЕОКАР-2) и от 77,5 до 71,2% (аморфный алюмосиликатный катализатор) и остается на том же уровне после трехкратного использования. При регенерации в токе воздуха при 600—650°C течение 4 ч первоначальная активность катализаторов восстанавливается.

## Выводы

1. Впервые изучено алкилирование бензола алканами-1  $C_6-C_{20}$  на аморфном алюмосиликатном и алюмосиликатцеолитсодержащем катализаторе ЦЕОКАР-2. Установлено, что в присутствии этих катализаторов выход продуктов моноалкилирования составляет 72—84%.

2. Катализаторы могут быть неоднократно использованы и после регенерации первоначальная активность их восстанавливается.

## Литература

1. Frédel C., Grafts J. M., Hebd C. R. — *Seances Acad. Sci.*, 1877, 84, 13, 92.
2. Batsohn M.—*Bull. Soc. Chim. France*, 1878, 31, 539. 3. Radziewanowski C.—*Ber. Röss. Akad. Wiss.* 1891, 1973, 5, Наг. США № 3365508, 1968. 6. Ipatieff V. N., Gross A. V.—*J. Amer. Chem. Soc.*, 1936, 58, 2339. 7. Исмаилов Р. Г., Алиев С. М., Раев Н. К.—*АЗР, нефт. хим.*, 1970, № 2, 34—35. 8. Справочник нефтехимика,—Л.: Химия, 1978, 99—107. Магеррамов М. Н., Зульфугарлы Дж. Н., Лютфалиев А. Г., Халилова Ф. А., Гамзанова Ш. А.—Лит. спил. СССР № 951382, 1981, 10, Оболенцев Р. Д. Физические константы углеводородов жидких топлив и масел.—М.: Гостоптехиздат, 1953.

АГУ им. С. М. Кирова

Поступило 4. XII 1986

М. Н. Магеррамов, А. Г. Лютфалиев,  
Р. О. Халилова, Е. Ф. Годжайев

## ПРОТООНЛУ БӘРК КАТАЛИЗАТОРЛАР ИШТИРАҚЫНДА БЕНЗОЛУН ЙҮКСӨК ОЛЕФИНЛӘРЛӨ АЛКИЛЛӘШМӘСИ

Мәгарлодо илк деңгә оларын аморф алюмосиликат ва алюмосиликатеолиттарының (ЦЕОКАР-2) катализаторлар иштиракында бензолун *d*-оле-финләрлә ( $C_6-C_{20}$ ) алкил моноклилбензолларының чыкымы 72—84 % төшкүл еди.

М. Н. Magerramov, A. G. Lutfalyev, R. A. Khalilova, E. F. Godjayev

## ALKYLATION OF BENZOL BY HIGH OLEFINS ON SOLID PROTON CATALYZERS

For the first time the alkylation of benzol *d*-olefins  $C_6-C_{20}$  on amorphous alumosilicate and alumosilicate-zeolite containing (zeocar-2) catalysts is studied. It is stated that in the presence of these catalysts the output of products monoalkylation is 72—84%.

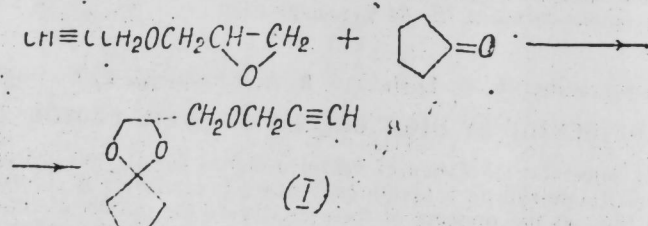
Б. Г. БАБАЕВ, У. Б. ИМАШЕВ, Э. А. МАМЕДОВ, С. Ф. КАРАЕВ

## СИНТЕЗ И РЕАКЦИИ 2,2-ТЕТРАМЕТИЛЕН-4-ПРОПАРГИЛОКСИ-МЕТИЛ-1,3-ДИОКСОЛАНА

(Представлено академиком АН Азербайджанской ССР А. М. КУЛИЕВЫМ)

Несмотря на немалое количество публикаций в области циклических ацетиленовых ацеталей [1—6], в литературе отсутствуют сведения по пропаргиловым кеталам, содержащим спиральное циклопентановое кольцо. Между тем, широкий диапазон практически важных свойств подобных кислородсодержащих соединений [6] обусловливает необходимость неотложной разработки методов синтеза и получения информации об их химическом поведении.

В данном сообщении рассматриваются результаты синтеза и гидролитических превращений неизвестного ранее гетероспира — 2,2-тетраметилен-4-пропаргилоксиметил-1,3-диоксолана (I). Получение последнего осуществлено с выходом 68% взаимодействием глицидил-пропаргилового эфира с циклопентаноном в присутствии эфирата фтористого бора по схеме



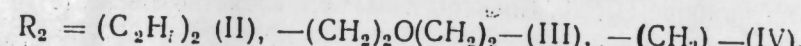
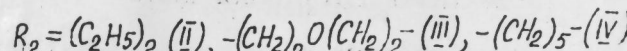
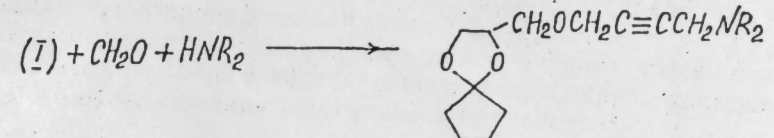
Строение продукта реакции (I) подтверждено спектральными методами. В его ИК-спектре отсутствуют полосы поглощения карбонильной и терминальной эпоксидной групп, но имеются абсорбционные полосы этинильной группировки ( $2100$  и  $3300\text{ см}^{-1}$ ) и группа линий в области  $1100$ — $1160\text{ см}^{-1}$ , характеризующих ацетальный фрагмент  $\text{C}-\text{O}-\text{C}-\text{O}-\text{C}$ .

В спектре ПМР соединения (I) протоны, входящие в пропаргильную группу образуют характерную двухсигнальную систему тройплет-дублет ( $\delta = 3,56$  и  $4,25$  м. д.), ядра водородов карбоцикла ответственные за усиленный синглет в сильном поле ( $\delta = 1,6$ — $1,9$  м. д.), а протоны гетероцикла проявляются в интервале химических сдвигов  $\delta = 3,2$ — $3,7$  м. д. Интегральная интенсивность сигналов этих протонов соответствует выполненной расшифровке структуры (I).

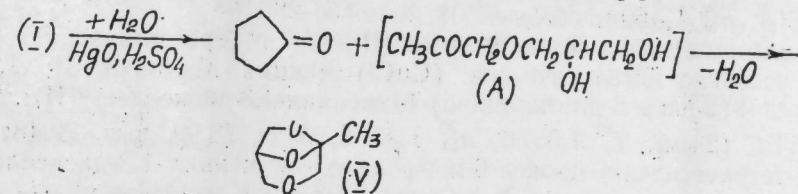
При проведении химических превращений синтезированного гетероспира (I), следовало априори учитывать возможное расщепление диоксоланового кольца в кислых условиях и его устойчивость в основ-

ной среде [6]. С другой стороны, надо было принимать во внимание нестабильность пропаргильной группировки молекулы (I) в присутствии оснований [1]. Реализованные эксперименты подтвердили это.

Так, в присутствии однохлористой меди, вторичные амины в сочетании с параформом вступают в реакцию с гетероспиралом (I) с участием ацетиленового атома водорода, давая продукты  $\text{C}_{sp}$  — аминометилирования

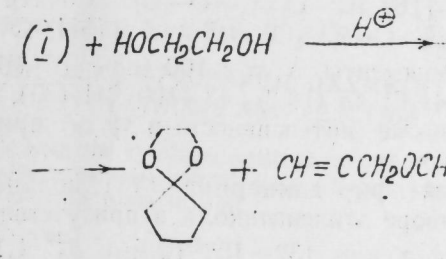


При этом кетальный фрагмент не подвергается деградации. Однако в условиях реакции Кучерова наблюдается разрыв 1,3-диоксоланового цикла с получением циклопентанона и бициклического триоксана (IV). Образование последнего, очевидно, является следствием циклизации промежуточного моноацетонилового эфира глицерина (A) по типу внутримолекулярного ацеталеобразования [6].



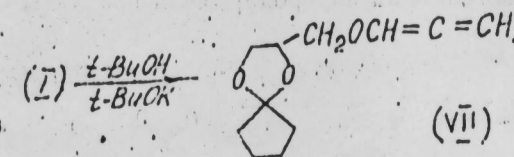
Структура триоксана (V) подтверждена данными спектра ПМР, а также колебательными и масс-спектрами.

Заметим, что осуществление кислого сольволиза гетероспира (I) в безводном этиленгликоле в отсутствие ртутного катализатора приводит к образованию этиленкетала циклопентанона и первичного моно-пропаргилового эфира глицерина (VI).



Механизм образования продуктов этой реакции включает, вероятно, первоначальный гидролитический распад соединения (I) по ацетальной группировке с получением моноэфира (VI) и циклопентанона в качестве интермедиата. Последний в условиях реакции этерифицируется этиленгликолем с образованием кетала, физико-химические константы и ИК-спектры которого были идентичны с таковыми для образца, описанного в литературе [7].

При нагревании гетеросириана (I) в триметилкарбиноле с третбутилатом калия происходит изомеризация с преимущественным образованием 2,2-тетраметилен-4-алленилоксиметил-1,3-диоксолана (по данным ИК-спектров и ГЖХ-анализа).



## ЭКСПЕРИМЕНТАЛЬНАЯ ЧАСТЬ

ИК-спектры синтезированных соединений (I—VII) в микрослое сняты на приборе UR-20. Спектры ПМР 0,1 и растворов веществ (I, V) в четыреххлористом углероде получены на приборе «Вариан-60». Внутренний эталон — тетраметилсиликон. Масс-спектр соединения (V) записан на спектрометре «MX-1303» с помощью прямого ввода образца в ионизационную камеру с температурой 100—130°C при 30 эв.

**2,2-Тетраметилен-4-пропаргилоксиметил-1,3-диоксолан** (I) получен из пропаргилглицидилового эфира и цикlopентанона в присутствии эфириата фтористого бора в условиях метода [2]. Т. кип. 98—99°C (2 мм)  $d_1^{20}$  1,0664,  $n_D^{20}$  1,4694,  $M_{R_D}$  52,07, выч. 51,28.

**Аминометильные производные (II—IV) гетеросириана (I)** получены в условиях каталитической ( $\text{CuCl}$ ) реакции Манниха [8]: 2,2-тетраметилен-4-(2-окса-6-диэтиламино)-4-гексениил-1,3-диоксолан (II): т. кип. 153—154°C (2 мм),  $d_1^{20}$  1,0076,  $n_D^{20}$  1,4775,  $M_{R_D}$  78,99 выч. 79,48;

2,2-тетраметилен-4-(2-окса-6-морфолино)-4-гексениил-1,3-диоксолан (III): т. кип. 182°C (1 мм)  $d_1^{20}$  1,1082,  $n_D^{20}$  1,4960,  $M_{R_D}$  79,14 выч. 78,98;

2,2-тетраметилен-4-(2-окса-6-пиперидино)-4-гексениил-1,3-диоксолан (IV): т. кип. 190°C (2 мм),  $d_1^{20}$  1,1046,  $n_D^{20}$  1,4950,  $M_{R_D}$  77,32 выч. 77,64.

**Бициклический триоксан (V)** получен гидратацией соединения (I) в присутствии окиси ртути и серной кислоты в условиях метода [8]. Т. кип. 59—60° (10 мм),  $d_1^{20}$  1,1457,  $n_D^{20}$  1,4456,  $M_{R_D}$  31,20, выч. 30,70. ИК-спектр ( $\text{cm}^{-1}$ ): 1100—1160 (C—O—C—O—C). Спектр ПМР ( $\delta$ , м.д.) 1,30 с. (3Н,  $\text{CH}_3$ ) 3,4 с. (2Н, C— $\text{CH}_2\text{O}$ ), 3,5—4,3 м (5Н,  $\text{OCH}_2\text{C(O)CH}_2\text{O}$ ). Масс-спектр:  $M^+$  130, фрагменты с  $m/e$  100 (83), 87 (18,3), 71 (28,3), 70 (26,6), 58 (40), 57 (41,6) 45 (18,3), 43 (100), 41 (30), 32 (5) (в скобках приведены относительные интенсивности в % от принятой за 100% интенсивности пика, имеющего  $m/e$  43).

**Монопропаргиловый эфир глицерина (VI)** получен сольволизом гетеросириана (I) в растворе этиленгликоля в присутствии серной кислоты в условиях метода [1], т. кип. 132—133° (2 мм),  $d_1^{20}$  1,1341,  $n_D^{20}$  1,4762,  $M_{R_D}$  32,37, выч. 32,32. ИК-спектр ( $\text{cm}^{-1}$ ): 3380—3450 (OH), 2120 и 3300 ( $\text{C}\equiv\text{CH}$ ).

**2,2-Тетраметилен-4-алленилоксиметил-1,3-диоксолан** (VII) получен изомеризацией гетеросириана (I) в триметилкарбиноле в присутствии трет-бутилата калия в условиях метода [9]. Т. кип. 88°C (1 мм),  $d_1^{20}$  1,0691,  $n_D^{20}$  1,4820,  $M_{R_D}$  53,25 выч. 52,33, ИК-спектр ( $\text{cm}^{-1}$ ): 1950 (C=C=C).

Данные элементного анализа полученных соединений соответствовали их молекулярным формулам.

## Выводы

1. Экспериментально доказана применимость катализитической конденсации глицидилпропиолового эфира с цикlopентаноном для синтеза 2,2-тетраметилен-4-пропаргилоксиметил-1,3-диоксолана.

2. Закономерности, выявленные при изучении гетеролитических реакций синтезированного ацетиленового гетеросириана составляют основу для его использования в органическом синтезе.

## Литература

1. Дубова Р. И., Шостаковский М. Ф., Атавин А. С., Васильев Н. П., Недоля И. А., Игнатьева М. А. Сб. Материалы II конф. по вопросам строения и реакционной способности ацеталей. — Фрунзе: Илим, 1970, с. 191—195.
2. Караев С. Ф., Шихнев И. А., Мирзаханова М. Г., Юзбашева С. — Азерб. хим. журн., 1970, № 3, с. 77—80.
3. Волков А. Н., Скиорцова Ю. М., Данда И. И., Худякова А. Н. IV Всесоюзный конф. по химии ацетиленов. Тез. докл. — Алма-Ата: Изд-во АН Каз. ССР, 1972, т. I, с. 198—202.
4. Верещагин Л. И., Гаиров Л. Д., Титова Е. Е., Вологдина Л. П. — Ж. орг. хим., 1973, т. 9, вып. 2, с. 247—252.
5. Bally W., Ettel E. L. — Amer. Chem. Soc., 1974, v. 96, p. 1798—1806.
6. Яновская Л. А., Юфит С. С., Кучеров В. Ф. Химия ацеталей. — М.: Наука, 1975. — 276 с.
7. Органикум. Практикум по органической химии. — М.: Мир, 1979, т. 1, с. 357.
8. Караев С. Ф., Казиева С. Т., Шихнев И. А., Найдберг Ц. М. — Ж. орг. хим., 1978, т. 14, вып. 3, с. 556—562.
9. Караев С. Ф., Мамедов Э. А., Гараева Ш. В. — Изв. вузов СССР, хим. и хим. технолог., 1985, т. 28, № 5, с. 117—118.

Поступило 4. I 1987

Азербайджанский институт нефти и химии  
им. М. Азизбекова  
Уфимский нефтяной институт

Б. Н. Бабаев, У. Б. Имашев, Е. А. Мамедов, С. Ф. Гараев

## 2,2-ТЕТРАМЕТИЛЕН-4-ПРОПАРГИЛОКСИМЕТИЛ-1,3-ДИОКСОЛАНЫН СИНТЕЗИ ВӘ РЕАКЦИЯЛАРЫ

Мәғаләдә 2,2-тетраметилен-4-пропаргилоксиметил-1,3-диоксоланынын синтези вә бәзى иетеролитик реакцияларда, о чүмләдән сольволиз, гидратация, аминометилилация, изомерләшеше реакцияларында озуну апарасы тәддиг едиллр.

Б. Г. Babayev, U. B. Imashev, E. A. Mamedov, S. F. Karayev

## 2,2-TETRAMETHYLENE-4-PROPARGIL-OXYMETHYL-1,3-DIOXOLENE SYNTHESIS AND REACTIONS

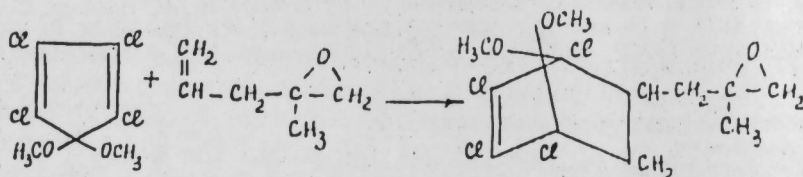
This article deals with the synthesis and behaviour of 2,2-tetramethylene-4-propargyl-oxyethyl 1,3-dioxolene in some heterolytic reactions, particularly solvation, dehydrogenation, aminomethylation and isomerization.

Ф. Ф. МУГАНЛИНСКИЙ, Т. А. УМУДОВ, чл.-корр. М. М. ГУСЕИНОВ,  
ВО ТХИ ЛИЕН

### СИНТЕЗ 1, 2, 3, 4-ТЕТРАХЛОР-7,7-ДИМЕТОКСИ-5 (2-МЕТИЛ-1,2-ЭПОКСИПРОПИЛ) БИЦИКЛО-(2, 2, 1)-ГЕПТЕНА-2

Изучение аномальных реакций и необычных соединений представляет особый интерес для химика-исследователя, поскольку является путем к открытию новых, неизвестных ранее закономерностей. На наш взгляд, одним из таких необычных объектов в современной органической химии с полным основанием можно считать гексахлорциклогептадиен (ГХЦПД) и его производные [1].

В связи с вышеизложенным, изучена конденсация 4-метил-4,5-эпоксицентена-1 с 5,5-диметокситетрахлорциклогептадиеном (ДМТХЦПД).



Строение и структура полученного аддукта подтверждена данными ИК-спектроскопии и элементным анализом.

Индивидуальность вещества подтверждена тонкослойной хроматографией  $R_f = 0,51$ .

Исследования показали, что выход аддукта зависит от многих факторов, а именно: температуры, мольного соотношения реагирующих компонентов, продолжительности реакции и количества подачи азота. Результаты приведены в табл. 1—4.

Влияние температуры на течение процесса изучалось в интервале 50—110°C при продолжительности реакции 6 ч (табл. 1).

Наибольший выход аддукта (98,6%) достигается при 90°C и продолжительности реакции 6 ч, а при низких температурах (50°C) выход аддукта, даже при продолжительности реакции 6 ч, составляет лишь 65,7%.

Влияние молярного соотношения реагирующих компонентов на выход целевого продукта изучалось в пределах диен: диенофил — 1:1 до 3:1. Максимальный выход аддукта 98,6% достигается при мольном соотношении реагирующих компонентов диен: диенофил — 2:1, в то время, как при эквимолярном соотношении выход аддукта составляет всего 82,3% (табл. 2).

Влияние продолжительности реакции изучалось в интервале 1—7 ч, а результаты приведены в табл. 3.

Таблица 1  
Влияние температуры на ход реакции ДМТХЦПД с 4-метил-4,5-эпокси-пентеном-1

	Т-ра, С	50	60	70	80	90	100	110
Получено, масс. %	ДМТХЦПД	55,411	49,336	44,257	41,612	39,479	39,063	38,922
	4-Метил-4,5-эпокси-пентен-1	5,289	3,181	1,476	0,620	—	—	—
	Продукт конденсации	37,997	45,630	51,757	54,766	57,021	57,136	57,078
	Остаток и потери	1,303	1,853	2,510	3,002	3,500	3,801	4,000
Выход аддукта на взятый непредельный эфир, %	65,7	78,9	89,5	94,7	98,6	98,8	98,7	

Примечание. ДМТХЦПД — 13,2 г; 4-метил-4,5-эпокси-пентен-2,454 г; продолжительность реакции — 6 ч; подача азота — 0,030 с<sup>-1</sup> (объ.).

Таблица 2  
Влияние соотношения ДМТХЦПД с 4-метил-4,5-эпокси-пентеном-1

Мольное соотношение ДМТХЦПД: 4-метил-4,5-эпокси-пентен-1	1:1	1,5:1	2:1	2,5:1	3:1	
Получено, масс. %	ДМТХЦПД	6,6	9,9	13,2	16,5	19,8
	4-Метил-4,5-эпокси-пентен-1	2,454	2,454	2,454	2,454	2,454
	ДМТХЦПД	8,725	25,781	39,479	49,172	56,116
	4-Метил-4,5-2-эпокси-пентен-1	4,495	0,793	—	—	—
Продукт конденсации	82,284	69,322	57,021	47,140	40,132	
Остаток и потери	4,496	4,104	3,500	3,688	3,752	
Выход аддукта на взятый непредельный эфир, %	82,3	94,6	98,6	98,7	98,65	

Примечание. Т-ра — 90 °C; продолжительность — 6 ч; подача азота — 0,030 с<sup>-1</sup> (объ.).

Таблица 3  
Влияние продолжительности опыта на ход реакции ДМТХЦПД с 4-метил-4,5-эпокси-пентеном-1

Продолжительность опыта, ч	1	2	3	4	5	6	7	
Получено, масс. %	ДМТХЦПД	69,976	57,251	47,528	44,270	41,025	39,479	39,140
	4-Метил-4,5-эпокси-пентен-1	10,496	5,979	2,504	1,450	0,441	—	—
	Продукт конденсации	18,966	35,448	48,115	51,872	55,404	57,021	57,078
	Остаток и потери	0,562	1,322	1,853	2,408	3,130	3,500	3,782
Выход аддукта на взятый непредельный эфир, %	32,8	61,3	83,2	89,7	95,8	98,6	98,7	

Примечание. Т-ра — 90 °C; 4-метил-4,5-эпокси-пентен-1 — 2,454 г; ДМТХЦПД — 13,2 г; продолжительность опыта — 6 ч.

Таблица 4  
Влияние подачи азота на ход реакции ДМТХЦПД с 4-метил-4,5-эпокси-пентеном-1

Подача азота, с <sup>-1</sup>	0,015	0,030	0,045	0,060	0,075	
Получено, масс. %	ДМТХЦПД	40,750	39,479	42,532	45,030	47,611
	4-Метил-4,5-эпокси-пентен-1	0,760	—	0,990	1,853	2,753
	Продукт конденсации	53,839	57,021	53,379	50,256	47,017
	Остаток и потери	4,651	3,500	3,099	2,861	2,619
Выход аддукта на взятый непредельный эфир, %	93,1	98,6	92,3	86,9	81,3	

Примечание. Т-ра — 90 °C; 4-метил-4,5-эпокси-пентен-1 — 2,454 г; ДМТХЦПД — 13,2 г; продолжительность опыта — 6 ч.

Из данных указанной таблицы видно, что с увеличением продолжительности реакции выхода аддукта возрастают и достигают своего максимума за 6 ч при 90°C и молярном соотношении диен: диенофил—2:1.

Для устранения побочных реакций димеризации, полимеризации и т. д. опыты проводились в токе азота.

Из данных табл. 4 видно, что с увеличением подачи азота от 0,015 до 0,03 с<sup>-1</sup> (объ.) выход аддукта 1:1 увеличивается, а при дальнейшем увеличении подачи азота от 0,045 до 0,075 с<sup>-1</sup> (объ.) выход аддукта 1:1 уменьшается. Это можно объяснить тем, что увеличение подачи азота в зону реакции, вытесняет из нее диенофил, который неполностью находится в зоне реакции.

Таким образом, оптимальными условиями реакции можно считать следующие: т-ра 90°C, мольн. соотнош. диен: диенофил—2:1, продолжительность реакции—6 ч и скорость подачи азота—0,03 с<sup>-1</sup> (объ.).

### ЭКСПЕРИМЕНТАЛЬНАЯ ЧАСТЬ

**Условия хроматографирования.** Пластины размером 13×18 см, угол наклона—15°, адсорбент—окись алюминия II степени активности, элюент—смесь эфира и дихлорэтана (1:6).

ИК-спектры синтезированных соединений сняли на спектрофотометре IR-20 (Карл Цейсс Иена ГДР) в области 400—4000 см<sup>-1</sup> в вазелиновом масле.

Синтез 1, 2, 3, 4-тетрахлор-7,7-диметокси-5 (2-метил-1, 2-эпоксипропил) бицикло-(2, 2, 1)-гептена-2.

В трехгорлую колбу, снабженную обратным холодильником, термометром и барботером помещают 26,4 г (0,1 моля) ДМТХЦПД, 4,91 г (0,05 моля) 4-метил-4,5-эпоксипентен-1 и через барботер в реакционную зону подают азот со скоростью 0,03 с<sup>-1</sup> (объ.) в течение 6 ч при 90 °C. После отгонки избытка 12,41 г (0,047 моля) ДМТХЦПД, вакуумной разгонкой выделено 17,86 г (98,6%) 1, 2, 3, 4-тетрахлор-7,7-диметокси-5 (2-метил-1, 2-эпоксипропил) бицикло-(2, 2, 1)-гептена-2, с т. кип.

130—131/1 тор;  $\eta_{D}^{20}$  1,5206;  $d_4^{20}$  1,3802;  $MR_{\text{найл.}}$ —79,83  
 $MR_{\text{найч.}}$ —79,56

Найдено, % C 42,85 H 4,40 Cl 39,21  
42,98 4,37 39,18

$C_{13}H_{16}O_3Cl_4$  вычислено, % C—43,09; H—4,42; Cl—39,23; Высококипящий остаток и потери—1,04 г.

### Вывод

Изучена диеновая конденсация ДМТХЦПД с 4- метил-4,5-эпоксипентеном-1 и найдены оптимальные условия проведения указанных реакций, при которых достигается максимальный выход целевого продукта; т-ра- 90°C, мольн. соотнош. диен: диенофил—2:1, продолжительность реакции—6 ч, скорость подачи азота—0,03 с<sup>-1</sup> (объ.).

### Литература

Зефиров Н. С., Шестакова Т. Г., Кирпиченок М. А.—Химия гексахлорцикlopента-диена и родственных соединений.—М.: МГУ, 1985.—211 с.

Азербайджанский институт нефти и химии им. М. Азизбекова

Поступило 25. II 1987

Ф. Ф. Муганлински, Т. Э. Умудов, М. М. Гусейнов,  
ВО ТХИ ЛИЕН

### 1, 2, 3, 4-ТЕТРАХЛОР-7, 7-ДИМЕТОКСИ-5 (2-МЕТИЛ-1, 2-ЭПОКСИПРОПИЛ) БИЦИКЛО-(2, 2, 1)-НЕПТ-2-ЈЕНИН СИНТЕЗИ

Мөгаләдә 5,5-диметокситетрахлорцикlopенгадијенда 4-метил-4,5-эпокси-пентан-1 конденсасијасы әсасында 1, 2, 3, 4-тетрахлор-7, 7-диметокси-5 (2-метил-1, 2-эпоксипропил) бицикло-(2, 2, 1)-непт-2-јенин синтези өтәнгилмишdir.

Көстәрилмишdir ки, реаксија мәңсулунун чыхымы температурдан, ваҳтдан, азотун мигдарындан вә аддепидләрин иисбәтиндән асылдыр.

F. F. Muganlinsky, T. A. Umudov, M. M. Guseinov, Vo Thi Lien

### SYNTHESIS OF THE 1, 2, 3, 4-TETRACHLORO-7,7-DIMETOXI-5 (2-METHYL-1,2-epoxy propyl) BICYCLO-(2, 2, 1) HEPTEN-2

The reaction of dien condensation of 5,5-dimethoxitetrachlorocyclopentadien with 4-methyl-4,5-epoxy penten-1 is given.

Optimal conditions of process investigated are found.

М. М. МАМЕДОВ, Ф. А. КЕРИМОВ, К. А. ПАНАХИ, Р. Г. ГУЛИЕВ

**ГЕНЕТИЧЕСКИЕ ОСОБЕННОСТИ ГЮМУШЛУГСКОГО СВИНЦОВО-ЦИНКОВОГО МЕСТОРОЖДЕНИЯ (НАХИЧЕВАНСКАЯ АССР)**

(Представлено академиком АН Азербайджанской ССР Ш. Ф. Мехтиевым)

Площадь распространения свинцово-цинкового оруденения в пределах Гюмушлугского месторождения ограничивается известняками животского яруса среднего девона. Рудные скопления имеют пластообразную форму и в пределах рудоносного горизонта образуют линзы, гнезда, прожилки и рассеянную вкрапленность, сконцентрированных в кровле известняковой толщи, непосредственно под глинистосланцевым экраном. Менее развиты секущие рудные тела, локализующиеся в разрывных нарушениях близмеридионального простирания.

Структурно-текстурные особенности руд свидетельствуют об их образовании как метасоматическим путем, так и в результате выполнения открытых полостей. Вещественный состав руд характеризуется следующей минеральной ассоциацией: галенит и сфалерит, реже пирит, халькопирит, блеклые руды, буланжерит, аргентит. В пустотах рудной массы часто наблюдаются друзы таблитчатых кристаллов барита. Околоврудные изменения выражены баритизацией, доломитизацией, кальцитизацией и окварцеванием.

Специфику Гюмушлугского месторождения, отличающую его от других стратиформных свинцово-цинковых месторождений, составляет тесная ассоциация оруденения с малыми интрузиями диабазов и габбро-диабазов.

Совмещение в пространстве интрузивов и оруденения в принципе может расцениваться как один из критериев сопряженности их и во времени, т. е. свидетельствовать о рудогенерирующей роли этих интрузивов или магматического расплава, дифференциатами которого они являются. На этом основании устанавливается парагенетическая связь оруденения с диабазитами, подтверждаемая локализацией свинцово-цинковой минерализации непосредственно в диабазовых инъекциях или их экзоконтактах.

Интрузивы представлены пластовыми телами, реже образуют крутопадающие дайки и небольшие штокообразные тела. Мощность их от 2 до 12 м, реже до 20—25 м. Под микроскопом структура пород диабазовая, офитовая и пойкилоофитовая. Плагиоклаз (лабрадор № 52—68, реже андезит—лабрадор № 48—50) образует призматические и таблитчатые кристаллы, без явных следов резорбции, иногда зонален. Из цветных минералов распространен авгит, реже энстатит и клино-энстатит. Иногда присутствует кварц в виде неправильных и скелетных зерен или

выполняет миндалевидные пустотки совместно с кальцитом и хлоритом. Из акцессориев обычно апатит, титаномагнетит и ильменит.

В петрохимическом отношении породы близки к среднему составу диабазов и кварцевых диабазов, по Дэли. (таблица). Суммарное содер-

Химический состав диабазовых интрузий

№ обр.	147	174	113	148	149	41	68+	66+
	1	2	3	4	5	6	7	8
SiO <sub>2</sub>	49,89	50,26	44,35	49,02	49,60	45,29	52,34	50,48
TiO <sub>2</sub>	3,37	2,17	4,32	3,27	3,18	4,51	1,82	1,45
Al <sub>2</sub> O <sub>3</sub>	12,05	13,50	13,81	13,30	12,68	14,34	13,70	15,34
Fe <sub>2</sub> O <sub>3</sub>	9,14	4,77	3,49	9,03	6,71	3,05	5,05	3,84
FeO	5,82	8,41	11,50	6,82	9,20	10,56	8,76	7,78
MnO	0,16	0,22	0,17	0,16	0,19	0,18	0,23	0,20
MgO	4,17	3,53	6,01	4,00	4,59	6,05	4,72	5,79
CaO	7,38	5,55	8,32	7,75	6,76	8,03	8,03	8,94
Na <sub>2</sub> O	2,46	5,12	2,75	2,24	2,56	2,72	2,60	3,07
K <sub>2</sub> O	1,12	0,48	0,40	0,96	1,04	0,48	1,17	0,97
P <sub>2</sub> O <sub>5</sub>	0,45	0,74	0,46	0,44	0,43	0,46	—	0,25
S <sub>общ</sub>	Сл.	Сл.	0,10	Сл.	0,08	0,12	—	—
H <sub>2</sub> O	0,65	0,92	0,28	0,49	0,47	0,37	—	—
CO <sub>2</sub> общ.	0,68	0,71	0,66	0,51	0,68	0,07	—	—
Ппп.	2,22	3,14	3,14	2,03	2,03	3,99	1,56	1,89
Сумма	99,56	99,55	99,76	100,02	100,20	100,22	99,71	

Причина. Эксперименты выполнены в лаборатории силикатного анализа в Институте геохимии и физики минералов АН УССР.

147 — кварцевый габбро-диабаз; 174 — диабаз; 113, 41, 148, 149 — габбро-диабаз; 68 + кварцевый диабаз по Дэли; 66 + диабаз по Дэли.

жение щелочей сравнительно устойчиво (3—4%) при преобладании Na<sub>2</sub>O над K<sub>2</sub>O. Суммарное количество железа колеблется от 11 до 16%, причем за редким исключением FeO преобладает над Fe<sub>2</sub>O<sub>3</sub>. Содержание MgO также колеблется незначительно — от 3,5 до 6%. Более широкие колебания испытывает CaO (5,5—9,0%). Обилием хлорита объясняется достаточно большое (2—4%), по сравнению со средним составом по Дэли, стабильное содержание кристаллизационной воды.

В целом внутриочаговая и общая химическая эволюция родоначальной магмы выражена слабо, о чем свидетельствует относительная монотонность и устойчивость петрографического и химического состава интрузивных пород. Все разнообразие петрографического состава диабазов обусловлено лишь вариацией между меланократовыми и лейкохроматовыми составными частями пород и особенностями микроструктуры.

В связи с этим, если признать справедливым, что определяющим моментом для концентрации рудных элементов и образования промышленных месторождений являются масштабы процессов дифференциации, то недифференцированность протонисточника диабазовых интрузий является дискуссионным моментом в представлениях о наличии на глубине общего очага для диабазов и рудообразующих растворов.

Но так или иначе, вне зависимости от источника рудоносных ра-

волов, сама геологическая обстановка формирования Гюмушлугского месторождения, морфологические и структурно-текстурные особенности руд показывают, что выявление генезиса этого месторождения должно осуществляться с точки зрения гидротермальной гипотезы. Гидротермальный генезис руд подкрепляется температурой образования в 180—200°, полученная нами методом декрепитации и гомогенизации газово-жидких включений, заключенных в галените.

Дискуссия должна касаться в основном вопроса об источниках металлов: являются ли они первично-осадочными или вынесены из интрузивной магмы, не вскрытой эрозией. Специальные geoхимические исследования свидетельствуют о пониженных значениях рудогенных элементов в сланцево-карбонатных отложениях относительно кларка. Полученные данные опровергают точку зрения об осадочном происхождении свинцово-цинковых руд и наряду с другими признаками свидетельствуют об эндогенном источнике рудной минерализации.

Но даже допуская, что свинец и цинк действительно являлись первичными морскими осадками, отложившимися одновременно с формированием вмещающих пород, все же они должны были пройти стадию вторичного переотложения под воздействием восходящих гидротермальных растворов, приведшего к возникновению богатых скоплений сульфидов. С позиций первично-осадочного происхождения месторождения невозможно удовлетворительно объяснить значительную концентрацию оруденения на относительно небольшой площади. Процесс рудообразования в этом случае рассматривается как выщелачивание гидротермальными растворами рудных элементов из вмещающих пород ниже уровня глубинности формирования месторождения и последующие отложения их на более высоких горизонтах, проявляющихся на фоне общей эволюции химизма растворов в ходе изменения температуры, взаимодействия с вмещающими породами и т. п.

Таким образом, вне зависимости от источников металлов, можно с уверенностью констатировать, что само стратиформное месторождение, т. е. та концентрация полезных металлов, которую мы наблюдаем, обуzano деятельности химических активных водных растворов и поэтому должно называться «гидротермальным». Действительно, морфологические и структурно-текстурные особенности руд, свидетельствующие об аллохтонном по отношению к вмещающим породам их происхождении, позволяют утверждать, что в любом случае (вблизи интрузий или в удалении от них) месторождения формируются при обязательном участии растворов, это справедливо и для стратифицированных месторождений свинца и цинка [1]. Наиболее приемлемым в условиях Гюмушлугского месторождения является ювелирный источник гидротермальных растворов, генерированных очагом основной магмы.

Ряд исследователей, признавая эпигенетический характер оруденения полагают, что свойствами рудообразующих гидротермальных растворов могут обладать подземные воды глубокой циркуляции, вовлекшиеся в рудообразование под влиянием магматических процессов, ювелирных растворов или регионального метаморфизма.

Для своего подъема и разгрузки полезных компонентов гидротермальные растворы неизбежно должны были использовать благоприятные структурные условия. Анализ распространения свинцово-цинковой минерализации показывает, что такими рудоконтролирующими структурами на Гюмушлугском месторождении являются разрывные нарушения близмеридионального простирания в сочетании с причленяющи-

мися к ним межслоевыми трещинами, при наличии благоприятной для рудоотложения вмещающей среды. Такой средой являются сланцево-карбонатные отложения среднего девона. Оруденение размещается главным образом в подсланцевых, реже надсланцевых известняках, захватывая в единичных случаях и глинистые сланцы. Это объясняется контрастностью физико-механических и химических свойств известняков и сланцев, неоднозначно реагировавших на тектонические деформации и гидротермальные процессы. Повышенная концентрация оруденения под горизонтом глинистых сланцев обусловлена пластическими свойствами сланцев, играющих роль «надрудного» горизонта или экрана на пути восходящих гидротермальных растворов.

Эти закономерности в распределении свинцово-цинкового оруденения еще раз подчеркивают важную роль благоприятных и экранирующих горизонтов в образовании богатых концентраций руд, отрицаемую сторонниками осадочного генезиса стратиформных месторождений.

#### Литература

Боголепов В. Г. Основные направления исследований при определении практической значимости тел гидротермально-измененных пород. В сб. Критерии рудоносности метасоматитов, ч. 1—М., 1972.

Институт геологии АН АзССР

Поступило 16. IV 1986

М. М. Мамедов, Ф. Э. Керимов, К. А. Ранаки, Р. Г. Гулиев

КҮМÜШЛҮК ГУРГУШУН-СИНК ЖАТАҒЫНЫН  
КЕНЕТИК ХУСУСИЈЈАТЫ (Научные МССР)

Мәгәләдә Күмүшлүк жатағында гургушун вә синк минералларынын ганунаујгүн пајланмасындан данышылыр. Бу да бир даһа екран ролуну ојиајан һоризонтларын филиз чисменин эмәлә қәлмасында әһәмијәтли ролуну көстәрир. Диңәр тәрәфдән, филиз чисмәләринин тектоник лајвары позулмаларды додурмасы айдан көрүнүр.

Белә вазијәттән Күмүшлүк жатағында яраимасынын чөкмә жолу илә жох, гидротермал иәзәријәси илә изаһы даһа мәгсәдәујгүндер.

М. М. Mamedov, F. A. Kerimov, K. A. Panakhi, R. G. Guliev

THE GENETIC PECULIARITIES OF GUMUSHLUG LEAD-ZINC  
DEPOSIT (NAKHICHEVAN ASSR)

The regularities in distribution of lead-zinc ore of Gumushlug deposit which plays the important role in the formation of rich concentration of ore are given in the article.

It is difficult to explain the presence of ore-bodies in the zone of tectonic violation from the attitude of the genesis.

## БУРЕНИЕ СКВАЖИН

Л. М. МАТВЕЕНКО, Э. М. СУЛЕЙМАНОВ

## ГИДРОГЕОМЕХАНИЧЕСКИЙ РЕЗОНАНС В БУРОВЫХ СКВАЖИНАХ

(Представлено академиком АН Азербайджанской ССР М. П. Гулизаде)

Природа гидрогеомеханических явлений при бурении скважин в ряде случаев не имеет достаточного объяснения. Таковы, например, явления обвала пород, гидроразрыва пласти и ухода раствора при сравнительно небольшом изменении давления в скважине, более интенсивное кавернообразование в наиболее прочных породах [1], эффект самоизоляции проявляющих пластов при пульсации давления [2].

Излагаемые нами исследования позволяют искать объяснение упомянутым явлениям в характере взаимодействия колебательных составляющих гидродинамического поля скважины и геогидродинамического поля окружающего массива, поскольку в случае совпадения их частотных спектров возникают высокие резонансные напряжения при сравнительно слабых амплитудах взаимодействующих колебаний.

Наличие флюидоносной залежи (цели бурения) в геоструктурном элементе обуславливает его поведение как геомеханической колебательной системы, состоящей из надзалежного массива пород и расположенной на жестком основании упруго-деформируемой залежи, поскольку сжимаемость залежи может на один-два порядка превосходить сжимаемость пород окружающего массива [3], а геомеханические напряжения в скелете и поровое давление флюида уравновешивают гравитационные нагрузки от массы надзалежного массива [4]. Сжимаемость пород-коллекторов при наличии порового давления составляет  $10^{-1} \div 10 \text{ ГПа}^{-1}$ , а в отсутствие флюидного давления и для монолитных пород средняя сжимаемость составляет  $2,5 \cdot 10^{-2} \text{ ГПа}^{-1}$  [3], что в 4—400 раз меньше первой величины.

Исходное соотношение между частотой собственных колебаний надзаженного массива ( $\epsilon$ ), жесткостью залежи ( $c$ ) и колеблющейся массой ( $M$ ) для вертикальных гармонических колебаний в рассматриваемой колебательной схеме имеет вид [5]:

$$\epsilon^2 = \frac{c}{M} \quad (1)$$

В данном приложении жесткость залежи можно определить из отношения геостатической нагрузки ( $G$ ) к величине соответствующей деформации залежи ( $\lambda$ ):

$$C = \frac{G}{\lambda} = \frac{\Delta P S}{\lambda}, \quad (2)$$

где  $\Delta P = P_r - P_n$  — разность между горным ( $P_r$ ) и поровым ( $P_n$ ) давлениями,

$S$  — площадь залежи.

Изменение объема залежи можно представить как  $\Delta V = s h S$ : Вместе с тем  $\Delta V = \beta V \Delta P$ , где  $\beta(\Delta P)$  — упругоемкость породы,  $V = h S$  — исходный объем залежи,  $h$  — ее высота.

Отсюда получается:

$$\lambda = \beta h \Delta P \quad (3)$$

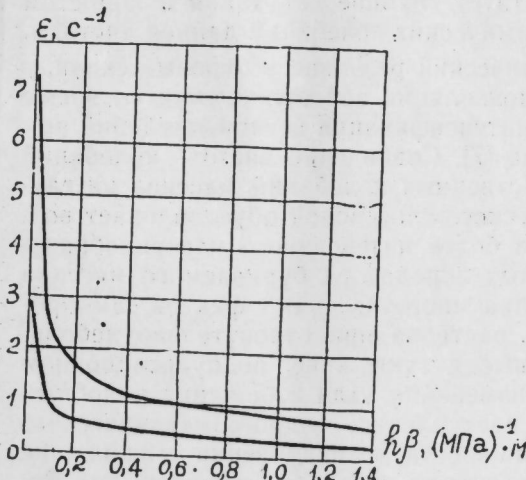
Из выражений (2) и (3) определяем жесткость:

$$c = \frac{S}{h \beta} \quad (4)$$

Учитывая, что  $M = \rho H S$ , где  $\rho$  — средняя плотность пород,  $H$  — глубина расположения залежи, из соотношений (3) и (4) находим:

$$\epsilon = \frac{1}{V h \beta \rho H} \quad (5)$$

На рисунке представлена рассчитанная по формуле (5) зависимость собственной частоты колебаний массива от сжимаемости залежи при различных глубинах залегания — от 900 (кр. 1) до 6400 м (кр. 2);



Зависимость собственной частоты колебаний массива на глубине залегания пласта от его сжимаемости: 1 — при глубине залегания пласта 900 м; 2 — при глубине залегания пласта 6400 м

средняя плотность пород принята равной  $2100 \text{ кг/м}^3$ . Из рисунка можно видеть, что при наличии нефтяной или газовой залежи диапазон частот собственных колебаний массива пород находится в интервале  $0,1 \div 10 \text{ с}^{-1}$ . Глубина залегания заметно влияет на частоту собственных колебаний только в области исчезающе малых сжимаемостей, при которых эта частота резко возрастает. Сравнительно небольшие частоты  $0,2 \div 2 \text{ с}^{-1}$  характерны при наличии залежей с относительно высоким поровым давлением, так как сжимаемость флюидонасыщенной породы связана обратной зависимостью с эффективным напряжением, составляемым разностью между геостатическим и поровым давлениями.

Теперь определим интервал частот возбужденных колебаний давления в скважине, который оценим на практических примерах. В скважинах 559 и 2102 на площадях Мишовдаг и Кюровдаг гидродинамические колебания возбуждали импульсным понижением давления в процессе цементирования обсадных эксплуатационных колонн, что осуществляли

для повышения приемкости водоносных песчаников и их изоляции задавлением цементного раствора в пласт [6]. Величина созданного при этом импульсного понижения давления составила 3 МПа в скв. 559 и 9 МПа — в скв. 2102, причем плавное предварительное повышение давления в ходе процесса не привело к гидроразрыву пласта.

В то же время, импульсное возмущение сопровождается колебаниями давления. Разложение импульсов в ряд Фурье дает затухающие волны с широким частотным спектром, включая и интервал частот собственных колебаний массива. Физическая обоснованность такого разложения хорошо известна из практики переходных процессов в скважинах [7]. Теперь, воспользовавшись соотношением (5), находим, что частоты собственных колебаний массива на глубине залегания продуктивного горизонта составляют  $4,26 \text{ c}^{-1}$  для скв. 559 и  $2,54 \text{ c}^{-1}$  для скв. 2102, т. е. являются значениями из интервала частот собственных колебаний. Следовательно, импульсное возмущение в процессе цементирования скважин сопровождалось воздействием резонансных нагрузок на пласт. В рассматриваемых примерах, как и в других 36 скважинах, где применение способа было успешным, произошло трещинообразование в породе при наступлении резонанса, о чем свидетельствует образование в водоносных пластах вокруг скважины водонизоляционных цементных экранов толщиной 0,2—0,5 м, что соответствует глубине затухания в пористом песчанике возбужденных гидродинамических колебаний данной частоты.

Таким образом, гидрогеомеханический резонанс в буровых скважинах может являться причиной самоизоляции зон проявления во время пульсаций давления [2] и явления интенсификации пескопроявлений при переходных процессах в скважине [7]. Совпадение частот колебаний давления в скважине и частот собственных колебаний массива на глубине залегания данного литологического слоя пород обусловливает возможность наблюдаемых случаев более интенсивного кавернообразования в сравнительно более прочных породах разбуриваемого массива [1]. Аналогичной может быть причина многочисленных фактов самопроизвольного гидроразрыва и ухода раствора при относительно небольшом повышении давления в бурящейся скважине, но пульсационном или колебательном характере его изменения. Для избежания подобных ситуаций следует предотвращать наступление гидрогеомеханического резонанса путем исключения возможности возникновения в скважине гидродинамических колебаний со спектром частот собственных колебаний разбуриваемого массива.

#### Литература

1. Сенг-Рза М. К., Фаталиев М. Д., Фараджев Т. Г. и др. Вопросы длительной устойчивости стенок глубоких скважин. — Баку: Азгосиздат, 1969. — 145 с.
2. Сенг-Рза М. К. Грифенообразование при бурении нефтяных и газовых скважин. — Баку: Азнефтепиздат, 1957. — 182 с.
3. Справочник по физическим свойствам минералов и горных пород при высоких термодинамических параметрах. /Под ред. М. П. Воларовича. — М.: Недра, 1978. — 364 с.
4. Баренблatt Г. И., Ентов В. М., Рыжик В. М. Теория нестационарной фильтрации жидкости и газа. — М.: Недра, 1972. — 288 с.
5. Бидерман В. Л. Прикладная теория механических колебаний. — М.: Высшая школа, 1972. — 416 с.
6. А. с. № 1196493 СССР. Способ цементирования скважин. Заявка № 3763210/22—03. Заявлено 02.07.84. Опубл. в Б. И. 1985, № 45, Авт. М. К. Сенг-Рза, Л. М. Матвеенко, Р. М. Абдуллаев, Э. М. Сулейманов. 7. Гаврилко В. М., Алексеев В. С. Фильтры буровых скважин. — М.: Недра, 1985. — 334 с.

АзНИПИнефть

Поступило 18. II 1986

Л. М. Матвеенко, Е. М. Сулейманов

#### ГАЗМА ГУЈУЛАРЫНДА ҮИДРОКЕОМЕХАНИКИ РЕЗОНАНС НАДИСЭСИ ҺАГГЫНДА

Магаләдә газма гујуларында үидрокеомеханики резонанс надисәси тәддиге сәилмишdir. Тәддигат иәтичәсендә гујуларда баш берән бир чох эффектләриңи сәбәбини шәрһ өтмәк мүмкүн олмушадур.

I.. M. Matveenko, E. M. Suleimanov

#### HYDROGEOMECHANICAL RESONANCE IN DRILLING WELLS

The effect of hydrogeomechanical resonance in drilling wells is given in this article on the base of which it is possible to explain a number of watched effects.

Чл.-корр. АН АзССР А. Г. КАСЫМОВ, В. М. ГАСАНОВ, Ф. Г. БАДАЛОВ

**СЕЗОННЫЕ ИЗМЕНЕНИЯ ЗООПЛАНКТОНА И ЗООБЕНТОСА  
В ПРИБРЕЖНЫХ ВОДАХ ОСТРОВА БУЛЛА  
КАСПИЙСКОГО МОРЯ**

Остров Булла является самым крупным островом Бакинского архипелага. Длина его без косы 2,5 км, ширина — от 0,2 до 1 км. Берега острова высокие и обрывистые, лишь в юго-западной части имеется узкий отлогий берег. В северной части острова два крупных очага вулканического извержения и группа мелких грифонов. Подводная береговая часть почти везде каменистая, за исключением небольшой бухты в северной части острова с песчано-илистым грунтом.

Сбор зоопланктона в 1984—1986 гг. проводился планктонной сетью Джеди, сделанной из газа № 38. Всего собрано 24 пробы. Донные животные собраны дночерпателем «Океан», площадью 0,01 м<sup>2</sup>. Промывка донных животных проводилась в сачке, который сделан из газа № 21. Число донных проб составило 184.

Прозрачность воды в прибрежных водах о-ва Булла составляет от 0,9 до 3,6 м по диску Секки, а на глубине 0,5 м — до дна. Прозрачность воды выше в южной части острова по сравнению с северной частью. Соленость воды колеблется от 12,5 до 12,8%, а насыщение воды кислородом — от 106 до 121%.

В зоопланктоне прибрежных вод о-ва Булла в 1984—1986 гг. найдено 12 видов зоопланктона: *Synchaeta vorax*, *S. stylata*, *Podon polyphemoides*, *Podonevadne trigona pusilla*, *P. camptonyx typica*, *P. trigona typica*, *E. apopuh producta*, *Eurytemora grimmii*, *Calanipeda aquae dulcis*, личинки моллюсков, усоногих и веслоногих ракообразных. Они встречались по всему побережью о-ва Булла.

Общая биомасса зоопланктона в северной части острова на глубине 15 м весной 1984 г. составляла 0,033 г/м<sup>3</sup> (3007 экз/м<sup>3</sup>), а в южной части — 0,035 г/м<sup>3</sup> (2861 экз/м<sup>3</sup>). На глубине 10 м были найдены следующие организмы: *S. vorax*, *P. trigona typica*, *P. polyphemoides*, *E. grimmii*, личинки моллюсков и ракообразных. Средняя биомасса зоопланктона была 0,008 г/м<sup>3</sup>, при численности 1846 экз/м<sup>3</sup>. Среди зоопланктона по численности и биомассе преобладали личинки балынуса (450 экз/м<sup>3</sup>, 0,002 г/м<sup>3</sup>), моллюсков (352 экз/м<sup>3</sup>, 0,002 г/м<sup>3</sup>) и *E. grimmii* (350 экз/м<sup>3</sup>, 0,001 г/м<sup>3</sup>). Летом биомасса зоопланктона составляла 0,052 г/м<sup>3</sup>, при численности 480 экз/м<sup>3</sup>. Осенью число видов зоопланктона было 7 форм. Средняя биомасса зоопланктона в северной части о-ва Булла составляла 0,02 г/м<sup>3</sup> (1399 экз/м<sup>3</sup>), а в южной — 0,025 г/м<sup>3</sup> (1280 экз/м<sup>3</sup>).

В 1985 г. в прибрежных водах о-ва Булла отмечено 8 видов зоопланктона: *P. polyphemoides*, *P. trigona pusilla*, *Evdre apopuh producta*,

*ta*, *P. trigona typica*, *Eurytemora grimmii*, личинки моллюсков, балынуса и копепод. Средняя биомасса зоопланктона в северной части о-ва Булла составляла 0,024 г/м<sup>3</sup>, а в южной — 0,013 г/м<sup>3</sup>. Наибольшее развитие среди зоопланктона имели ветвистоусые раки и личинки беспозвоночных животных.

Средняя биомасса зоопланктона весной 1986 г. изменялась от 0,014 до 0,028 г/м<sup>3</sup>, при численности 1230—1750 экз/м<sup>3</sup>. Биомасса зоопланктона в северной части острова была 0,029 г/м<sup>3</sup> (1800 экз/м<sup>3</sup>), а в южной — 0,041 г/м<sup>3</sup> (3600 экз/м<sup>3</sup>). По численности преобладали личинки балынуса (820 экз/м<sup>3</sup>) и веслоногих раков (350 экз/м<sup>3</sup>). Редкими видами были *S. stylata* (60 экз/м<sup>3</sup>) и *C. aquae dulcis* (70 экз/м<sup>3</sup>).

Летом 1986 г. биомасса зоопланктона в северной части о-ва Булла составляла 0,024 г/м<sup>3</sup> (3100 экз/м<sup>3</sup>), а в южной — 0,045 г/м<sup>3</sup> (4600 экз/м<sup>3</sup>). Осенью в пробах отсутствовал *E. apopuh*, биомасса зоопланктона в северной части острова была 0,016 г/м<sup>3</sup>, а в южной — 0,021 г/м<sup>3</sup>.

В прибрежных водах о-ва Булла найдено 16 видов донных животных *Nereis diversicolor*, *Mytilaster lineatus*, *Cerastoderma lamarckii*, *Abra ovata*, *Pyrohydobia conica*, *P. turrita*, *Balanus improvisus*, *Dikerogammarus haemobaphes*, *D. caspius*, *Pontogammarus crassus*, *P. maeoticus*, *Stenogammarus compressus*, *St. similis*, *Chaetogammarus wargachowskyi*, *Palaemon elegans*, *Rhithroporeus harrissi tridentatus*.

Средняя биомасса зообентоса в 1967—1968 гг. колебалась от 21,0 до 246,9 г/м<sup>2</sup>, при численности 75—765 экз/м<sup>2</sup>. Среди донной фауны доминировали митилястер (45,4 г/м<sup>2</sup>), церастодерма (173,1 г/м<sup>2</sup>), нерепис (4,3 г/м<sup>2</sup>), краб (21,6 г/м<sup>2</sup>) и креветка (19,1 г/м<sup>2</sup>) [1]. В 1984 г. в прибрежной зоне о-ва Булла встречены 3 вида со средней биомассой 29,69 г/м<sup>2</sup> (табл. 1). Из средней биомассы бентоса на долю митилястера приходится 97,67% всей биомассы.

В 1985 г. в зообентосе прибрежных зон о-ва Булла отмечено всего 4 вида донных животных, к ним относятся митилястер, понтогаммарус, краб и балынус. Средняя биомасса донной фауны составляла 42,93 г/м<sup>2</sup>, при численности 747 экз/м<sup>2</sup> (табл. 2). По биомассе преобладающим видом был митилястер, составляющий 75,3% всей биомассы бентоса. Второе место занимал балынус (9,5 г/м<sup>2</sup>). Оба вида занимали по численности также ведущее положение. Общая биомасса зообентоса весной была 9,82, летом — 10,20 и осенью — 8,62 г/м<sup>2</sup>. По сравнению с 1984 г. наблюдается также увеличение численности и биомассы донной фауны, но руководящим видом в обоих годах был митилястер. Однако в отличие от 1984 г. в бентосе появился балынус и по биомассе занял (после митилястера) второе место (9,5 г/м<sup>2</sup>).

В прибрежных водах о-ва Булла в 1986 г. было найдено 5 видов донных животных со средней биомассой 36,43 г/м<sup>2</sup> (табл. 3). Среди донной фауны преобладал митилястер, составляющий 87% всей биомассы бентоса. Максимальное развитие зообентоса отмечено летом, а минимальное — весной. Однако по численности доминирующим видом был *P. crassus*, а по биомассе — митилястер.

Сравнение данных с 1967—1968 и с 1984—1986 гг. [1, 2] показывает, что количество видов и биомасса донных животных снизились. Так, число видов уменьшилось с 16 до 5 в основном из-за исчезновения каспийских автохтонных видов амфипод — *D. haemobaphes*, *D. caspius*, *Ch. wargachowskyi*, а биомасса — с 87,0—90,9 до 29,7—42,9 г/м<sup>2</sup>.

Таблица 1  
Сезонные изменения зообентоса в прибрежных зонах о-ва Булла в 1984 г.  $(\frac{\text{экз}}{\text{м}^2})$

Организмы	Весна	Лето	Осень	Среднее
Mytilaster lineatus	120 30,4	380 34,20	160 22,4	220 29,00
Pontogammarus crassus	120 0,04	200 0,60	180 0,42	167 0,35
Rhithropoporeus harrisii tridentatus	20 0,22	30 0,32	40 0,48	30 0,34
Итого:	260 30,66	610 35,12	380 23,30	417 29,69

Таблица 2

Сезонные изменения зообентоса в прибрежных зонах о-ва Булла в 1985 г.  $(\frac{\text{экз}}{\text{м}^2})$

Организмы	Весна	Лето	Осень	Среднее
Mytilaster lineatus	240 26,22	320 40,24	220 30,51	260 32,32
Balanus improvisus	120 9,82	290 10,2	170 8,62	193 9,5
Pontogammarus crassus	360 0,12	250 0,32	140 0,16	250 0,20
Rhithropoporeus harrisii tridentatus	40 1,20	60 1,10	30 0,28	43 0,86
Итого:	120 9,82	290 10,20	170 8,62	747 43,93

Таблица 3

Сезонные изменения зообентоса в прибрежных зонах о-ва Булла в 1986 г.  $(\frac{\text{экз}}{\text{м}^2})$

Организмы	Весна	Лето	Осень	Среднее
Nereis diversicolor	240 0,16	300 0,21	160 0,15	233 0,17
Mytilaster lineatus	80 25,6	320 41,4	210 28,1	203 31,7
Balanus improvisus	80 1,20	240 1,80	130 4,20	150 2,40
Pontogammarus crassus	360 0,08	420 0,26	180 0,12	320 0,15
Rhithropoporeus harrisii tridentatus	40 0,8	120 2,14	100 3,08	87 2,01
Итого:	800 27,84	1400 45,81	780 35,65	993 36,43

### Литература

1. Грановский С. И. Автореф. дис... канд. биол. наук.—Баку, 1970.—31 с. 2. Ка-сынов А. Г. Животный мир Каспийского моря.—Баку: Элм, 1987.—156 с.

Институт зоологии АН АзССР

Поступило 1. VI 1987

Ә. Һ. Гасымов, В. М. Ысәнов, Ф. Һ. Бәдәлов

### ХЭЗЭР ДЭНИЗИ БУЛЛА АДАСЫНЫН САЛЫЛ СУЛАРЫНДА ЗООПЛАНКТОН ВЭ ЗООБЕНТОСУН ФЭСИЛЛЭР ҮЗРЭ ДЭЖИШМЭСИ

Булла адасынын саһил суларында 1984—1986-чы иллэрдэ 12 нөв зоопланктон вэ 16 нөв зообентос организмләри тапылышыдыр. Зооплактонун орта биокутләсі 0,008—0,052 г/м<sup>3</sup>, зообентосунки исә 29, 69—42, 93 г/м<sup>2</sup> тәшкил едир. Бентик һејвайлардан биокутләчә биринчи јери митилластер, дэниз гозасы вэ јенкәч тутур. Соң илләр Булла адасы саһилләринде бентик һејвайларын биокутләсими азалмасы гейд едилишидир.

A. G. Kasymov, V. M. Gasanov, F. G. Badalov

### SEASONAL CHANGES OF ZOOPLANKTON AND ZOOBENTHOS IN THE COASTAL WATERS OF THE BULLA ISLAND IN THE CASPIAN SEA

In the coastal waters of the Bulla island in 1984—1985 12 species of zooplankton with average biomass of 0.008—0.052 g/m<sup>2</sup> were found. Species number in zoobenthos amounts to 16, among which the Caspian aborigines predominate.

The average biomass of zoobenthos ranged from 29.69 to 42.93 g/m<sup>2</sup>, with numbers 47—993 specimens/m<sup>2</sup>.

The leading species of the benthos were Mytilaster lineatus, Balanus, crab.

Over a period of 1967—1968—1984—1985 the benthos biomass decreased nearly twofold.

## МИКРОЭЛЕМЕНТЫ В ПОЧВАХ МАЛОГО КАВКАЗА АЗЕРБАЙДЖАНСКОЙ ССР

(Представлено академиком АН Азербайджанской ССР Г. А. Алиевым)

Для более полного представления об обеспеченности микроэлементами почв Малого Кавказа Азерб. ССР нами наряду с подвижными формами микроэлементов изучались валовые его количества.

Результаты наших исследований и данные, полученные рядом советских и зарубежных авторов, свидетельствуют о том, что в зависимости от генезиса почвообразующей породы, его химического и механического составов, реакции среды и климатических условий в различных почвенных разновидностях выявляются неодинаковые количества валовых форм микроэлементов.

Рост, развитие различных растений, животных, а также и человека в значительной мере зависит от уровня содержания микроэлементов в почвах. Микроэлементы так же, как азотные, фосфорные, калийные и другие микроудобрения играют непосредственную роль при увеличении урожая и сказываются на качестве культурных растений. Поэтому изучение закономерностей распределения микроэлементов в различных почвах имеет большое значение для сельскохозяйственного производства.

Микроэлементный состав всей территории почв Малого Кавказа практически не изучен. Нами в 1981—1985 гг. проводились исследования закономерностей распределения микроэлементов (бор, марганец, медь, молибден, цинк, кобальт, йод и селен) в почвах этого региона.

В данной статье приводится содержание валовых форм указанных микроэлементов в горно-луговых торфянистых и горно-луговых дерновых почвах территории Малого Кавказа Азерб. ССР.

По данным М. Э. Салаева, эти почвы развиты в высокогорной зоне Малого Кавказа на высоте между 1800—3000 м над ур. моря. Здесь верхнюю часть составляют горно-луговые торфянистые почвы с кислыми метаморфическими почвообразующими породами, реже осадочными породами или щебенисто-мелкоземистыми элювиациями этих пород. Богатые луговой растительностью они способствовали образованию здесь торфянистого слоя мощностью 7—9 см. Нижнюю часть горно-луговых торфянистых почв (1800—2300 м) занимают горно-луговые дерновые почвы. Эти почвы в пределах Малого Кавказа занимают обширную полосу, типичную для пояса субальпийских лугов. Горно-луговые дерновые почвы, как отмечает М. Э. Салаев, отличаются от горно-луговых торфянистых почв более развитыми почвенными профилями и темной окраской верхнего горизонта. Но эти почвы, как и торфянистые, отличаются значительной щебенистостью.

Валовое содержание микроэлементов в почвах Малого Кавказа  
Азерб. ССР, мг/кг

Глубина взятия образца, см	Гумус	Пл	СаCO <sub>3</sub> %	рН водный	В	Mn	Cu	Mo	Zn	Co	I	Se	7
1	2	3	4	5	6	7	8	9	10	11	12	13	
0—20	14,8	8,2	Нет	6,0	17,7	638	8,3	1,3	18,7	3,8	7,2	0,19	
20—40	5,2	14,2	>	6,3	19,8	529	6,2	1,1	15,5	2,0	5,8	0,16	
40—55	2,8	15,0	>	6,4	24,3	315	7,6	0,7	13,0	2,1	4,2	0,13	
55—65	1,3	15,8	>	6,6	26,8	276	4,4	0,5	9,7	2,3	4,5	0,09	
Смеш. обр. 0—30	10,8	11,2	>	6,2	18,8	654	5,6	1,3	16,8	2,5	6,6	0,17	

Горно-луговые торфянистые, среднесуглинистые почвы. Кельбаджарский район.  
Разрез 113

Глубина взятия образца, см	Гумус	Пл	СаCO <sub>3</sub> %	рН водный	В	Mn	Cu	Mo	Zn	Co	I	Se	Горно-луговые торфянистые маломощные скелетные почвы Дашкесанский район. Разрез 254.
1	2	3	4	5	6	7	8	9	10	11	12	13	
0—22	11,4	6,7	Нет	15,8	504	6,8	6,4	0,9	1,1	12,2	3,9	8,0	0,14
22—40	4,2	12,4	>	18,2	342	2,0	0,7	0,7	8,5	4,1	5,8	0,11	
40—55	1,8	12,8	>	18,8	410	5,5	2,0	0,7	6,0	4,2	4,2	4,3	0,07
Смеш. обр. 0—30	6,4	10,7	>	6,6	16,5	390	5,5	1,2	10,9	4,0	4,0	7,1	0,13

	1	2	3	4	5	6	7	8	9	10	11	12	13
<b>Горно-луговые дерновые почвы. Кельбаджарский район. Разрез 350.</b>													
0—15	10,3	23,5	Нет	5,9	32,6	428	12,1	1,9	14,6	4,0	1,2	0,08	
15—30	8,0	25,0	>	5,9	27,4	360	10,9	1,2	12,0	3,1	0,7	0,06	
30—45	6,8	25,9	>	5,7	20,2	395	11,6	1,5	10,8	2,0	0,4	0,05	
45—60	1,4	29,8	>	5,5	14,8	307	12,8	1,9	13,5	1,5	0,6	0,03	
Смеш. обр.		25,5	>	5,9	26,6	416	11,0	1,4	12,4	3,0	0,8	0,06	
<b>Горно-луговые дерновые почвы. Лачинский район. Разрез 81.</b>													
0—15	9,7	14,3	Нет	6,8	24,8	524	9,8	1,6	11,7	3,4	0,9	0,07	
15—30	6,2	18,6	>	6,7	19,7	493	10,2	1,7	12,2	2,6	0,7	0,05	
35—50	1,7	22,4	>	6,6	12,2	376	11,5	1,8	12,8	2,0	0,8	0,04	
50—70	1,2	23,0	>	6,7	8,6	309	11,0	1,8	10,0	1,4	0,7	0,04	
70—90	0,6	23,5	>	6,7	5,0	337	11,4	1,5	10,5	1,0	0,4	0,03	
Смеш. обр.	6,7	19,3	>	6,8	20,2	501	10,7	1,6	12,0	2,7	0,6	0,05	
<b>Горно-луговые дерновые почвы. Кедабекский район. Разрез 385.</b>													
0—15	11,7	22,7	Нет	6,9	40,7	532	14,7	2,2	22,2	5,4	2,2	0,11	
15—30	4,2	23,0	>	6,9	34,4	500	12,9	1,6	20,0	4,8	2,0	0,08	
30—45	2,9	21,6	>	6,8	31,5	418	10,7	1,1	15,6	4,0	1,4	0,06	
45—60	1,3	23,2	>	6,8	26,2	400	8,4	0,7	16,7	2,9	1,0	0,05	
Смеш. обр.		5,7	>	6,9	36,0	504	12,3	1,6	20,5	4,7	1,9	0,10	

Развиты они на выщелоченных элювиальных порфиризах. Горно-луговые дерновые почвы характеризуются средним и тяжелосуглинистым составом, а иногда и глинистыми разновидностями.

Из приведенных в таблице результатов анализов следует, что между содержанием гумуса, ила, карбонатностью и валовыми формами микроэлементов сохраняется некоторая зависимость. Богатые гумусом и илом почвы также богаты содержанием микроэлементов. Прямых зависимостей между реакцией почвенного раствора и количеством валовых форм микроэлементов в верхних слоях почвы не наблюдается. В основном верхние слои почвы содержат больше микроэлементов, чем нижние.

При сравнении содержаний валовых форм микроэлементов в горно-луговых торфянистых почвах, взятых на территории Кельбаджарского и Дашкесанского районов, видим, что по всем показателям почвы Кельбаджарского района имеют преимущество. Только в почвах Дашкесанского района отмечается максимальное содержание двух микроэлементов (СО и I). А при сравнении видно, что по содержанию микроэлементов более богатыми являются почвы Кедабекского района, второе место занимают по содержанию бора, меди, цинка, кобальта, йода и селена— почвы Кельбаджарского района, а по содержанию марганца и молибдена— почвы Лачинского района.

В результате изложенного, можно сделать следующие выводы.

#### Выводы

1. Верхние слои горно-луговых торфянистых и горно-луговых дерновых почв Малого Кавказа более богаты валовыми формами микроэлементов, чем нижние.
2. Для большинства изученных почв установлена прямая зависимость между содержанием гумуса, илистой фракцией и валовым количеством микроэлементов.
3. Прямой зависимости между реакцией почвенного раствора и количеством валовых форм микроэлементов в почве не установлено.
4. Исследуемые почвы Малого Кавказа различаются между собой по содержанию микроэлементов, это связано с тем, что они развиваются на различных по химическому составу породах.

Институт почвоведения и  
агрохимии АН АзССР

Поступило 10. III 1986

Н. А. Агаев

#### АЗЭРБАЙЧАН ССР КИЧИК ГАФГАЗ ТОРПАГЛАРЫНДА МИКРОЕЛЕМЕНТЛЭРИН ЕҮТИЈАТЫ ҮАГГҮҮНДА

Мэглэдэх гејд единдији кими, Кичик Гафгазын бүтүн торпагларынын микроэлементлэрлээ тэ'мин олуулласы индијэ кими демэк олар ки, там төфсилаты ила өјрөннүүмәнишидир. Бу мэгсэдэл һәмми рекондо 1981—1985-чи иллэрдэ тэдгигат ишләри апарылышыдир.

Апарылыш тэдгигат ишләри көстәрди ки, даг-чәмән торфлу вә даг-чәмән чимли торпагларын үст һүмүслэ зәникүн олан гатларында микроэлементлэр (B, Mn, Cu, Mo, Zn, Co, J, Se) алт гатлара иисбээтэн даана чох јерлэширлэр. Бундан башга мүэйжэн олуулышудур ки, тэдгигат апарылсан торпаглар өз тэркиблэрийнээки микроэлементлэрин мигдарына көрэ бир-бириндэн чох кәскин фәргләнирлэр ки, бу да эасасы онларын кимҗэви тэркибчэ сүнн олмајсан сүхурлар үзәрнинде шиншиша тапнасы ила элагалэндириллэр.

N. A. Agaev

ABOUT MICROELEMENTS SUPPLIES IN THE SOILS OF THE MINOR  
CAUCASUS OF THE AZERBAIJAN SSR

The microelement composition of the whole Minor Caucasus territory practically has not been studied. Investigation of regularity of microelements distribution (B, Mn, Cu, Mo, Zn, Co, J, Se) in the soils of this region has been carried out by us during 1981–1985.

Our researches have shown, that dependence between the content of humus, silt, carbonaceousness and gross form of microelements remains. The more humus and silt, the more content of microelements.

АЗЭРБАЙЧАН ССР ЕЛМЛЭР АКАДЕМИЈАСЫНЫН МӘРУЗӘЛӘРИ

ДОКЛАДЫ АКАДЕМИИ НАУК АЗЕРБАЙДЖАНСКОЙ ССР

ТОМ XLIV ЧИЛД

№ 3

1988

УДК 581.8

АНАТОМИЯ РАСТЕНИЙ

Ш. Г. ДАДАШЕВА, С. Я. ОРЛОВА, Н. М. ЧАПАРИ

ТЕМП ОНТОГЕНЕЗА ДРЕВЕСИНЫ НЕКОТОРЫХ  
ДРЕВЕСНО-КУСТАРНИКОВЫХ КСЕРОФИТОВ НАХ. АССР

(Представлено академиком АН Азербайджанской ССР В. И. Ульянищевым)

В сравнительной и эволюционной анатомии древесины под «темпом онтогенеза» понимают время, в течение которого ювенильные структуры характерные для древесины одно-дву-трехлетних растений, сменяются структурами, характеризующими зрелую древесину.

Известно, что у огромного большинства древесных растений первые годичные слои по своему строению отличаются от годичных колец, формирующихся зрелым деревом. Эти различия, констатированные еще давно (например, Haulbert C. [6]) характеризуются строгой закономерностью, причем, строение молодой вторичной древесины всегда отличается большей примитивностью, т. е. в ней присутствуют такие признаки, которые обычно рассматриваются как примитивные, исходные для всех групп покрытосеменных растений (например, рассеянно-сосудистый тип распределения сосудов и т. д.). Такие различия обычно связывают с так называемым «биогенетическим законом» Дарвина—Геккеля и этому вопросу посвящена довольно значительная литература, обсуждение которой можно найти в ряде монографий А. А. Тахтаджяна [3, 4]. Этот вопрос относительно детально был освещен в работах Л. А. Лебеденко [2]. Опять-таки все эти данные получены на обычных мезофитных растениях. Насколько нам известно, в литературе нет сведений о том, в какой степени эти различия связаны с условиями местообитания. Мы предполагаем, что аридные условия, так сильно действующие на структуру растения, могли бы ускорить и темп формирования дефинитивной структуры древесины, т. е. ускорить «эволюционный онтогенез».

Для проверки этого положения, нами было проведено сравнение между зрелой древесиной и однолетними побегами 14 видов древесно-кустарниковых растений из различных семейств, произрастающих в ксерофильных полупустынях Нах. АССР (табл. 1).

Срезы из зрелой древесины однолетнего побега по всем трем направлениям делались бритвой от руки. Мацерированный материал готовился по методу Шульца. Описания производились по методу, предложенному А. А. Яценко-Хмелевским [5].

Все полученные нами данные, приведенные в табл. 1, показывают, что перфорации сосудов исследованных нами видов зрелой древесины и однолетнего побега простые. Спиральные утолщения в древесине однолетнего побега менее часты и, преимущественно одиночные, тогда как в древесине ствола они расположены более тесно и спирали здесь двойные. Поры на стенках сосудов зрелой древесины обычно более крупные,

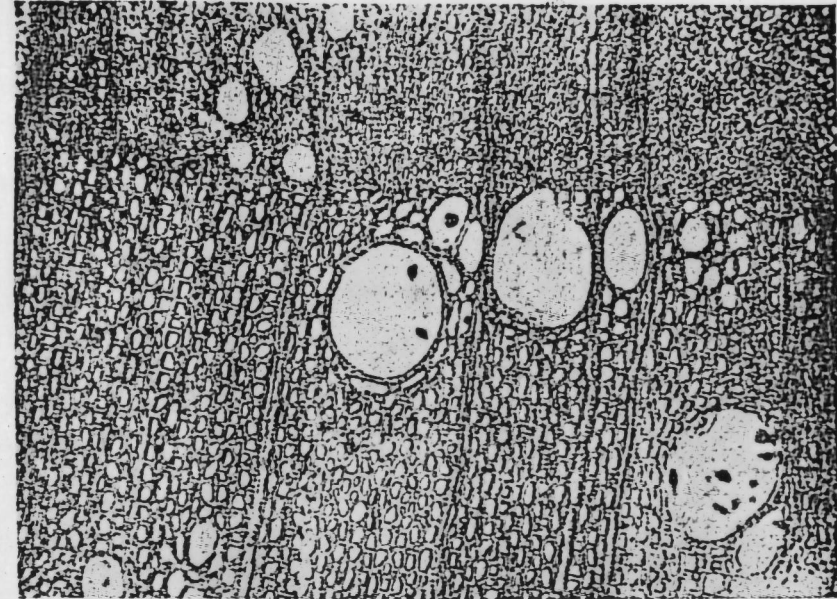
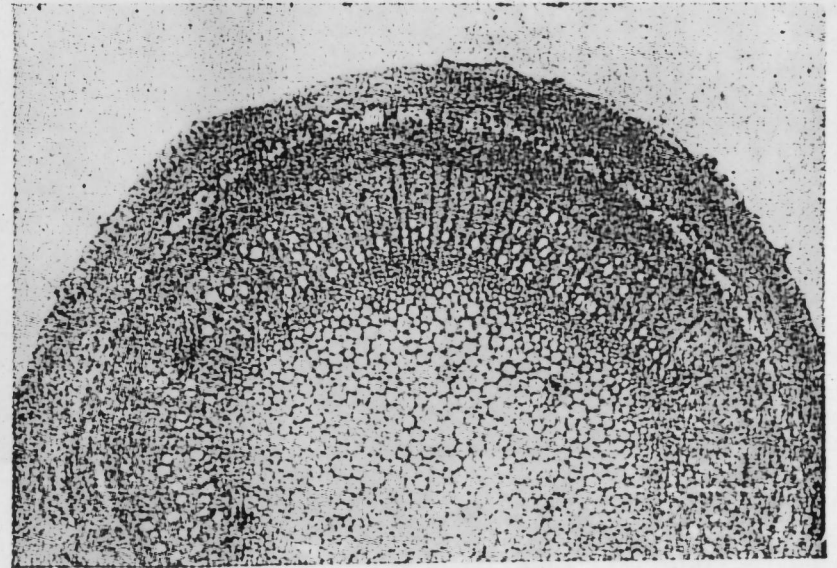
Таблица I

## Анатомические показатели зрелой древесины

Название видов	Тип перво-ратий	Тип межсосудистой паренхимы	Тип дрепесной паренхимы	Распределение сосудов	Тип механических элементов	Тип лучей
<i>Chenopodiaceae Ven.</i>	Простая	Очредная	Вазицентрич. и сосдинитентрич. складчатой позицентрич.	Рассеянно-сосудистая складчатая	Волокна либриформа	Существуют
<i>Ceratoideae ramosa (L.) C. A. Mey.</i> <i>Kochia prostrata (L.) Schrad.</i>						
<i>Noaea mucronata (Forsk.) Aschers. et Schenck.</i>			Диффузная			
<i>Salsola nodulosa (Moench.) Iljin</i>			Вазицентрич.			
<i>Salsola ericoides Bieb.</i>			Мегатрахеальная и вазицентрич.			
<i>Suaeda microfila Pall.</i>						
<i>Asteraceae Dumort.</i>						
<i>Artemisia artisibirica Korobkov</i>						
<i>Elaeagnaceae Juss.</i>						
<i>Elaeagnus angustifolia L.</i>						
<i>Moraceae Link.</i>						
<i>Ficus carica L.</i>						
<i>Polygonaceae Juss.</i>						
<i>Attraphaxis spinosa L.</i>						
<i>Rosaceae Juss.</i>						
<i>Amygdalus fenzliana (Fritsch.) Lipsky.</i>						
<i>Tamaricaceae Linnaeus</i>						
<i>Raumuria alternifolia (Labill.) Britton</i>						
<i>Raumeria persica Boiss.</i>						
<i>Nitrariaceae Lindl.</i>						
<i>Nitraria schoberi L.</i>						

свободные, окаймления пор сильно вытянутые, внутренние отверстия переходят за границу окаймления, тогда как в древесине однолетнего побега сравнительно мелкие, большей частью сомкнутые или сближенные, внутренние отверстия включенные.

Растения, для зрелой древесины которой характерны кольцесосудистый тип распределения сосудов, в древесном слое однолетнего побега (рис. 1—2) также показывают кольцесосудистость, но несколько слабее, чем в зрелой древесине.

Рис. 1. *Elaeagnus angustifolia* L. — поперечный срез зрелой древесиныРис. 2. *Elaeagnus angustifolia* L. — поперечный срез однолетнего побега

Здесь любопытно отметить, что у исследованных нами некоторых маревых (рис. 3, 4) строение древесины однолетнего побега более напоминает строение нормального побега двудольных, чем зрелая древесина,

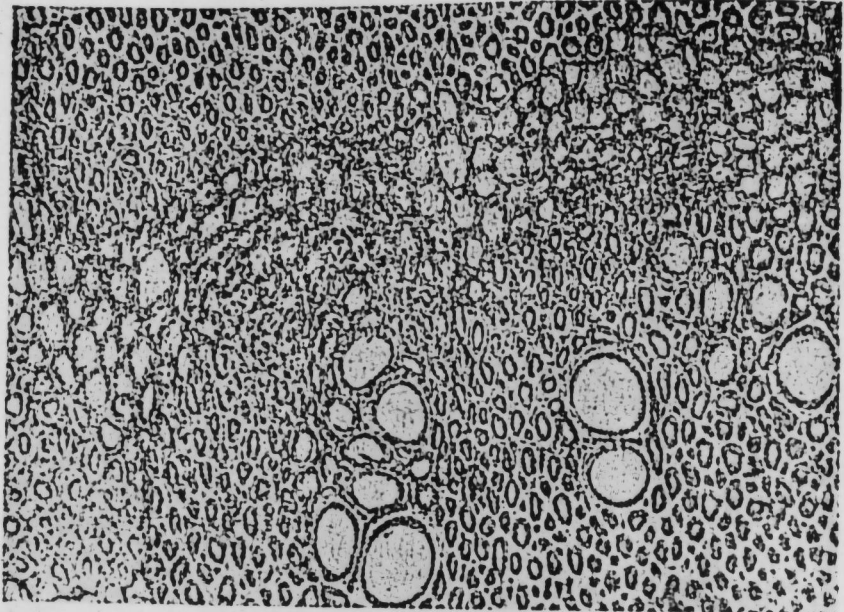


Рис. 3. *Salsola ericoides* M. B. — поперечный срез зрелой древесины

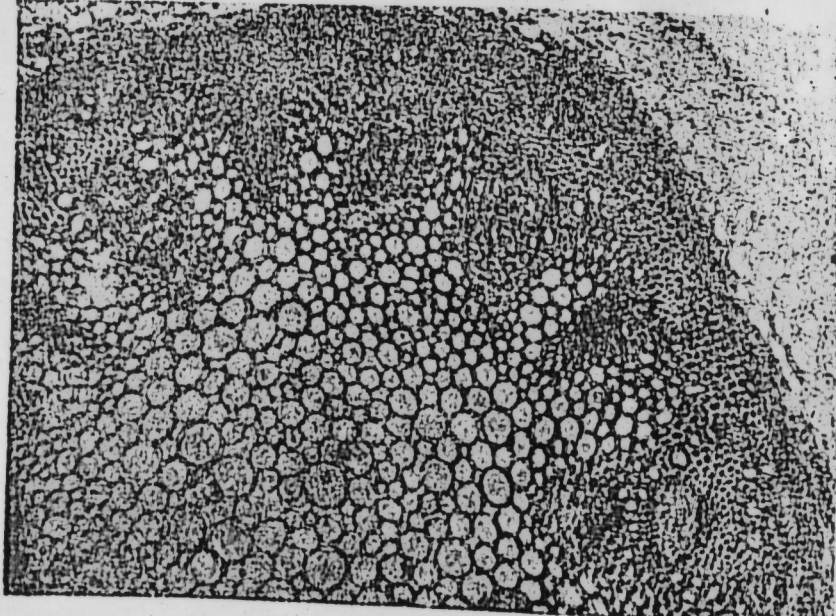


Рис. 4. *Salsola ericoides* M. B. — поперечный срез однолетнего побега

которая, обычно, характеризуется значительными аномалиями. Это дает основание полагать, что аномальная структура маревых является признаком специализации, а не примитивности, как это предполагали некоторые авторы (М. М. Ильин [1]).

Таблица 2

Анатомические показатели однолетнего побега

Название видов	Тип перфорации	Тип межсосудистой паренхимы	Распределение сосудов	Тип механических элементов	Тип лучей
<i>Chenopodiaceae Vent.</i> <i>Ceratoidea papposa</i> (L.) C. A. Mey. <i>Kochia prostrata</i> (L.) Schrad. <i>Noaea mucronata</i> (Forsk.)	Простая	Очередная	Вазонетрич. и соединительная и склоновязцентрич.	Организов. порядок расположения	Отсутствуют Гетероэпичные
<i>Aschers. et Schweinf.</i>	"	"	"	"	"
<i>Salsola nodulosa</i> (Moench) Iljin <i>Salsola ericoides</i> Bieb.	"	"	Рассеяннососудистая	Рассеяннососудистая.	Гомогенные Отсутствуют
<i>Suaeda microfilla</i> Pall.	"	"	Вазонетрич.	Рассеяннососудистая с тенденцией к колышеск.	"
<i>Asteraceae Dumort.</i>	"	"	"	Рассеяннососудистая	"
<i>Artemisia aristibirica</i> Kotovkov <i>Elaeagnaceae Juss.</i>	"	"	"	Волокнистые гранулы распред.	"
<i>Elaeagnus angustifolia</i> L. <i>Moraceae Link.</i>	"	"	"	"	"
<i>Ficus carica</i> L. <i>Polygonaceae Juss.</i> <i>Alraphaxis spinosa</i> L.	"	"	"	Стендиптические Стендиптические	"
<i>Rosaceae Juss.</i>	"	"	"	"	"
<i>Amygdalus fenzliana</i> (Fritsch.) Lipsky. <i>Tamaricaceae Link.</i> <i>Raumuria alternifolia</i> (Labill.) Britton.	"	"	"	"	"
<i>Nitrariaceae Lindl.</i> <i>Nitraria schoberi</i> L.	"	"	"	"	"

Древесная паренхима в зрелой древесине развита сильнее, чем в однолетнем побеге, но тип распределения ее такой же. Количество пор на стенах клеток древесной паренхимы в зрелой древесине по типу не отличается от лучей древесины однолетнего побега. Так, лучи обычно гетерогенные многорядные в зрелой древесине, в древесине однолетнего побега также гетерогенные, но преимущественно однорядные. Исключением являются некоторые представители маревых, где в древесине однолетнего побега и в зрелой древесине лучи отсутствуют.

Проведенный анализ показал, что хотя между древесиной однолетнего побега и зрелой имеются отличия, обусловленные прежде всего физиологическими различиями между однолетним однолистенным побегом и многолетним стеблем, тем не менее, признаков примитивности, таких как лестничные перфорации, окаймленные поры волокон, распределение сосудов в толще и т. д., в однолетнем побеге мы не обнаружили.

В отличие от большинства двудольных растений, для которых характерен замедленный онтогенез древесины (т. е. молодые побеги характеризуются более примитивной древесиной, чем зрелые), у ксерофитов формирование окончательной (диффинитивной) структуры древесины протекает быстрее, что, по-видимому, связано с жесткими условиями существования.

Анатомическое строение древесины однолетнего побега и зрелой древесины 14 видов древесно-кустарниковых растений, относящихся к различным семействам обнаружило сходные признаки и сходный темп онтогенеза, связанные со сходными факторами среды, т. е. наблюдается конвергенция в эндоморфологии этих разных в систематическом отношении видов.

#### Литература

1. Ильин М. М. Поликамбиональность и эволюция. — Проблемы ботаники, вып. 1, 1950. — 2, с. 2. Лебеденко Л. А. Формирование древесины корней и стволов у дуба восточного. — Науч. докл. высш. школы. Биол. наука, 1959, № 2, с. 27. 3. Тахтаджян А. Л. Вопросы эволюционной морфологии растений. — М., 1954. 4. Тахтаджян А. Л. Морфологическая эволюция покрытосеменных. — М., 1948, с. 31—38. 5. Яценко-Хмелевский А. А. Основы и методы анатомического исследования древесины. — М—Л.: Изд-во АН СССР, 1954, с. 37—127. 6. Hauibert C. Phylogenie des Ulmaceae. — Rev. gen. Bot., 1899, II.

Институт ботаники АН АзССР

Поступило 7. I 1987

Ш. Н. Дадашова, С. Орлова, Н. М. Чапари

#### НАХЧЫВАН МССР-ДӘ БИТӘН КСЕРОФИТ АГАЧ ВӘ КОЛ БИТКИЛӘРИНИН ФОРМАЛАШМА СҮР'ЭТИ

Мә'лумдур ки, ағас биткиләринин чохусунда бириллик зөгларда эмэлэ қалмиш һәлгәләр өз гүрулушу өтәбары илә там формалашыш ағачын одунчаг налгаларындан фәргли олур. Йәни бириллик зөг, бир гајда оларaq, ибтидаи әләмәтләрә харктеризә олуңур.

Әдәбијатда олар мә'луматлар ялныз мезофит биткиләре аидdir. Биз бу мәсәләни ксерофит биткиләр үзәриндә юхламаг истәјирик. Она көрә Нах. МССР-дә битән 15 нөв ағас вә кол биткиси үзәриндә тәдгигат апарылышыдыр.

Апарылан тәдгигатлар көстәрди ки, бир чох икиләпәлиләрдән фәргли оларaq (бүләрда чаван зогуи одунчагы јашлы одунчага ишбәтән примитив гүрулуша маликдир), ёйәндүймиз ксерофит биткиләрдә бириллик зогуи одунчагынын формалашмасы сүр'этлә кедир.

Sh. G. Dadasheva, S. Ya. Orlova, N. M. Chapari

#### RATE OF WOOD ONTOGENESIS OF SOME WOODY-SHRUB XEROPHYTEs OF NAKHICHEVAN ASSR

This article deals with the studies of the texture of annual shoot's wood as well as the ripe wood of 15 species of woody-shrub plants.

The research shows that the texture of annual shoot's wood in comparison with that of the ripe wood has not any character of primitiveness.

The analyses result in a fact that forming of final texture of xerophytes' wood proceeds quicker than that of mesophytes' wood.

П. Х. ЗИНДЭДЕЛ

ГАЗИ БҮРНӘНӘДДИН «ДИВАН»ЫНДА ЧАНЛЫ ДАНЫШЫГ  
ДИЛИ ҮНСҮРЛӘРИ ВӘ АТАЛАР СӨЗЛӘРИ

(Азәрбајҹан ССР ЕА академики М. Ш. Ширәлиев тәгдим етмишидир)

Орта әсрләрдә Ыәсәноглудан Вагифә гәдәр олан дөврдә классик әдәбијатымызын көркәмли нұмајәндәләри өз әсәрләрини әсасен әруз вәзиинидә язмышлар. Буна бахмајараг һәр бир иәһәнк сөз устасынын өзүнә мәхсус үслубу, һәјаты вә инсаны поетик тәсвир едәркән шаирләримизин јарадычылығында мүәյҗән мә'нада жаҳыныг олса да, һәр бириниң өз дүнијакөрүшү вә поетик фантазијасы илә бағлы бәдни ифадә васитәләри олмушдур. Али үслуба мәхсус олан гәзәл, гәсідә, мәснәви вә рубан жанрларында бәдни ифадә васитәләрини классик фарсдилли поезијадан әзәй едән шаирләримиз бир сыра һалларда чанлы халг данышыг дилиндәки ифадәләри, сөз вә сөз бирләшмәләрини дә бә'зән ше'рә кәти-рәрәк әruz вәзиинә милли колорит верирдиләр. Классик шаирләримиз арасында чанлы халг данышыг дилиндәки ифадәләрдән ән чоху Гази Бүрнәнәддин тәрәфиндән истигадә едилмишdir. Надир, анчаг шаирин өз јарадычылығ фантазијасынын мәңсулу олан епитетләрин ишләдил мәснәндә, поетик мәтидә омоин сөзүн бүтүн мә'наларыны вермәк бачарығында, мәшиштә аңд поетик дилдә ишләдилмәси «мәсләһәт көрүлмәјән» сөзләри јерли-јериндә тапыб мәтиә уйғулашдырмаг мәһәрәтнинде, аталар сөзләрнинде, зәрб-мәсәлләрдән кениш истигадә Гази Бүрнәнәддин классик шаирләримизин өн сырасында дурур. Биз бурада шаирин «Диван»ындан кәтиридијимиз нұмунәләр әсасында шаирин чанлы халг данышыг дилиндән, хүсусән мәшиштә лексикасындан, зәрб-мәсәлләрдән иечә мәһәрәтлә истигадә етдијини көстәрәчәјик.

Классик ше'римизин, гәзәл вә рубан жанрларында евшәк, гоч, буғра кими Ңејван адлары, демәк олар ки, ишләдилмишdir. Ңалбуки бу чүр Ңејван адларына да биз Гази Бүрнәнәддин бејтләриндә раст көлирик: Бир иечә нұмунә кәтирәк:

Шәһа, шаһын көзүн, апарды көнли  
Соңасын бәданаји ганды башәг [9].

Жуларын башына тола әшәкдүр.  
Қөнүл ки, дүшмәди саһиб чәмалә [81]

Киши будур гашын ки, бизи оха дикәр,  
Кәр булур исә сәфа; гурбан үчүндүр гочаг [91].  
Гочуз уш көрмәмишүз бунчилажин бир дәхүн һеч  
Көнүл апарычы, чан гапычы бир шиңгә гузу [151].

Гаган асланлар экәр аирап исә,  
Аилязы һәр ким ана уғрап исә,  
Ганда экри вар исә тутмагыл дәг  
Саңгә гоч гылышы тограп исә [606].  
Гоч вә буғра, ајғыры чох көрмүшнэз  
Адәмиләр ичиндә сәрвәр ганы? [600].

Дүшмәпләр биэдә болса дитрәшсүнләр  
Гаган аслан гајпынызда дилкүләрдән [596].

Бириңи бејтдәки башәг «гыргы», бәдәна исә сәрчәјә бәнзәр бир гуш адыйдыр. Бу сөзләрдән һеч бири букунку әдәби дилимиздә ишләдилмишdir. Икinci бејтдә гәдим дилимиздә «нохта» мә'налы յулар, көрүнүүжү кими, поетик олмајан әшәк «евшәк» сөзү илә бағлы ишләдилмишdir. Мараглыдыр ки, үчүнчү бејтдәки гочаг сөзү дә дөрдүнчү бејтдә вә ондан сонракы рүбайдә тәсадүф етдијимиз гоч мә'насынадыр. Рубайдә верилмиш буғра, ајғыры, гаган аслан, дилкү (түлкү) сөзләри дә классик әрузла јазылмыш поезијамызда ишләдилмишdir.

Биз Гази Бүрнәнәддиндә бу сәпкидә олан, лакин башга орта әср шаирләримизин поетик иитгиндә јад олан сөзләре дә тәсадүф едирик: 20

Һәр зәман суја варуб кәлмәз сәнәк  
Гајда кечәр әр јеринә һәр зәнәк  
Таңрыдан болса инајәт бир гула  
Лачыны дәхи гапар бир кәкәнәк [594].

Адәм олдуг исә тапунда иола,  
Бүлбүл олмушдур һәлә ләгләг дәхү [592].  
Сизә биэдән гаму варлык чәкүркә аїғынача јох  
Чәнәндә бән Ըүлејманән гарынча кәр кәлә сиздән [292].

Бу нұмунәләрдә кәкәнәк, ләгләг, чәкүркә сөзләри дә классик поезијамызда ишләдилмишdir. Мараглыдыр ки, сәнәк типли мәшиштә лексикасына дахил олан сөзләре дә Гази Бүрнәнәддин лексикасында чох тез-тез тәсадүф едирик.

Адәм олдур ки, аидан әсрүк ола  
Айға оланларга ујук дијләүм [171].  
Ал тотачух һај, бал тотачух һај,  
Дүшмәнүмүн сөзинә ојсал тотачух һај [492].  
Көнүл дәвасыны, шаһа, көзүн билур жаҳиш  
Ки, дәмрәни чыхара билмајә мәкәр чарран [149].  
Никара, ўолинә чан тәрк гылмаг әрликдир  
Чан ојнамах түни бәнүм бојума тәрликдүр [319].

Бурадакы ујук «бостанда гушлары горхутмаг үчүн гојулмуш инса-наохшар мүгәввә», дәмрән «охуи учунан салынан дәмир», тәрлик «палтар иөвү» чанлы халг данышыг дилиндән алымна мәшиштә сөзләриди вә Гази Бүрнәнәддин бу сөзләри елә бир семантик әнатәдә ишләтмишdir ки, беләликлә оллара поетик сигләт вермишdir.

Ңејванларын сахландыры յерә «ағыл» дејилдији мә'лумдур. Лирик-поетик мәтидә бу сөзү ишләнмәси илк бахышда гејри-мүмкүндүр. Лакин поезија өзү дил үчүн јарадычылығ лабораторијасыдыр. Җүнки дани шаирләр бә'зән поетик нормадан кәнарда олан сөзләри дилә кәтирир вә беләликлә һәмнин сөзләрин мә'насыны дәјиширәрәк олларын семантик имканларыны кенишләндирir.

Ај јузин, ағылында көнүлләр сүрүләнмиш [347].

Ајдын мәсәләдир ки, аталар сөзләри, зәрб-мәсәлләр, бир сырға фразеологи бирләшмәләр шифаһи халг јарадычылығынын бәһрәсидир. Үнсүйжэт просесинидә халг бә'зән елә поетик системә әсасланып ки, бу системдә сөзүн естетик күчү әдәби дилин мәңсулу олан поетик сөздән даһа тә'сири олур. Буна көрә дә шифаһи әдәбијат нұмунәләри бүтүн бөйүк јазычы вә шаирләрин јарадычылығында әсас јер тутур. һеч дә тасаду-

фи дејил ки, јарадычылығында халг чанлы данышыг дилинә мәхсүс лексик вайналардән кен-бол истифадә едән Гази Бурханәддин әсәрләрләринин чохунда аталар сөзләриндән, зәрб-әмәсәлләрдән вә фразеологијиниң бирләшмәләрдән дә бәһрәләнишdir:

Күлүнү көјә совурмаг фразеологији бирләшмәсини шаир бу чүр ишләдир:

Нәвасы варлыгыму торпагын көкә совуур [85].

Мұасир дилимиздә шиғағи ниттәдә чох кениш ишләнән (көзүнүн көкү саралмаг ифадәсини шаир лаконик шәкилдә бир мисрасында белә вермишdir:

Көзүм көк олди јүзүн көрмәкүнү [116].

Әл мәним этәк сәнни аталар сөзү «Диван»да бир гәдәр башгалашыре да, ашағыдақы бејтин мәһз бу аталар сөзү эсасында јарандығына шүбһә јохдур:

Чүн иришмәз өлүмүз этәкүнә  
Астаниjlә сүпүрүр асitan [136].

Бир башга бејтдә јенә шаир әл вә этәк сөзләри илә јаранмыш халг ифадәсини белә шәкилдә верир:

Тутдум јарын этәкими, әлдән дәхи гојмәзэм [374]

Гана ган (алмаг) ифадәсини шаир чох тез-тез ишләдир:

Гана ган исә гандуур յүрәким [272].  
Көзи јүрәкі ганадур, бән ләбини ганадајым  
Чүнки шәриәт олдуур ки, гана јинә ган кәрәк [290].

Бә'зәи бир гәзәлдә чанлы данышыг дилиндән алымыш бир нечә ифадә вә аталар сөзләринә тәсадүф едилir:

Қиши будур гашунун ки, бизи оха дикәр,  
Кәр булур исә сәфа гурбан үчүндүр гочаг.  
Пир вә хәрәф әглүмүз ешг илә олди јикит  
Чүн гочала адәми, ана кәрәкдүр тајаг [91].

Бурада биринчи бејтдәки гурбан үчүндүр гочаг бирләшмәси гоч гурбан үчүндүр бирләшмәсінин еквивалентидирсә, иккінчи бејтин сонунчук мисрасынын аталар сөзү олмасы һеч бир шүбһә доғурмур.

Өмүр ахар су кимидир аталар сөзүнү, дә шаир ашағыдақы бејтдә белә ишләтмишdir:

Өмүр ахар суја бәнзәр, кечәнә јетилмәз,  
Бир-ики дәм вар исә шимди багини көрүнүз [113].

Бә'зин налларда шаирин биринчи мисрада ифадә етдији естетик фикри иккінчи мисрада аталар сөзү тамамлајыр. Адама елә кәлмир ки, биринчи мисрада сөјләнән фикир, иккінчи мисрада тәсбит вә тәсдиg едилir:

Јар инилижүн нола Фұрат олур исә јаш,  
Алында жаңылан иришә башә кәрәкдүр [135].  
Гылдым рәгебдән киля, айдур ки, еј фұлан  
Нердә ки, күл олур исә, әлбәттә, хары вар [240].

«Бу күнүн ишини сабаһа гојма» аталар сөзүнү Гази Бурханәддин XIV әср дил просесине уйғун олараг белә ишләдир:

Шимди олачаг иәни сән танлаја гојма [377].

Шаир дөврүнүн ән зәкалы адамларындан олмуш, фарс вә әрәб дилләрини мүкәммәл билмиш вә өз дөврүнүн бир чох елмләринә јаҳшы беләд олмушdur. О, «чаванлыг күнләри һаны» мә'налы бир әрәб зәрб-мәсәлини белә ишләтмишdir:

Сән јикит, ешгүн јикит, аләм јикит, лүтф ејләкил  
Шол заманы аи ки, дерләр ганы әjjамы шәбаб [150].

Биз Гази Бурханәддин јарадычылығында елә мисралара да тәсәдүф едирик ки, бу мисралар аталар сөзләри сәвијјәсінде дурур. Лакин буларын шаирин өзүнүн поетик тәхәjjүлүнүн мәһсулуому олдуғуну вә јашарин дөврүндә мөвчуд олуб, лакин бизә кәлиб чатмајан аталар сөзүмү олдуғуну мүәjjәнләшdirмәк хүсуси тәдгигат тәләб едир.

Бир-ики нұмунә кәтирәк:

Ирахых үзедүгүнча үмид-и гүрб артар [212].  
Тәрк ејләди бир бугдајичүн учмагы Адәм [225].  
Қөплүмә көзләрүн ол рәсм илә ахәрләр  
Ки, гаплан анүкләрін ахын едә гојнуумә [238].  
Ичи јаңса кишинин мејл едәр олур јемиша [283].

Нәтичә олараг демәк лазымдыр ки, халг данышыг дилиндән әхз едилиши сөз вә фразеологији ифадәләр, аталар сөзләри вә зәрб-мәсәлләр шаирин јарадычылығында јени емоционал вә үслуби чаларлыг алыр, сөзләрин емоционал сәчијјәси эсасен дәжишир, онлар јени поетик семантика кәсб едир.

Әлбәттә, һәчмә кичик бир мәгаләдә шаирин јарадычылығы илә шиғағи әдәбијјат вә чанлы халг данышыг дили арасындағы диалектик вәһдәттін вә бу вәһдәти јарадан објектив сәбәбләрин һәртәрәфли елми шәрһинни вермәк имкан харичиндәдир. Лакин шүбһә јох ки, мәгаләдә кәтирилән нұмунәләр Гази Бурханәддин јарадычылығынын шиғағи әдәбијјат вә чанлы данышыг дили илә гырылмаз телләрә бағыл олдуғуну көстәрир.

Нәсими адына Диңчилик  
Институту

Алымышдыр  
5/VI—86

П. Х. Зиндерел

### ЭЛЕМЕНТЫ ЖИВОЙ РАЗГОВОРНОЙ РЕЧИ И ПОСЛОВИЦЫ В «ДИВАН»Е КАДЫ БУРХАНЕДДИНА

В статье привлечены к научному анализу те элементы живой разговорной речи, которые не встречаются в нашей классической поэзии, а также многочисленные пословицы и фразеологические единицы, богато представленные в «Диван»е К. Бурханеддина. В статье на основе конкретных примеров показана неразрывная связь творчества поэта с устнопоэтическим творчеством.

### ON THE PATTERNS OF ORAL SPEECH AND PROVERBS IN „DIVAN“ BY KADI BURHANEDDIN

The article deals with words and word combinations of oral speech adopted and included by the poet in his ghazals and rubai. In the article we analyse those words, that are not found in our classical poetry. Numerous proverbs and phraseological units of oral speech in the poetry of Kadi Burhaneddin witness that the creative work of poet was in closer contact with the patterns of oral speech and folk-lore.

Э. М. ЗЕЈНАЛОВ

## ЭЗИЗИННИН БАЈАТЫЛАРЫ ЕРМЭНИ МӘНБӘЛӘРИНДӘ

(Азәрбајҹан ССР ЕА академики М. Ч. Чәфәров тәгдим етмишdir)

Зәнкин шифаһи халг әдәбијатымызын әң чох јајымыш нөвләриндән бири дә бајатылардыр. Бунлар тәкчә дөгма халгын дејил, еләчә дә гәдим дөврләрдән бәри гапы бир гоншу ермәни халгынын дилинин әзбәри, мәчлисләринин бәзәји олмушdur. Ермәни шаир, истәрсә дә ајры-ајры фолклоршүнасларынын Азәрбајҹан бајатыларыны топламасы, өјрәнмәси вә тәгдир етмәси бу чәһәтдән һеч дә тәәччүблү дејилдир.. Бир чох ермәни гајнагларында—Ермәнистан Халг јарадычылығы евинде, Матенадараңда, J. Чаренс адына Әдәбијат вә Инчәсәнәт Музейинде ермәни әлифбасы илә јазыја алыныш чохлу Азәрбајҹан бајатылары горунуб сахланылыр. Бу бајатылар узун мүддәт тәдгигатчыларын нәзәриндән кәнарда галмышдыр. Бунлардан бир гисми илк дәфә олараг проф. Миәли Сејидов [3, 101] вә фолклоршүнас Исафил Аббасов [2, 82] тәрәфиндән ашкар едилмишdir. Ермәни мәнбәләриндә олар Азәрбајҹан бајатыларынын бир гисми мүәллифсиз олса да, мүәյҗән гисми Ләлә, Баба вә Эзиzi кими сәнәткарларын әсәрләри олдуғу аյдынлашыр. Охучулара тәгдим олунан бу мәгаләдә Эзиzinин бајатылары нағында баһс еди-ләчәkdir.

Жереванда, J. Чаренс адына Әдәбијат вә Инчәсәнәт Музейинде Мискин Бүрчүнүн дәфтәри сахланылыр. Устундә «1832» јазыја алына тарихи көстәрилән һәмин дәфтәрдә ше'рләр топламышдыр. Һәр ше'рин сөнунда бир бајаты јазылмышдыр. Бу бајатыларын икисиндә M. Бүрчүнүн ады чәкилир. Бәс дикәр бајатылар нағында иә демәк олар?

Проф. Мәммәдһүсеји Тәһмасиб Кәркүк бајатыларындан данышар-кән көстәрирди ки, кәм сәтирләrin кәм јерләриндә, бајатынын башланычында «Бајат» адынын дејилдијини иддиа етмәк олар. Лакин заман кечдиқчә, ј'ни онгона-тотемә инам зәйнләдикчә, бу ән'әнә позулмуш, илк мисраларын кәм јерләрини тәхәллүслә доллурмаг әй'әнәси әмәлә кәлмишdir. Буну биз Хәтаандә, Сары Ашыгда, Эзииздә, Әләмидә вә онларча башгасында көрүүрүк [4, 200].

М. Бүрчүнүн дәфтәриндәки дикәр бајатыларын әксөрийјәти дә мәһиз «Эзииз», «Jox, Эзииз» сөзләри илә башлајыр.

Jox, Эзииз, ағылдан  
Дүшдүм һүшдән, ағылдан  
Һәсрәтини чокмәкдән  
Назик олдум ағылдан [6а, 25 а].

Эзииз, күлүм нејним  
Бүлбүлүм, күлүм нејним  
Фәләк мәнә гәм вериб  
Дана мән күлүм нејним [6а, 31 б].

Эзиzinин алтымисралы бајатылар јазмасы да елм аләминә чохдан бәллидир вә бунлар дәфәләрлә ишшәр едилмишләр [1, 206]. Бу мәнбәдә дә ону алты мисралы бајатысына тәсадүф олуңур:

Jox, Эзииз, һалалам,  
Сәинсән күлүм һа лалам.  
Алама һарам олсам,  
Сәини үчүн һалалам.  
Сәни көрдүм данишдым.  
Дилим һохду һа лалам [6а, 31 б].

1907-чи илдә Серкеj Азадјан [6 б, 55], даһа соңра исә Кегам Тарвердијан [6 б, 20] M. Бүрчүнүн дәфтәринин үзүнү көчүрәндә бајатылар-дакы «Эзииз», «Jox, Эзииз» сөзләрини сахламышлар.

J. Чаренс адына Әдәбијат вә Инчәсәнәт Музейинде K. Тарвердијанын архивиндәки 15 №-ли дәфтәрдә дә Эзиzinин бајатылары сахланылыр. Бу дәфтәрдә көзәл бир хәтлә ермәни әлифбасы илә јазыја алыныш 100-дән артыг Азәрбајҹан бајатысы топламышдыр ки, бунларын мүәյҗән бир гисми Эзиизиә аидидir. Онларын бәндләринин илк мисралары «Эзииз» вә «Мәи Эзииз» сөзләри илә башлајыр:

Эзииз дагы даглар  
Бајгушлар дагы даглар  
Наши авчы ав вурмаз  
Гајыдыб дагы даглар [6 в, 55].

јаҳуд:

Мәи Эзииз Салмаса  
Хојдан кедәр Салмаса  
Таирим һеч бир икниди  
Дар күнләре салмаса [6 в, 54].

Акад. Фәрамәз Магсудов јазыр ки, вахтыла тарихи шәхсләр олмуш Эзииз, Бајат Аббас кими онларча ашыбын бајатылары, көзәлләмәләри үйнансыз чап едилмишсә дә, тарихдә ад алмыш сәнәткарларымыз бу күн үзә чыхарылмалы, онларын гошмалары саф-чүрүк едилмәлидир [5, 200]. Һаглы тәләбдир. Ермәни мәнбәләриндән Эзиzinин бајатылары үзә чыхарылдыгдан соңра аյдын олур ки, онлар индијә кими дәфәләрлә үйнансыз чап олуимушдур.

Эзииз Ордубада  
Кәл кедәк Ордубада  
Гочах саркәрдә олса,  
Вермәз һеч орду бада. [6 в, 54].

Бәллидир ки, бајатылар әсрләр боју дәјишиклијә мә'рүз галмыш, ҝаһ ајры-ајры сөзләр тәһриф олуимуш, ҝаһ да мүәллифини итирәрәк бизим зәманәмизә үйнансыз ҝәлиб чатмышдыр. Бајаты устасы Эзииз ирсиин талејиндә дә белә һаллара тәсадүф олуңур.

Бир факты хүсусијә гејд етмәк лазым ҝәлир.

K. Тарвердијан Мискин Бүрчүнүн дәфтәринин үзүнү көчүрәркән Эзиzinин ашагыдақы бајатысыны сәһвсиз, дүзкүн гәләмә алмышдыр:

Эзииз һавар, һавар,  
Өлүрәм һавар, һавар,  
Биз көчүрүк дүнијадан  
Бу дүнија һа вар, һа вар [6 б, 20].

Анчаг онун сопралар елдәи топладығы бајатылар арасында бу бәндін тамамилә дәжишмиш вариантына тәсадүф едилир:

Ашыгым һавар, һавар  
Чагыррам һавар, һавар  
Бен көчәрәм дүңядан  
Бу дүңжам һа вар, һа вар [6 в, 55].

Элбәттә, биринчи бајаты иккінчи інсебеттән даңа гүввәтлидир. Би-ринчи бәндін иккінчи мисрасында «өлүрәм» сөзү үчүнчү вә дәрдүнчү мисралары тамамлајыр. Іә'ни иисан өлүмүн јахынлашдығы заман дәрк едир ки, нечә-нечә иәсилләр жола салмыш дүниә ону да жола салыр вә кәрдишиңи бу һалы жени иәсилләрин бир-бирини әвәз етмәси илә тәсөлли тапыр.

Анчаг «чагыррам» белә тә'сирли сәсләнимир, бајатының дәрин фәлсәфи мә'насының ачылмасына хидмәт етмір. Дикәр тәрәфдән бу бајаты үйнәншесе итириб, «кимсәсиз» галмыштыр.

Шубhәсиз ки, кәләчәкдә тәдгигатчы алымләр Эзиңи кими сәнәткарларының бајатыларының топлајыбы тәртиб едәркән, онларың үйнәншесе кәдәи әсәрләриниң өзүнә гајтарылмасы гајғысына галачаглар.

#### Истифадә олунан мәнбәләр:

1. Азәрбајҹан классик әдәбијаты китабханасы, 20 чиңләдә, I чиңл. — Бакы: «Елм» иәширијаты, 1982, сәh. 226—281.
2. Исафил Аббасов, «Азәрбајҹан фолклору XIX аср ермәни мәибәләриндә». — Бакы: «Елм» иәширијаты, 1977, сәh. 68—82.
3. Мирзали Сејидов, «Ермәни әлифбасы илә јазыя алыныш Азәрбајҹан бајатылары», Азәрбајҹан ССР ЕА Хәберләре (ичтиман елмләр серијасы), 1960, № 3, сәh. 87—101.
4. М. Н. Тәһмасиб «Узаг елләрин јахын төһәвәрләрнагында». — Азәрбајҹан журналы, 1969, № 2, сәh. 200.
5. Фәрагамәз Магсудов, «Сөз сәнәттәнагында», — Азәрбајҹан филологиясы мәсәләләре (мәгарләр мәчмуәси), Бакы, «Елм» иәширијаты, 1984, сәh. 200.
6. J. Чоренс адына Әдәбијат ва Инчасәнот музей (Јереван). а) Мискин Бүрчүнүн дәфтәри, 13 №-ли иш; б) Кегам Тарвердијаның архиви, гусац фонду иш 87, дәф. 7. (Миркин Бүрчүнүн дәфтәри), сәh. 20—21; в) Кегам Тарвердијаның шәхси архиви, театр фонду, иш № 15, сәh. 48—63; г) Серкәј Азадјаның шәхси архиви, 14 №-ли дәфтәр.

*Низами адына Ҳалглар Достлугу  
Орденли Әдәбијат Институту*

Алынмышдыр 14. 1. 1987

Аскер Зейналов

#### БЛЯТЫ АЗИЗИ В АРМЯНСКИХ ИСТОЧНИКАХ

В статье речь идет об азербайджанских бајаты, написанных армянской графикой (алфавитом), которые сохранились в Музее литературы и искусства им. Е. Чаренца в Ереване. Автор убедительными аргументами доказывает, что эти бајаты относятся к поэту Азизи.

A. Zeinalov

#### AZIZI'S BAYATIES IN ARMENIAN SOURCES

The article deals with the Azerbaidzhan bayaties written in Armenian graphic (alphabet) which are preserved in the Museum of Literature and Art after E. Charents in Yerevan. The author with weighty arguments proves that these bayaties belong to the poetry of Azizi.

#### МУНДӘРИЧАТ

##### Ријазијјат

K. J. Леонов, Ф. Д. Муганлински, Термоеластиклик вә термоөзәлүүлөластикли- јин систем тәнликләри учун гәјри-хәтти башланғыч-сәрһәд мәсәләси	3
h. И. Ибраһимов. Полигохбучаглы үзәриндә E <sup>2</sup> (D <sup>n</sup> ), фәзасында Рисс базис- ләри вә аյрылыш әмсалларының хассәләри	6

##### Астрофизика

3. Ф. Сејидов. Рамзәй тишли планетләрни сыйылан иевләри	10
---	----

##### Јарымкечирничиләр физикасы

A. I. Абдуллајев, M. I. Қазылов, G. C. Мендијев, Ч. А. Йүсејнов. Кристаллик CdAlInS <sub>4</sub> структурасынан электронография методу илә тәдгиги	13
Г. И. Колтсов, Е. А. Ладыкин, С. І. Йүрүк, Ф. А. Заитов, И. Д. Анисимов, А. З. Аббасова, О. Б. Шишмөлкина. GaP вә GaAs <sub>1-x</sub> (x=0,4) кристалларының Ве+ ионларының имилантасы илә јарандырылган кечидләрнин электрофизики ха- рактеристикасы	16
h. Б. Көзәлов, Е. Э. Сәмәдов, Р. Җ. Гасымов. Cd <sub>1-x</sub> Mn Te јарыммагнит јарым- кечирничиләрдә ЕПР хәттиниң ени	22

##### Үзви кимја

T. H. Шаhtахтински, А. Н. Гулијева, А. I. Агаадә, С. Э. Элијева, А. Ч. Эфэн- дијев. Хлорпренин хлормалеин антидридине оксидләшмәси һетерокен-каталит процессинин механизми	26
M. H. Мәһәррәмов, А. I. Лұтфәлијев, Р. Э. Ҳәлилова, Е. Ф. Гочаев. Протонлу бәрк катализаторлар иштиракында бензолун јүксәк олефинләрлә алкилләшмәси	31
Б. I. Бабаев, У. Б. Имашев, Е. А. Мәммәдов, С. Ф. Гараев. 2,2-тетрамети- лен-4-пронаркилоксиметил-1,3-диоксоланин синтези вә реакциялары	34
Ф. Ф. Муганлински, Т. Э. Умудов, М. М. Йүсејнов, Во Txи Лиен. 1, 2, 3, 4- тетрахлор-7,7-диметокси-5 (2-метил-1, 2-епоксипропил) битцикло — (2, 2, 1)-непт- 2-јенини синтези	38

##### Кеокимја

М. М. Мәммәдов, Ф. Э. Қәримов, К. А. Пәнәни, Р. I. Гулијев. Күмүшлүк гур- гушун-синк јатағының көнетик хүсусијәти (Нахчыван МССР)	42
--	----

##### Гујуларын газылмасы

L. M. Матасјенко, Е. М. Сүлејманов. Газма гујуларында һидромеханики ре- зонанс һадисәсен нагында	46
---	----

##### Һидробиологија

Ә. I. Гасымов, В. М. Йәсәнов, Ф. I. Бәдәлов. Хәзәр дәнизи Булла адасының саңыл суларында Зообентосун фәсилләр үзәрә дәжишмәси	50
--	----

##### Торнагашунаслыг

Н. А. Arajev. Азәрбајҹан ССР Қычык Гафгас торнагларында микроелементлә- рии ехтијаты нагында	54
---	----

## Битки анатомијасы

Ш. Н. Дадашова, С. Орлова, Н. М. Чапари. Нахчыван МССР-дэ битэн ксерофит ағач вэ кол биткиләринин формалашма сүр'ети . . . . . 59

## Дилчилик

П. Х. Зиндәдел. Гази Бүрханәддин «Диванында чанлы даңышыг дили үнсүрләри вэ аталарап сөзләри . . . . . 66

## Фолклор

Ә. М. Зеңналов. Эзицини бајатылары ермәни мәнбәләриндә . . . . . 70

## СОДЕРЖАНИЕ

### Математика

К. Я. Леонов, Ф. Д. Муганлинский. О нелинейных начально-краевых задачах для систем уравнений термоупругости и термовязкоупругости . . . . . 3  
Г. И. Ибрагимов. Базисы из экспонент в пространстве  $E^2(D^n)$  на полимного угольнике и свойства коэффициентов разложений . . . . . 6

### Астрофизика

З. Ф. Сейдов. Сжимаемые ядра рамзееевых планет . . . . . 10

### Физика полупроводников

А. Г. Абдуллаев, М. Г. Кязимов, Г. С. Мехдиев, Д. А. Гусейнов. Исследование кристаллической структуры CdAlInS<sub>4</sub> электронографическим методом . . . . . 13  
Г. И. Кольцов, Е. А. Ладыгин, С. Ю. Юрчук, Ф. А. Заитов, И. Д. Анисимова, А. З. Абасова, О. Б. Шишмөлкина. Электрофизические характеристики переходов, созданных ионной имплантацией Be<sup>+</sup> в GaP и GaAs<sub>1-x</sub>P<sub>x</sub> ( $X = 0,4$ ) . . . . . 16  
Х. Б. Гезалов, Э. А. Самедов, Р. Д. Касумов. Ширина линии ЭПР в полумагнитных полупроводниках Cd<sub>1-x</sub>Mn<sub>x</sub>Te . . . . . 22

### Органическая химия

Акад. Т. Н. Шахтахтинский, А. Н. Гулиева, А. Г. Агазаде, С. А. Алиева, А. Д. Эфендиев. Механизм гетерогенно-катализического окисления хлорпрена в хлормалеиновой ангидриде . . . . . 26  
М. Н. Магеррамов, А. Г. Лютфалиев, Р. А. Халирова, Э. Ф. Годжаев. Алкилирование бензола высшими олефинами на твердых протонных катализаторах . . . . . 31  
Б. Г. Бабаев, У. Б. Имашев, Э. А. Мамедов, С. Ф. Карабаев. Синтез и реакции 2,2-тетраметилен-4-пропаргилокси-метил-1,3-диоксолана . . . . . 34  
Ф. Ф. Муганлинский, Т. А. Умудов, чл.-корр. М. М. Гусейнов, Во Тхи Лиен. Синтез 1, 2, 3; 4-тетрахлор-7,7-диметокси-5 (2-метил-1,2-эпоксипропил) бицикло(2, 2, 1)-гептена-2 . . . . . 38

### Геохимия

М. М. Мамедов, Ф. А. Керимов, К. А. Панахи, Р. Г. Гулиев. Генетические особенности гюмушлугского свинцово-цинкового месторождения (Нахчеванская АССР) . . . . . 42

### Бурение скважин

Л. М. Матвеенко, Э. М. Сулейманов. Гидрогеомеханический резонанс в буровых скважинах . . . . . 46

### Гидробиология

Чл.-корр. АН АзССР А. Г. Касымов, В. М. Гасанов, Ф. Г. Бадалов. Сезонные изменения зоопланктона и зообентоса в прибрежных водах острова Булла Каспийского моря . . . . . 50

### Почвоведение

Н. А. Агаев. Микроэлементы в почвах Малого Кавказа Азербайджанской ССР . . . . . 54

**Битки анатомијасы**

- Ш. И. Дадашова, С. Орлова, Н. М. Чапари. Нахчыван МССР-дэ битэн ксерофит агач вэ кол биткиләринин формалашма сур'ети . . . . . 59

**Дилчилик**

- П. Х. Зиндәдел. Гази Бүрханәддин «Диванында чашлы данышырг дили үнсүрләри вэ аталарап сөзләри . . . . . 66

**Фолклор**

- Ә. М. Зеңналов. Эзицини бајатылары ермәни мәнбәләриндә . . . . . 70

<b>СОДЕРЖАНИЕ</b>	
<b>Математика</b>	
К. Я. Леонов, Ф. Д. Муганлинский. О нелинейных начально-краевых задачах для систем уравнений термоупругости и термовязкоупругости . . . . .	3
Г. И. Ибрагимов. Базисы из экспонент в пространстве $E^2(D^n)$ на полимного угольнике и свойства коэффициентов разложений . . . . .	6
<b>Астрофизика</b>	
З. Ф. Сейдов. Сжимаемые ядра рамзесских планет . . . . .	10
<b>Физика полупроводников</b>	
А. Г. Абдуллаев, М. Г. Кязимов, Г. С. Мехдиев, Д. А. Гусейнов. Исследование кристаллической структуры CdAlInS <sub>4</sub> электронографическим методом . . . . .	13
Г. И. Кольцов, Е. А. Ладыгин, С. Ю. Юрчук, Ф. А. Заитов, И. Д. Анисимова, А. З. Абасова, О. Б. Шишмюлкина. Электрофизические характеристики переходов, созданных ионной имплантацией Ве <sup>+</sup> в GaP и GaAs <sub>1-x</sub> P <sub>x</sub> ( $X = 0,4$ ) . . . . .	16
Х. Б. Гезалов, Э. А. Самедов, Р. Д. Касумов. Ширина линии ЭПР в полумагнитных полупроводниках Cd <sub>1-x</sub> Mn <sub>x</sub> Te . . . . .	22
<b>Органическая химия</b>	
Акад. Т. И. Шахтахтинский, А. И. Гулиева, А. Г. Агазаде, С. А. Алиева, А. Д. Эфендиев. Механизм гетерогенно-катализического окисления хлорпрена в хлормалеиновом ангидриде . . . . .	26
М. Н. Магеррамов, А. Г. Лютфалиев, Р. А. Халирова, Э. Ф. Годжаев. Алкилирование бензола высшими олефинами на твердых протонных катализаторах . . . . .	31
Б. Г. Бабаев, У. Б. Имашев, Э. А. Мамедов, С. Ф. Карабаев. Синтез и реакции 2,2-тетраметилен-4-пропаргилокси-метил-1,3-диоксолана . . . . .	34
Ф. Ф. Муганлинский, Т. А. Умудов, чл.-корр. М. М. Гусейнов, Во Тхи Лиен. Синтез 1, 2, 3; 4-тетрахлор-7,7-диметокси-5 (2-метил-1,2-этоксипропил) бицикло-(2, 2, 1)-гептена-2 . . . . .	38
<b>Геохимия</b>	
М. М. Мамедов, Ф. А. Керимов, К. А. Панахи, Р. Г. Гулиев. Генетические особенности гюмушлугского спинноко-цинкового месторождения (Нахчыванская АССР) . . . . .	42
<b>Бурение скважин</b>	
Л. М. Матвеенко, Э. М. Сулейманов. Гидрогеомеханический резонанс в буровых скважинах . . . . .	46
<b>Гидробиология</b>	
Чл.-корр. АН АзССР А. Г. Касымов, В. М. Гасанов, Ф. Г. Бадалов. Сезонные изменения зоопланктона и зообентоса в прибрежных водах острова Булла Каспийского моря . . . . .	50
<b>Почвоведение</b>	
И. А. Агаев. Микроэлементы в почвах Малого Кавказа Азербайджанской ССР . . . . .	54

## Анатомия растений

Ш. Г. Дадашева, С. Я. Орлова, Н. М. Чапари. Темп онтогенеза древесины некоторых древесно-кустарниковых ксерофитов Нах. АССР . . . . . 59

## Языкознание

П. Х. Зиндердел. Элементы живой разговорной речи и пословицы в «Диване Кады Бурханеддина . . . . . 66

## Фольклор

А. Зейналов. Баяты Азизи в армянских источниках . . . . . 70

9. Текст статьи печатается на белой бумаге через два интервала на одной странице листа стандартного размера, с полями с левой стороны (не более 28 строк на одной странице по 58—60 знаков в строке). В тексте нельзя делать рукописные вставки и вклейки.

Статьи, напечатанные на портативной машинке, не принимаются.

10. Текст статьи должен быть изложен кратко, тщательно отредактирован и подписан авторами в печать. В математических статьях желательно избегать доказательств теорем, лемм и т. п. При использовании в тексте сокращенных названий (кроме общепринятых) необходимо давать их расшифровку.

11. Математические и химические формулы и символы в тексте должны быть вписаны четко. Следует избегать громоздких обозначений, применения, например, дробные показатели степени вместо радикалов, а также expr. Занумерованные формулы обязательно включаются в красную строку, номер формулы ставится у правого края страницы. Желательно нумеровать лишь те формулы, на которые имеются ссылки. Подстрочные и надстрочные индексы и степени следует отмечать карандашом, дугами сверху и снизу:

$$R^n r_n$$

Греческие буквы нужно обводить (в кружок) красным карандашом. Буквы готического шрифта и рукописные в рукописях не использовать, векторные величины — подчеркивать черным, буквы латинского рукописного шрифта следует отметить на полях (например, Н рукоп.).

Во избежание ошибок следует четко обозначать прописные (заглавные) и строчные буквы латинского алфавита, имеющие сходное начертание (Ca; Kk; Pp; Oo; Ss; Uu; Vv; и т. д.), буквы I(i) и J(j), букву I и римскую единицу I, а также арабскую цифру I и римскую I', (вертикальная черта), I и штрих в индексах, I (латинское эль) и e. Прописные буквы подчеркивают карандашом двумя черточками снизу (С), а строчные — сверху (с.).

Следует избегать знаков типа ~ (волна), ⊖, ⊕, ⊗; □ ⊥, ◊ √ ∧ (крышки) над и под буквами, а также знаков:

$$\hbar \times \epsilon, \phi \phi, \phi, \oplus$$

Латинские названия вписываются на машинке.

Слова «теорема», «лемма», «следствие», «определение», «замечание» и т. п. следует подчеркивать штриховой чертой, а текст утверждений типа теорем — волнистой чертой (исключая математические символы).

При выборе единиц измерения рекомендуется придерживаться международной системы единиц СИ.

12. При описании методики исследования следует ограничиваться оригинальной ее частью. При элементном анализе приводить только усредненные данные.

13. Необходимо тщательно проверить написание местных географических названий.

14. Цитированная литература проводится общим списком на отдельной странице: ссылки в тексте даются порядковым номером в круглых скобках над строкой (например, 1). Список литературы оформляется следующим образом:

для книг: инициалы и фамилии авторов, полное название книги, место и год издания;

для журнальных статей: инициалы и фамилии авторов, название журнала, номер тома, номер выпуска, страница и год издания.

Ссылки на неопубликованные работы не допускаются.

15. Все статьи должны иметь резюме на английском языке, кроме того, статьи, написанные на русском и азербайджанском языках, должны иметь резюме на азербайджанском и на русском соответственно.

Публикация статьи в «Докладах» не препятствует напечатанию расширенного ее варианта в другом периодическом издании.

Сдано в набор 22. 02. 88. Подписано к печати 14. 06. 88. ФГ 00612. Формат бумаги 70×100<sup>1/2</sup>. Бумага типографская № 1. Гарнитура шрифта литературная. Печать высокая. Усл. печ. лист 6,17. Усл. кр.-отт. 6,17. Уч.-изд. лист 5,14. Тираж 560. Заказ 237 Цена 70 коп.

Издательство «Элм».

370143 Баку-143, проспект Нариманова, 31, Академгородок, Главное здание Государственный комитет Азербайджанской ССР по делам издательств, полиграфии и книжной торговли.

Производственное промышленное объединение по печати.

Типография «Красный Восток». Баку, ул. Ази Асланова, 80.

**70** гэп.  
коп.

Индекс  
**76355**